

دانشکده صنعتی شهرود

دانشکده مهندسی معدن و ژئوفیزیک

پایان نامه کارشناسی ارشد مهندسی اکتشاف معدن

تلقیق داده‌های اکتشافی منطقه خان‌کندي- اینچه آذربایجان شرقی با استفاده از سیستم اطلاعات جغرافیایی (GIS) جهت شناسایی مناطق امید بخش معدنی

محقق:

عباس مسگری‌وش

استاد راهنمای:

دکتر ابوالقاسم کامکار روحانی

استاد مشاور:

مهندس مژگان زارعی نژاد

به نام آنکه جان را فکرت آموخت

تقدیم به پدر و مادرم

آنانکه سفید موی گشتند تا سپید روی بمانم

## تقدیر و تشکر

حال که با عنایت خدا این پایان نامه به سرانجام رسید بر خود لازم می‌دانم از تمامی اساتید و عزیزانی که در انجام این پایان نامه مرا یاری نمودند تشکر و قدردانی نمایم.  
از جناب آقای دکتر کامکار روحانی به عنوان استاد راهنمای و سرکار خانم مهندس زارعی‌نژاد به عنوان استاد مشاور و نیز از آقایان مهندس حیدری و مهندس موسوی و خانم‌ها مهندس اشرفی و مهندس موسوی کارشناسان گروه GIS سازمان زمین شناسی کشور که در تمامی مراحل انجام این پایان نامه از هیچ مساعدتی در بین نفرمودند کمال تشکر را دارم.  
از جناب آقای دکتر کاکایی، دکتر انصاری به جهت داوری این پایان نامه و دیگر اساتیدی که در طول تحصیل از محضرشان استفاده نمودم، تشکر می‌نمایم.  
از تمامی دوستان و عزیزانم بخصوص مهندس بیکی و مهندس هوشیار به جهت کمک‌های بی‌دریغ‌شان سپاسگزارم.

عباس مسگری وش  
تابستان ۱۳۸۴

## چکیده:

با توجه به روند رو به رشد استفاده از سیستم‌های اطلاعات جغرافیایی در تلفیق داده‌های اکتشافی جهت تهیه نقشه پتانسیل معدنی، در این پایان نامه از GIS جهت تهیه نواحی امید بخش کانی‌زایی مس پورفیری و طلای اپیترمال در محدوده خان کندی – اینچه از برگه ۱۰۰...<sup>۱</sup> زمین شناسی اهر استفاده گردید. پس از بررسی اطلاعات اکتشافی موجود در منطقه و ارائه مدل‌های اکتشافی صحیح و دقیق برای کانی‌زایی مواد معدنی مذکور در منطقه، لایه‌های اکتشافی (زمین شناسی، ژئوشیمیایی، ژئوفیزیک، ساختارها و دورسنگی) بر اساس پارامترهای موثر در کانی‌زایی مس پورفیری و طلای اپیترمال در GIS رقومی و پردازش شدند. روش‌های همپوشانی شاخص و منطق فازی جهت مدل‌سازی و تلفیق لایه‌های اکتشافی و معرفی مناطق امید بخش کانی‌زایی انتخاب شده و نتایج آنها با یکدیگر مورد مقایسه قرار گرفت. جهت تأیید نتایج به دست آمده از مدل‌سازی‌های انجام شده، بازدید و کنترل صحرایی از منطقه صورت گرفت.

در مدل‌سازی با روش همپوشانی شاخص، با اختصاص وزن‌های مناسب به لایه‌های اکتشافی و کلاس‌های مربوط به هر لایه، مدل‌های نسبتاً زیادی برای کانی‌زایی‌های ذکر شده به دست آمد که با توجه به مشابهت نزدیک بسیاری از این مدل‌ها به یکدیگر، تنها مدل‌های محدودی در این پایان نامه ارائه شده است. همچنین مدل‌سازی با روش منطق فازی با استفاده از عملگرهای "و" "فازی،" "یا" "فازی،" جمع جبری فازی و گامای فازی، گرچه عموماً مدل‌سازی با روش همپوشانی شاخص را تأیید نمود، ولی این روش مناطق کوچکتری را نسبت به روش همپوشانی شاخص به عنوان محدوده‌های امید بخش معرفی نمود. در نهایت پس از چند بار تلفیق لایه‌های اکتشافی، نقشه نواحی امید بخش معدنی منطقه به دست آمد که در آن هشت محدوده امید بخش برای کانی‌زایی مس پورفیری معرفی شده است.

## فهرست مطالب

عنوان	صفحه
-------	------

### فصل اول: کلیات

۱	- مقدمه.....۱-۱
۲	- سیستم اطلاعات جغرافیایی.....۲-۱
۳	- هدف سیستم اطلاعات جغرافیایی.....۳-۱
۴	- کاربرد GIS در علوم زمین.....۴-۱
۵	- هدف از انجام پایان نامه.....۵-۱
۶	- سوابق مطالعاتی در منطقه.....۶-۱
۷	- روش انجام پایان نامه.....۷-۱
۸	- ساختار پایان نامه.....۸-۱

### فصل دوم: مدل سازی و تلفیق داده‌های اکتشافی در GIS

۱۰	- مقدمه.....۱-۲
۱۰	- تهیه نقشه‌های پتانسیل معدنی.....۲-۲
۱۱	- مرحله اول.....۱-۲-۲
۱۱	- مرحله دوم.....۲-۲-۲
۱۲	- مرحله سوم.....۳-۲-۲
۱۳	- مدل سازی در GIS.....۳-۲
۱۳	- روش‌های مدل سازی متکی بر دانش کارشناسی.....۱-۳-۲
۱۳	- روش منطق بولین.....۱-۳-۲
۱۵	- همپوشانی شاخص.....۲-۱-۳-۲
۱۷	- منطق فازی .....۱-۳-۲
۱۸	- عملگر "و" فازی.....۱-۳-۱-۳-۲
۱۹	- عملگر "یا" فازی.....۲-۳-۱-۳-۲
۱۹	- حاصل ضرب جبری فازی .....۳-۳-۱-۳-۲

۱۹	- جمع جبری فازی.....	۴-۳-۱-۳-۲
۲۰	- عملگر فازی گاما.....	۵-۳-۱-۳-۲

### **فصل سوم: زمین‌شناسی و کانی‌زایی در منطقه مورد مطالعه**

۲۲	- موقعیت جغرافیایی منطقه.....	۱-۳
۲۲	- زمین‌شناسی عمومی منطقه.....	۲-۳
۲۵	- ترشیری.....	۱-۲-۳
۲۵	- پالتوسن - ائوسن.....	۱-۲-۳
۲۶	- واحدهای بعد از ائوسن (اولیگوسن) .....	۲-۱-۲-۳
۲۶	- واحدهای نئوزن - میوسن - پلیوسن .....	۱-۲-۳
۲۶	- نهشته‌های پلیو - پلیوستوسن .....	۱-۲-۳
۲۶	- سنگ‌های نفوذی .....	۲-۲-۳
۲۶	- ویژگی‌های ساختاری محدوده مطالعاتی .....	۳-۳
۲۷	- متالوژنی ناحیه مورد مطالعه .....	۴-۳
۲۹	- متالوژنی کانسارهای پورفیری منطقه ارسباران.....	۱-۴-۳
۳۰	- متالوژنی کانسارهای اپیترمال.....	۲-۴-۳

### **فصل چهارم: بررسی و معرفی مدل‌های اکتشافی کانسارهای احتمالی منطقه مورد مطالعه**

۳۵	- مقدمه.....	۱-۴
۳۵	- مدل‌های کانی‌زایی حاکم در منطقه مورد مطالعه .....	۲-۴
۳۶	- کانسارهای تیپ مس پورفیری .....	۳-۴
۳۶	- محیط کانسار .....	۱-۳-۴
۳۶	- توصیف کانسار .....	۲-۳-۴
۳۷	- راهنمای اکتشافی .....	۳-۳-۴
۳۸	- کانسارهای تیپ مس - طلای پورفیری .....	۴-۴
۳۸	- محیط کانسار .....	۱-۴-۴
۳۹	- توصیف کانسار .....	۲-۴-۴
۳۹	- راهنمای اکتشافی .....	۳-۴-۴
۴۰	- کانسارهای تیپ مس - مولیبدن پورفیری .....	۴-۵

۴۰	۱-۵-۴- محیط کانسار
۴۰	۲-۵-۴- توصیف کانسار
۴۱	۳-۵-۴- راهنمای اکتشافی
۴۲	۴-۶-۴- کانسارهای طلای اپیترمال
۴۲	۴-۶-۴-۱- خصوصیات عمومی ذخایر طلای اپیترمال
۴۲	۴-۶-۴-۱-۱- مقیاس ناحیه‌ای
۴۳	۴-۶-۴-۱-۲- مقیاس نیمه تفضیلی
۴۴	۴-۶-۴-۲- کانسارهای تیپ رگهای اپیترمال کرید (کوارتز - آدولاریا)
۴۴	۴-۶-۴-۱-۲-۶-۴- محیط کانسار
۴۴	۴-۶-۴-۲-۲-۶-۴- توصیف کانسار
۴۵	۴-۶-۴-۳-۲-۶-۴- راهنمای اکتشافی
۴۵	۴-۶-۴-۳-۶-۴- کانسارهای تیپ رگهای اپیترمال کومستاک
۴۵	۴-۶-۴-۱-۳-۶-۴- محیط کانسار
۴۶	۴-۶-۴-۲-۳-۶-۴- توصیف کانسار
۴۶	۴-۶-۴-۳-۳-۶-۴- راهنمای اکتشافی
۴۷	۴-۶-۴-۴- کانسارهای تیپ رگهای اپیترمال سادو
۴۷	۴-۶-۴-۱-۴-۶-۴- محیط کانسار
۴۸	۴-۶-۴-۲-۴-۶-۴- توصیف کانسار
۴۸	۴-۶-۴-۳-۴-۶-۴- راهنمای اکتشافی
۴۹	۴-۵-۶-۴- کانسارهای تیپ طلای اپیترمال کوارتز - آلونیت
۴۹	۴-۵-۶-۴-۱-۵-۶-۴- محیط کانسار
۴۹	۴-۵-۶-۴-۲-۵-۶-۴- توصیف کانسار
۵۰	۴-۳-۵-۶-۴- راهنمای اکتشافی
۵۰	۴-۷- تعیین پارامترهای کانی‌زایی

#### فصل پنجم: آماده سازی و پردازش داده‌های اکتشافی منطقه مطالعاتی

۵۳	۱-۵- مقدمه
۵۳	۲-۵- آماده سازی و پردازش داده‌های زمین شناسی
۵۵	۳-۵- آماده سازی و پردازش داده‌های معدنی

۴-۴- آماده سازی و پردازش داده های زنوفیزیک هوایی	۵
۵۷	
۴-۵- آماده سازی و پردازش داده های ماهواره ای	۵
۵۹	
۴-۶- آماده سازی و پردازش داده های زئوشیمیایی	۵
۶۱	
۴-۷- ترکیب و پردازش داده های ساختاری منطقه	۵
۶۵	

### فصل ششم: مدل سازی و معرفی نواحی امیدبخش

۶-۱- مقدمه	۶
۶۷	
۶-۲- مدل سازی به روش همپوشانی شاخص	۶
۶۸	
۶-۳- مدل سازی پتانسیل کانی زایی مس پورفیری	۶
۶۸	
۶-۴- اطلاعات زئوشیمیایی	۶
۶۹	
۶-۵- آلتراسیون ها	۶
۷۲	
۶-۶- ساختارها	۶
۷۵	
۶-۷- سنگ های منشأ	۶
۷۸	
۶-۸- تلفیق نهایی لایه های اطلاعاتی به روش همپوشانی شاخص - مس پورفیری	۶
۷۹	
۶-۹- مدل سازی پتانسیل کانی زایی طلای اپی ترمال	۶
۸۴	
۶-۱۰- اطلاعات زئوشیمیایی	۶
۸۴	
۶-۱۱- آلتراسیون ها	۶
۸۴	
۶-۱۲- ساختارها	۶
۸۶	
۶-۱۳- سنگ های منشأ و میزان	۶
۸۹	
۶-۱۴- تلفیق نهایی لایه های اطلاعاتی به روش همپوشانی شاخص - طلای اپی ترمال	۶
۹۱	
۶-۱۵- مدل سازی به روش منطق فازی	۶
۹۶	
۶-۱۶- مدل سازی پتانسیل کانی زایی مس پورفیری	۶
۹۶	
۶-۱۷- اطلاعات زئوشیمیایی	۶
۹۶	
۶-۱۸- آلتراسیون ها	۶
۹۷	
۶-۱۹- ساختارها	۶
۹۷	
۶-۲۰- سنگ های منشأ	۶
۹۸	
۶-۲۱- تلفیق نهایی لایه های اطلاعاتی به روش منطق فازی - مس پورفیری	۶
۹۸	
۶-۲۲- مدل سازی پتانسیل کانی زایی طلای اپی ترمال	۶
۱۱۳	
۶-۲۳- اطلاعات زئوشیمیایی	۶
۱۱۳	

۱۱۳.....	۲-۳-۶- التراسیون ها
۱۱۳.....	۳-۲-۳-۶- ساختارها
۱۱۴.....	۴-۲-۳-۶- سنگ های منشأ و میزبان
۱۱۶.....	۵-۲-۳-۶- تلفیق نهایی لایه های اطلاعاتی به روش منطق فازی - طلای اپی ترمال
۱۲۶.....	۴-۶- معرفی مناطق امید بخش معدنی و کنترل صحراوی
۱۳۰.....	۱-۴-۶- محدوده های امید بخش کانی زایی طلای اپی ترمال
۱۳۰.....	۱-۴-۶- محدوده شماره ۱ و ۲
۱۳۰.....	۲-۱-۴-۶- محدوده شماره ۳
۱۳۱.....	۳-۱-۴-۶- محدوده شماره ۴
۱۳۱.....	۴-۱-۴-۶- محدوده شماره ۵
۱۳۲.....	۴-۱-۴-۶- محدوده شماره ۶
۱۳۳.....	۴-۱-۴-۶- محدوده شماره ۷
۱۳۴.....	۴-۱-۴-۶- محدوده شماره ۸
۱۳۴.....	۲-۴-۶- محدوده های امید بخش کانی زایی مس پورفیری
۱۳۴.....	۱-۲-۴-۶- محدوده شماره ۱
۱۳۴.....	۲-۲-۴-۶- محدوده شماره ۲
۱۳۵.....	۳-۲-۴-۶- محدوده شماره ۳
۱۳۵.....	۴-۲-۴-۶- محدوده شماره ۴
۱۳۶.....	۴-۲-۴-۶- محدوده شماره ۵
۱۳۶.....	۶-۲-۴-۶- محدوده شماره ۶
۱۳۶.....	۷-۲-۴-۶- محدوده شماره ۷

## فصل هفتم: بحث و نتیجه گیری و پیشنهادات

۱-۱- بحث و نتیجه گیری	۱-۷
۱-۲- پیشنهادات	۲-۷
۱-۴-۲- فهرست منابع	

## فهرست جداول

جدول (۱-۵): مشخصات نقاط معدنی محدوده مورد مطالعه.....	۵۶
جدول (۱-۶): جدول ارزش دهی و بافر سه گروه گسل ها در کانی زایی طلای اپی ترمال.....	۱۱۴
جدول (۲-۶): جدول ارزش دهی سنگ های میزبان در کانی زایی طلای اپی ترمال.....	۱۱۵

فهرست اشکال

۲۲	شکل (۱-۳): موقعیت منطقه مطالعاتی و زون اهر - ارسباران
۲۲	شکل (۲-۲): راههای ارتباطی منطقه مطالعاتی و زون اهر - ارسباران
۲۴	شکل (۳-۳): نقشه زمین شناسی اهر و موقعیت محدوده مطالعه
۵۴	شکل (۱-۵): گسل‌های زمین شناسی منطقه مطالعاتی
۵۵	شکل (۲-۵): ترکیب دو لایه اطلاعاتی جهت تهیه یک لایه واحد
۵۷	شکل (۳-۵): نقشه نشانه‌های معدنی محدوده مطالعاتی
۵۸	شکل (۴-۵): گسل‌ها و توده‌های نفوذی نیمه عمیق استخراج شده از داده‌های ژئوفیزیک هوایی
۵۹	شکل (۵-۵): تصویر ماهواره‌ای نقشه ۱۰۰...۱۰۰ اهر و محدوده مطالعاتی
۶۰	شکل (۶-۵): گسل‌ها و ساختار حلقی استخراج شده از تصاویر ماهواره‌ای
۶۰	شکل (۷-۵): مناطق آلتراسیونی استخراج شده از تصاویر ماهواره‌ای
۶۱	شکل (۸-۵): آنومالی‌های ژئوشیمیایی مس
۶۲	شکل (۹-۵): آنومالی‌های ژئوشیمیایی مولیبدن
۶۲	شکل (۱۰-۵): آنومالی‌های ژئوشیمیایی طلا
۶۲	شکل (۱۱-۵): آنومالی‌های ژئوشیمیایی آنتیمون
۶۳	شکل (۱۲-۵): آنومالی‌های ژئوشیمیایی نقره
۶۳	شکل (۱۳-۵): آنومالی‌های ژئوشیمیایی آرسنیک
۶۳	شکل (۱۴-۵): آنومالی‌های ژئوشیمیایی سرب
۶۴	شکل (۱۵-۵): آنومالی‌های ژئوشیمیایی روی
۶۴	شکل (۱۶-۵): ترکیب دو لایه اطلاعاتی جهت تهیه یک لایه واحد دوتایی
۶۵	شکل (۱۷-۵): ترکیب گسل‌های زمین‌شناسی و تصویر ماهواره‌ای و ژئوفیزیک هوایی
۶۹	شکل (۱-۶): لایه وزن دار شده ژئوشیمیایی مس
۷۰	شکل (۲-۶): لایه وزن دار شده ژئوشیمیایی مولیبدن
۷۰	شکل (۳-۶): لایه وزن دار شده ژئوشیمیایی طلا
۷۱	شکل (۴-۶): لایه وزن دار شده ژئوشیمیایی نقره
۷۲	شکل (۵-۶): لایه ژئوشیمیایی نهایی جهت مدل‌سازی مس پورفیری
۷۳	شکل (۶-۶): لایه وزن دار شده آلتراسیون‌های اکسید آهن
۷۳	شکل (۷-۶): لایه وزن دار شده آلتراسیون‌های رسی

شکل (۸-۶): لایه التراسیون دورسنجی جهت مدل‌سازی مس پورفیری	۷۴
شکل (۹-۶): التراسیون‌های هیدرورترمالی حاصل از نقشه زمین‌شناسی	۷۵
شکل (۱۰-۶): نقشه دانستیه گسل‌های محدوده مورد مطالعه	۷۶
شکل (۱۱-۶): نقشه نهایی گسل‌های منطقه جهت مدل‌سازی مس پورفیری	۷۶
شکل (۱۲-۶): لایه نهایی ساختار حلقوی منطقه جهت مدل‌سازی مس پورفیری	۷۷
شکل (۱۳-۶): لایه واحدهای نفوذی منطقه جهت مدل‌سازی مس پورفیری	۷۸
شکل (۱۴-۶): واحدهای نفوذی کم عمق جهت مدل‌سازی مس پورفیری	۷۹
شکل (۱۵-۶): نواحی امید بخش کانی‌زایی مس پورفیری - مدل ۱	۸۱
شکل (۱۶-۶): نواحی امید بخش کانی‌زایی مس پورفیری - مدل ۲	۸۱
شکل (۱۷-۶): نواحی امید بخش کانی‌زایی مس پورفیری - مدل ۳	۸۲
شکل (۱۸-۶): نواحی امید بخش کانی‌زایی مس پورفیری - مدل ۴	۸۲
شکل (۱۹-۶): نواحی امید بخش کانی‌زایی مس پورفیری - مدل ۵	۸۳
شکل (۲۰-۶): نواحی امید بخش کانی‌زایی مس پورفیری - مدل ۶	۸۳
شکل (۲۱-۶): لایه ژئوشیمیایی نهایی جهت مدل‌سازی طلای اپیترمال	۸۵
شکل (۲۲-۶): آلتراسیون‌های حاصل از نقشه زمین‌شناسی	۸۵
شکل (۲۳-۶): گسل‌های شمال غربی-جنوب شرقی منطقه مطالعاتی	۸۷
شکل (۲۴-۶): گسل‌های شمال شرقی-جنوب غربی منطقه مطالعاتی	۸۷
شکل (۲۵-۶): گسل‌های شرقی-غربی منطقه مطالعاتی	۸۸
شکل (۲۶-۶): لایه گسل‌های منطقه مطالعاتی جهت مدل‌سازی طلای اپیترمال	۸۸
شکل (۲۷-۶): نقشه سنگ‌های منشأ جهت مدل‌سازی طلای اپیترمال	۸۹
شکل (۲۸-۶): فهرست واحدهای ولکانیکی انتخاب شده	۹۰
شکل (۲۹-۶): لایه واحدهای ولکانیکی جهت مدل‌سازی طلای اپیترمال	۹۱
شکل (۳۰-۶): نواحی امید بخش کانی‌زایی طلای اپیترمال - مدل ۱	۹۳
شکل (۳۱-۶): نواحی امید بخش کانی‌زایی طلای اپیترمال - مدل ۲	۹۳
شکل (۳۲-۶): نواحی امید بخش کانی‌زایی طلای اپیترمال - مدل ۳	۹۴
شکل (۳۳-۶): نواحی امید بخش کانی‌زایی طلای اپیترمال - مدل ۴	۹۴
شکل (۳۴-۶): نواحی امید بخش کانی‌زایی طلای اپیترمال - مدل ۵	۹۵
شکل (۳۵-۶): نواحی امید بخش کانی‌زایی طلای اپیترمال - مدل ۶	۹۵
شکل (۳۶-۶): لایه گسل‌های منطقه با ارزش‌های تعلق یافته بر اساس منطق فازی	۹۷
شکل (۳۷-۶): نواحی امید بخش کانی‌زایی مس پورفیری - مدل ۱	۹۹
شکل (۳۸-۶): نواحی امید بخش کانی‌زایی مس پورفیری - مدل ۲	۱۰۰
شکل (۳۹-۶): نواحی امید بخش کانی‌زایی مس پورفیری - مدل ۳	۱۰۰

شکل (۴۰-۶): نواحی امید بخش کانی‌زایی مس پورفیری	- مدل ۴۱	۱۰۱
شکل (۴۱-۶): نواحی امید بخش کانی‌زایی مس پورفیری	- مدل ۴۲	۱۰۱
شکل (۴۲-۶): نواحی امید بخش کانی‌زایی مس پورفیری	- مدل ۴۳	۱۰۲
شکل (۴۳-۶): نواحی امید بخش کانی‌زایی مس پورفیری	- مدل ۴۴	۱۰۲
شکل (۴۴-۶): نمودار درختی ترکیب و مدل‌سازی لایه‌های اکتشافی به روش منطق فازی	- مدل ۱	۱۰۳
شکل (۴۵-۶): نمودار درختی ترکیب و مدل‌سازی لایه‌های اکتشافی به روش منطق فازی	- مدل ۲	۱۰۴
شکل (۴۶-۶): نمودار درختی ترکیب و مدل‌سازی لایه‌های اکتشافی به روش منطق فازی	- مدل ۳	۱۰۵
شکل (۴۷-۶): نمودار درختی ترکیب و مدل‌سازی لایه‌های اکتشافی به روش منطق فازی	- مدل ۴a	۱۰۶
شکل (۴۸-۶): نمودار درختی ترکیب و مدل‌سازی لایه‌های اکتشافی به روش منطق فازی	- مدل ۴b	۱۰۷
شکل (۴۹-۶): نمودار درختی ترکیب و مدل‌سازی لایه‌های اکتشافی به روش منطق فازی	- مدل ۵a	۱۰۸
شکل (۵۰-۶): نمودار درختی ترکیب و مدل‌سازی لایه‌های اکتشافی به روش منطق فازی	- مدل ۵b	۱۰۹
شکل (۵۱-۶): ترکیب لایه‌های آلتراسیون با استفاده از منطق فازی	- مدل ۴	۱۱۰
شکل (۵۲-۶): ترکیب لایه‌های ژنوشیمی با استفاده از منطق فازی	- مدل ۴	۱۱۱
شکل (۵۳-۶): ترکیب لایه‌های ساختاری با استفاده از منطق فازی	- مدل ۴	۱۱۱
شکل (۵۴-۶): ترکیب لایه‌های منشأ با استفاده از منطق فازی	- مدل ۴	۱۱۲
شکل (۵۵-۶): ترکیب نهایی لایه‌های اکتشافی با استفاده از منطق فازی	- مدل ۴	۱۱۲
شکل (۵۶-۶): واحدهای ولکانیکی انتخاب شده جهت مدل سازی طلای اپی‌ترمال		۱۱۵
شکل (۵۷-۶): نواحی امید بخش کانی‌زایی طلای اپی‌ترمال	- مدل ۱	۱۱۷
شکل (۵۸-۶): نواحی امید بخش کانی‌زایی طلای اپی‌ترمال	- مدل ۲	۱۱۷
شکل (۵۹-۶): نواحی امید بخش کانی‌زایی طلای اپی‌ترمال	- مدل ۳	۱۱۸
شکل (۶۰-۶): نواحی امید بخش کانی‌زایی طلای اپی‌ترمال	- مدل ۴	۱۱۸
شکل (۶۱-۶): نمودار درختی ترکیب و مدل‌سازی لایه‌های اکتشافی به روش منطق فازی	- مدل ۱	۱۱۹
شکل (۶۲-۶): نمودار درختی ترکیب و مدل‌سازی لایه‌های اکتشافی به روش منطق فازی	- مدل ۲	۱۲۰
شکل (۶۳-۶): نمودار درختی ترکیب و مدل‌سازی لایه‌های اکتشافی به روش منطق فازی	- مدل ۳	۱۲۱
شکل (۶۴-۶): نمودار درختی ترکیب و مدل‌سازی لایه‌های اکتشافی به روش منطق فازی	- مدل ۴	۱۲۲
شکل (۶۵-۶): مراحل ترکیب لایه‌های ساختاری بر اساس منطق فازی	- مدل ۴	۱۲۳
شکل (۶۶-۶): لایه ساختاری بدست آمده از مدل سازی فازی	- مدل ۴	۱۲۴
شکل (۶۷-۶): مراحل ترکیب لایه‌های کانی‌زایی بر اساس منطق فازی	- مدل ۴	۱۲۴
شکل (۶۸-۶): لایه کانی‌زایی بدست آمده از مدل سازی فازی	- مدل ۴	۱۲۵
شکل (۶۹-۶): مراحل ترکیب لایه‌های آلتراسیون بر اساس منطق فازی	- مدل ۴	۱۲۵
شکل (۷۰-۶): لایه آلتراسیون بدست آمده از مدل سازی فازی	- مدل ۴	۱۲۶

شکل (۷۱-۶): مناطق امید بخش معرفی شده برای کانی‌زایی طلای آبی ترمال	۱۲۷
شکل (۷۲-۶): مناطق امید بخش معرفی شده برای کانی‌زایی مس پورفیری	۱۲۸
شکل (۷۳-۶): محدوده‌های انتخاب شده برای کنترل صحرایی	۱۲۹

فصل اول:

کلیات

## فصل اول

### کلیات

#### ۱-۱- مقدمه

با پیشرفت و توسعه سیستم‌های کامپیوتری طی چند دهه اخیر، امکاناتی برای متخصصان فراهم آمده که با ذخیره‌سازی، تجزیه، تغییر و تلفیق اطلاعات در مدت زمان کوتاهی می‌توان از آنها جهت تحلیل، برنامه‌ریزی و مدیریت منابع استفاده کرد. لذا استفاده از سیستم‌های اطلاعات جغرافیایی جهت مدیریت اطلاعات و تجزیه و تحلیل آنها به عنوان یکی از مهمترین علوم و فناوری‌های جدید در دو دهه اخیر از پیشرفت قابل ملاحظه‌ای برخوردار شده است [۱۳].

یک سیستم اطلاعات جغرافیایی (GIS)<sup>۱</sup>، یک سیستم رایانه‌ای برای مدیریت داده‌های فضایی (مکانی) است. عامل مشخص کننده‌ای که این تکنولوژی را از سایر سیستم‌های ذخیره و بازیابی اطلاعاتی متمایز می‌کند، نحوه نگرش آن به داده‌های فضایی است. با این ویژگی، GIS به عنوان یک فناوری جدید، تبدیل به روشی پویا در تجزیه و تحلیل داده‌های کمی و کیفی و طراحی انواع تصاویر جغرافیایی گشته است.

از طرفی اکتشاف ذخایر معدنی در یک منطقه، مستلزم تجزیه و تحلیل زمین‌شناسی است که خود در گرو انجام فرآیند ترکیب یا تلفیق و مدل سازی داده‌های متنوع برداشت شده از آن منطقه می‌باشد. سیستم‌های اطلاعات جغرافیایی به دلیل برخورداری از امکانات تجزیه و تحلیل داده‌های مختلف و ایجاد ارتباط بین لایه‌های مختلف اطلاعاتی، به مهندسین معدن و زمین‌شناس امکان می‌دهد که از طریق تلفیق و تحلیل داده‌های حاصل از منابع متفاوت و ایجاد نقشه‌های جدید در جهت اکتشاف ذخایر معدنی و تصمیم‌گیری نهایی گام بردارند [۲].

<sup>۱</sup>- Geographic Information System (GIS)

## ۱-۲- سیستم اطلاعات جغرافیایی

سیستم اطلاعات جغرافیایی یک سیستم رایانه‌ای ویره است که قابلیت جمع اوری، ذخیره سازی، مدیریت، بازیابی، تغییر، تحلیل، مدل‌سازی و نمایش اطلاعات مکانی و غیر مکانی (توصیفی) را دارد. این مجموعه داده‌هایی را که بر مبنای موقعیت‌شان (داده‌های فضایی) مشخص می‌شوند، با اطلاعات غیر مکانی ادغام کرده و در اهداف مورد نظر به کار می‌گیرد.

سیستم اطلاعات جغرافیایی که به اختصار GIS بیان می‌شود، خلاصه شده عبارت Geographic Information System می‌باشد.

کلمه جغرافیا که سازنده بخش G در GIS است به معنای موقعیت مکانی داده‌ها بر حسب مختصات جغرافیایی می‌باشد. بخش I از کلمه اطلاعات مربوط به لایه‌های اطلاعاتی ناحیه مورد بررسی است که شامل تمامی اطلاعات اعم از نقشه‌ها، گزارشات، جداول و... می‌باشد. واژه سیستم سازنده بخش S به مفهوم رابطه بین مجموعه اجزاء سازنده یک GIS است که امکان نگهداری، تجزیه و تحلیل، مدل‌سازی لایه‌های اطلاعاتی را فراهم می‌کند. بنابراین یک سیستم اطلاعات جغرافیایی را می‌توان دانش مدیریت و تجزیه و تحلیل اطلاعات جغرافیایی دانست [۱۲].

سیستم‌های اطلاعات جغرافیایی همانطور که گفته شد سیستمی رایانه‌ای است، لذا نیازمند نرم‌افزارهای مخصوصی می‌باشد. در حال حاضر چندین نرم‌افزار خاص، کاربران زیادی پیدا کرده که از جمله می‌توان به نرم‌افزارهای شرکت ESRI که شامل ArcInfo، ArcGIS، ArcView و... می‌باشد، اشاره نمود.

افزایش روز افزون انواع اطلاعات مکانی و حجم آنها، نیاز به دسترسی سریع و آسان به اطلاعات مکانی و تجزیه و تحلیل آنها از یک طرف و امکان اجرای نرم‌افزارهای GIS بر روی کامپیوترهای خانگی و پایین بودن قیمت نرم‌افزارهای مرتبط و نیز قدرت و توانایی‌های نرم‌افزارهای موجود در تحلیل مکانی،

ترکیب و تلفیق لایه‌های اطلاعاتی از دلایل عمدۀ پیشرفت سیستم‌های اطلاعات جغرافیایی در دو دهه اخیر می‌باشد [۱۱].

### ۱-۳- هدف سیستم اطلاعات جغرافیایی

هدف نهایی در اکثر پژوهش‌های سیستم‌های اطلاعات جغرافیایی، ترکیب داده‌های مختلف از منابع گوناگون به منظور توصیف، تحلیل پدیده‌ها یا ایجاد نقشه‌های جدید است که می‌توانند نهایتاً در تصمیم‌گیری‌ها مورد استفاده قرار گیرند. به عنوان مثال یک مهندس اکتشاف با مونتاژ کردن داده‌ها به شکل نقشه پتانسیل معدنی می‌تواند از سیستم اطلاعات جغرافیایی جهت تصمیم‌گیری اولویت‌های اکتشافی استفاده کند.

مهم‌ترین قابلیت GIS را باید امکان انجام تحلیل‌های پیچیده داده‌های مکانی (فضایی)<sup>۱</sup> و توصیفی<sup>۲</sup> دانست. GIS کاربر را قادر به نمایش و تحلیل نقشه و داده‌های جدولی بطور همزمان می‌کند و از طریق یکی از آنها، دیگری را بازیابی می‌نماید. همچنین می‌تواند به کمک توابع تحلیلی اطلاعات بیشماری را از داده‌های موجود استخراج کند و به مدل‌سازی و پیش‌بینی بپردازد. انعطاف‌پذیری را باید مشخصه دیگر GIS برشمرد. امکان سریع نقشه‌ها، تبدیل و انتقال داده‌ها به قالب‌های مختلف و تهییه گزارش به اشكال متعدد از قابلیت‌های ویژه GIS می‌باشد که در گذشته تهییه آنها به روش‌های سنتی و دستی امکان پذیر نبود [۱۲].

<sup>۱</sup> - Spatial data

<sup>۲</sup> - Descriptive data

#### ۴-۱- کاربرد GIS در علوم زمین

امروزه GIS در زمینه‌های مختلف کاربرد پیدا کرده و این روند به طور روز افزون در حال توسعه است، به طوری که اغلب سازمان‌ها و موسسات با شناخت بیشتر توانمندی‌های آن، به استفاده از قابلیت‌های ذخیره‌سازی، ساماندهی، مدیریت، تحلیل و نمایش اطلاعات این سیستم علاقه نشان می‌دهند. در حال حاضر از GIS در مطالعات زیست محیطی، برنامه‌ریزی شهری، کشاورزی، حمل و نقل، علوم نظامی و... به طور گسترده استفاده می‌گردد. علوم زمین نیز از این امر مستثنی نبوده و جستجو برای انواع منابع زمین‌شناسی، تهیه نقشه پتانسیل معدنی، تهیه نقشه‌های حوادث و بلایای طبیعی و... از کاربردهای GIS در علوم زمین می‌باشد.

تهیه نقشه‌های پتانسیل معدنی کاربرد متداول زمین‌شناسی و اکتشاف در GIS می‌باشد [۱۳].

## ۱-۵- هدف از انجام پایان نامه

جهت نیل به این هدف از نرم افزارهای ArcGIS 9.0، ArcView 3.3 و نرم افزارهای الحاقی Spatial Data Modeler و Spatial Analyst استفاده شده است.

## <sup>1</sup>- Index overlay

## 2 - Fuzzy logic

## ۶-۱- سوابق مطالعاتی در منطقه

محدوده مورد مطالعه در برکه زمین‌شناسی ۱/۱... اهر و در زون اهر- ارسباران واقع شده که یکی از مناطق مطالعاتی بیست‌کانه سازمان زمین‌شناسی کشور می‌باشد. این محدوده بخشی از نقشه زمین‌شناسی ۲۵...۱/۱ اهر است که با توجه به سابقه تاریخی معدنکاری، از جمله وجود کارهای معدنی قدیمی، سرباره‌های ذوب مس، وجود اسمای رostahai چون زایلیک ، مسکر ، دمیرچی (دمیر به معنای آهن) و زرگر حاکی از وجود پتانسیل ذخایر معدنی طلا، آهن، مس و مولیبدن همراه آن می‌باشد.

مطالعات اکتشافی و بهره‌برداری از معادن منطقه به حدود یکصد سال قبل بر می‌گردد. اما فعالیت‌های اکتشافی از سال ۱۳۴۰ به بعد به صورت منظم‌تر و وسیع‌تر انجام شده که از جمله فعالیت‌های اکتشافی می‌توان به اکتشاف کانسار مس و مولیبدن در بخش‌های وسیعی از منطقه از جمله سونگون، مزرعه، بلوچه، ورزقان و کیقال اشاره نمود. در چارچوب اکتشاف ذخایر آلونیت، سازمان زمین‌شناسی کشور موفق به کشف ذخایر آلونیت همراه با کائولن در شمال اهر، ناحیه زایلیک و ناحیه نقدوز (محدوده مورد مطالعه) شده است [۵ و ۸].

در سالهای اخیر نیز با توجه به توانمندی و پتانسیل معدنی زون ارسباران چندین طرح مطالعاتی اجرا گردیده که از مهم‌ترین آنها می‌توان به طرح‌های تهیه نقشه متالوژنی استان آذربایجان شرقی توسط شرکت مهندسین مشاور پیچاب کاوش، طرح مطالعات اکتشافی طلای اپیترمال و مس-مولیبدن پورفیری ارسباران و نیز طرح اکتشافات نمیه تفصیلی- تفصیلی طلا در محدوده اکتشافی صفر خانلو- نقدوز که توسط سازمان زمین‌شناسی کشور اجرا شده، اشاره کرد.

هم اکنون نیز طرح شناسایی نواحی امیدبخش معدنی در زون ارسباران با استفاده از سیستم‌های اطلاعات جغرافیایی جهت معرفی نواحی مستعد کانی‌زایی در گروه ژئومتیکس سازمان زمین‌شناسی کشور در حال انجام می‌باشد. این پایان‌نامه در راستای انجام اکتشاف ذخایر معدنی در منطقه اهر با

استفاده از داده‌های اکتشافی برداشت شده توسط سازمان زمین‌شناسی و اکتشافات معدنی کشور تعریف و اجرا شده است.

#### ۷-۱- روش انجام پایان نامه

با استفاده از سیستم‌های اطلاعات جغرافیایی، تهیه نقشه پتانسیل معدنی در سه مرحله به صورت زیر انجام می‌گیرد:

مرحله اول، شامل مرور اطلاعات قبلی، بررسی مدل‌های ذخایر معدنی و انتخاب یک مدل اکتشافی مناسب برای محدوده مورد مطالعه و ورود داده‌ها در سیستم اطلاعات جغرافیایی می‌باشد.

مرحله دوم، شامل استخراج داده‌ها و اطلاعات زمین‌شناسی مرتبط با نوع ذخیره قابل انتظار و تهیه نقشه‌های نشانگر جهت استفاده برای نوع خاص کانی‌زاوی می‌باشد.

مرحله سوم، شامل ترکیب نقشه‌های نشانگر با استفاده از روش‌های همپوشانی شاخص و منطق فازی جهت تهیه نقشه پتانسیل معدنی و در نهایت ارائه نقشه پتانسیل نهایی می‌باشد.

#### ۸-۱- ساختار پایان نامه

این تحقیق در هفت فصل به شرح زیر بررسی و جمع آوری گردید:

فصل اول همان طور که مرور گردید شامل کلیاتی راجع به سیستم‌های اطلاعات جغرافیایی، اهداف و روش انجام پایان نامه می‌باشد. فصل دوم به تفصیل به بررسی روش‌های مدل‌سازی و چگونگی تلفیق داده‌های اکتشافی در GIS جهت تهیه نقشه‌های پتانسیل معدنی می‌پردازد. در فصل سوم کانی‌زاوی و زمین‌شناسی محدوده مطالعاتی از نظر متالوژنی بررسی می‌شود. در فصل چهارم پارامترهای مؤثر در کانی‌زاوی احتمالی منطقه به صورت مدل‌های اکتشافی مورد بحث قرار می‌گیرد. در فصل پنجم با توجه به پارامترهای مؤثر در کانی‌زاوی ارائه شده در فصل چهارم، داده‌های اکتشافی در GIS آماده

سازی و مورد پردازش اولیه قرار می‌کیرد. در فصل ششم لایه‌های اطلاعاتی بر اساس روش‌های مدل‌سازی موجود در GIS با هم ترکیب و نواحی امید بخش معدنی منطقه معرفی می‌گردد. در فصل هفتم نتیجه کلی و پیشنهادات لازم ارائه می‌گردد.

فصل دوم:

## مدل‌سازی و تلفیق داده‌های اکتشافی در GIS

## فصل دوم

### مدل سازی و تلفیق داده های اکتشافی در GIS

#### ۱-۲- مقدمه

کشور ما یکی از غنی‌ترین کشورهای جهان از لحاظ پتانسیل معدنی می‌باشد. وجود بخش اعظم اطلاعات به صورت آنالوگ، جدا بودن اطلاعات مکانی و توصیفی و عدم وجود یک تفکر سیستمی در اخذ مدیریت، دسترسی و کاربرد اطلاعات، استفاده بهینه از این ثروتهای ملی را با مشکل مواجه ساخته است. استفاده از سیستم‌های اطلاعات جغرافیایی جهت مدیریت اطلاعات، تلفیق و تحلیل آنها به عنوان یکی از مهمترین علوم و فناوری‌ها جهت پاسخگویی به مشکلات مذبور محسوب می‌شود. در گذشته انتخاب، ارزیابی و ترکیب شواهد و مدارک ذخایر معدنی با کمک یک میز نوری انجام می‌گردید و نقشه‌های گوناگون به طور فیزیکی روی هم قرار می‌گرفتند تا روابط مشترک بین آنومالی‌ها تعیین شود [۷].

#### ۲-۲- تهییه نقشه‌های پتانسیل معدنی

اکتشافات معدنی یک فعالیت چند مرحله‌ای است که در مقیاس کوچک آغاز شده و به مقیاس بزرگ تبدیل می‌شود و سرانجام به انتخاب محل‌هایی به عنوان هدف برای حفاری به منظور دست‌یابی به ذخیره معدنی منجر می‌گردد.

در GIS و در مرحله نخست، اطلاعات و داده‌های اولیه از جمله لیتوژوئی، تکتونیک، ژئوفیزیک، ژئوشیمی، دورسنجی، آلتراسیون و ... گردآوری می‌شود. این مرحله یکی از مهمترین مراحل کار می‌باشد. سپس اطلاعات فوق رقومی شده تا در محیط سیستم اطلاعات جغرافیایی آماده سازی و سازماندهی گردد.

سیستم اطلاعات جغرافیایی با تلفیق اطلاعات مکانی و توصیفی و ایجاد پایگاه داده جغرافیایی امکان تلفیق لایه‌های اطلاعاتی را طبیق مدل‌های مورد نیاز کاربران فراهم می‌آورد. مدل‌های متفاوتی برای تلفیق اطلاعات، پیدا کردن احتمال کانی‌زایی و ارزیابی یک ذخیره معدنی وجود دارد که این مدل‌ها بر پایه داده‌های موجود (مانند اندیس‌های معدنی) و یا بر پایه نظر و دانش کارشناسی استوار است. بطور کلی می‌توان طرح‌های GIS برای تهیه نقشه‌های پتانسیل معدنی را به سه مرحله اصلی تقسیم نمود. نخستین مرحله، ایجاد پایگاه داده‌ای GIS از کلیه داده‌ها موجود می‌باشد. دومین مرحله پردازش داده‌ها جهت بیرون کشیدن الگوهای فضایی مربوط به اهداف طرح است. و مرحله آخر شامل ترکیب شواهد به دست آمده به منظور پیش‌بینی پتانسیل معدنی می‌باشد.

## ۱-۲-۲- مرحله اول

این مرحله شامل ساختن پایگاه داده‌ها بوده که جزء وقت‌گیرترین مراحل طرح می‌باشد و در مطالعات GIS بیشتر متداول است. این مرحله با پایه‌ریزی گستره‌های فضایی ناحیه مورد مطالعه، انتخاب یک سیستم تصویر عملی<sup>۱</sup> مناسب و مونتاژ کردن داده‌های فضایی متنوع سروکار دارد. مهمترین منابع داده‌ها در تهیه نقشه پتانسیل معدنی شامل نقشه زمین‌شناسی، آلتراسیون، ساختارها، آنومالی ژئوشیمیایی و ژئوفیزیکی می‌باشد که به صورت رقومی در آمده و ذخیره می‌گردد.

## ۱-۲-۲-۲- مرحله دوم

تجزیه و تحلیل لایه‌های اطلاعاتی بعد از مرحله جمع آوری، ورود داده‌ها و تشکیل بانک اطلاعاتی مهمترین قسمت یک پروژه GIS می‌باشد. در این مرحله لایه‌های ورودی به منظور بیرون کشیدن شواهد مهم برای پیش‌بینی انباشته‌های معدنی پردازش و تجزیه و تحلیل می‌گردند.

<sup>۱</sup> - Projection

در تجزیه و تحلیل لایه‌های اطلاعاتی جهت تهیه نقشه پتانسیل معدنی مهمترین چیزی که باید بدان توجه شود نوع ماده معدنی مورد نظر و شرایط تشکیل آن می‌باشد. لذا انتخاب یک مدل اکتشافی و کانی‌زاویی ضروری است. انتخاب داده‌ها و اطلاعات به دست آمده از آن و اختصاص وزن‌ها به نقشه‌های نشانکر<sup>۱</sup> (شاهد) همگی به مدل ذخیره بستگی دارند. گرچه هیچ دو ذخیره‌ای از یک نوع به طور کامل شبیه هم نیستند و نمی‌توان آنها را دقیقاً در یک مجموعه داده اکتشافی محلی به کار برد. اما مشخصات عمومی حاکم بر یک مدل اکتشافی، راهنمای صحیحی در تعیین پارامترهای کانی‌زاویی و امتیازدهی و طبقه‌بندی لایه‌های اطلاعاتی می‌باشد.

به عنوان مثال، در این مرحله نقشه زمین‌شناسی با توجه به نوع کانی‌زاویی به تعداد کوچکتری از واحدها یا کلاس‌های نقشه تعمیم داده می‌شود. مثال دیگر آن که نوع خاصی از آلتراسیون از نقشه آلتراسیون تفکیک می‌گردد.

### ۳-۲-۲- مرحله سوم

سومین مرحله شامل تلفیق نقشه‌های مختلف با یکدیگر است که شواهدی را برای یافتن پتانسیل مورد نظر فراهم سازد. این در دو مرحله صورت می‌گیرد که محصول نهایی آن، نقشه پیش‌بینی کننده‌ای است که مطلوبیت نسبی یا پتانسیل معدنی منطقه را نشان می‌دهد. چنین پتانسیلی به وسیله وزن‌دار کردن و ترکیب منابع متعدد به صورتی ساده یا بر اساس یک منطق یا روش ریاضی انجام می‌پذیرد. تخصیص وزنها به نقشه‌ها و کلاس‌های آنها یا توسط تجزیه و تحلیل اهمیت شواهد و مدارک مربوط به اندیس‌های معدنی معلوم و ارتباط آنها با کلاس‌های نقشه‌های مختلف انجام می‌گیرد یا با استفاده از قضاوت ذهنی کارشناسان زمین‌شناس و معدن انجام می‌شود.

<sup>۱</sup> - Evidence Maps

به عبارت دیگر تخصیص وزن‌ها به لایه‌ها توسط دو مدل متکی بر داده‌ها<sup>۱</sup> و مدل متکی بر دانش<sup>۲</sup> صورت می‌گیرد. در مدل سازی متکی بر داده‌ها نقشه‌های ورودی گوناگون با استفاده از مدل‌های نظیر رگرسیون لجستیکی<sup>۳</sup>، وزن‌های نشانکر<sup>۴</sup> و یا تجزیه و تحلیل شبکه‌های عصبی<sup>۵</sup> ترکیب می‌شوند. از مدل‌های متکی بر دانش نیز می‌توان به استفاده از روش‌های منطق فازی<sup>۶</sup> و روش همپوشانی شاخص<sup>۷</sup> اشاره نمود [۱۴، ۱۳ و ۱۵].

### ۳-۲- مدل‌سازی در GIS

همانطور که در بخش قبل اشاره گردید، مدل‌سازی به دو روش مدل متکی بر داده‌ها و مدل متکی بر دانش انجام می‌گیرد. در این پایان‌نامه از روش‌های متکی بر دانش یا قضاوت کارشناسی جهت مدل‌سازی پتانسیل معدنی استفاده شده است. در این بخش به توضیح روش‌هایی که بر اساس مدل متکی بر دانش انجام می‌گیرند، پرداخته می‌شود.

#### ۳-۲-۱- روش‌های مدل‌سازی متکی بر دانش کارشناسی

##### ۳-۲-۱-۱- روش منطق بولین<sup>۸</sup>

روش بولین ساده‌ترین روش مدل‌سازی در GIS می‌باشد. مجموعه داده‌های اکتشافی بصورت دو تایی<sup>۹</sup> درست یا غلط (وجود یک شرط یا عدم وجود) تنظیم می‌گردد. یک مثال ساده برای روش همپوشانی بولین انتخاب مناطقی است که سه شرط زیر را دارا باشد:

<sup>1</sup> - Data-driven

<sup>2</sup> - Knowledge-driven

<sup>3</sup> - Logistic regression

<sup>4</sup> - Weights of evidence

<sup>5</sup> - Neural network

<sup>6</sup> - Fuzzy logic

<sup>7</sup> - Index overlay

<sup>8</sup> - Boolean logic

<sup>9</sup> - Binary

در موقعیت ۱۰۰ متری از گسل‌ها واقع شده، جنس سنگ‌ها و لکانیک میوسن و نیز در محدوده ۵۰۰ متری نمونه خاکی که دارای عیار طلا  $100 \text{ ppb}$  می‌باشد، واقع گردد. جواب هر یک از این سوالها، وجود یا عدم وجود شرایط فوق است. مناطقی که هر سه شرط را دارا باشند یعنی در محدوده ۱۰۰ متری گسل‌ها، داخل سنکهای و لکانیک میوسن و محدوده ۵۰۰ متری نمونه طلدار واقع شوند، می‌تواند بیانکر پتانسیل کانی‌زایی باشد. این یک مثال از منطق بولین به روش "و"<sup>۱</sup> می‌باشد که همپوشانی بولین نیز نامیده می‌شود. منطق بولین می‌تواند به روش "یا"<sup>۲</sup> نیز انجام شود.

در واقع مدل‌سازی بولین با ترکیب منطقی نقشه‌های دوتایی حاصل از کاربرد عملگرهای شرطی سروکار دارد. هر یک از نقشه‌ها به عنوان یک شرط استفاده می‌شود که می‌تواند به صورت لایه‌ای از مدارک و شواهد فرض شود.

در این روش هر موقعیت برای تعیین این که به موقعیت‌های واجد شرط متعلق است یا نه، امتحان و بررسی می‌شود. عضویت در مجموعه به صورت یک یا صفر بیان می‌شود نه بصورت احتمال و امکان. فرضیه به تکرار بر روی همه موقعیت‌های منطقه مورد مطالعه ارزیابی می‌شود که حاصل آن یک نقشه دوتایی فرضی است.

مزیت و امتیاز رویکرد بولین سهولت و سادگی آن است. با این حال در عمل به طور معمول مناسب نیست چون برای هر یک از معیارهای ترکیب شده اهمیت یکسانی قائل می‌شود. شواهد و مدارک بایستی بسته به اهمیت نسبی خود وزن دار شوند. این مسئله در روش همپوشانی شاخص برطرف شده، به صورتی که هر لایه از اطلاعات بسته به تأثیرش در جواب نهایی، وزن دار می‌گردد [۱۲ و ۱۹].

<sup>۱</sup> - And

<sup>۲</sup> - Or

### ۲-۱-۳-۲ - همپوشانی شاخص

روش همپوشانی شاخص یا آنالیز قابلیت تناسب یا مطلوبیت، شبیه روش همپوشانی بولین می‌باشد، با

این تفاوت که برای هر لایه از اطلاعات می‌توان وزنهای متفاوتی اعمال کرد. روش همپوشانی شاخص را می‌توان برای ترکیب نقشه‌های چند کلاس ورودی (چه بصورت رستری و چه بصورت برداری) به کار برد. در ضمن هر کلاسی<sup>۱</sup> در هر لایه می‌تواند یک وزنی را انتخاب نماید. لذا آن کلاس، بسته به وزن اعمال شده می‌تواند تأثیر مهمی در نتیجه نهایی داشته باشد.

در یک مثال اکتشافی که از چندین لایه مختلف رژیوشنی، لیتلوزی و ساختارها جهت تعیین مناطق مستعد کانی‌زایی استفاده شده است، لایه‌ها وزن‌دهی می‌گردند. لایه‌ها بر حسب اینکه کدام یک تأثیر بیشتری در کانی‌زایی می‌توانند داشته باشند وزن بالاتری می‌گیرند. در نهایت تمام وزنهای جهت تهیه لایه نهایی طبق فرمول‌هایی که ارائه می‌گردد، با هم ترکیب می‌شوند.

این روش یکی از ساده‌ترین روش‌های ترکیبی نقشه‌های نشانگر می‌باشد. در این روش وزن‌های انتخابی (مساوی یا متفاوت) به نقشه‌ها داده می‌شود. همچنین به کلاس‌های هر نقشه نیز می‌توان وزن‌های متفاوت یا مساوی نسبت داد. این روش برای نقشه‌های دوتایی و همچنین نقشه‌های چند کلاسه قابل اجرا می‌باشد. در حالتی که نقشه‌های ورودی دوتایی باشند، هر نقشه در فاکتور وزن نسبت داده شده ضرب شده و با کلیه نقشه‌های در حال ترکیب جمع می‌شود. سپس برای نرمالیزه کردن، تقسیم بر مجموع وزن‌ها می‌گردد. نتیجه حاصل ( $S$ ) به صورت نقشه‌ای جدید بدست می‌آید که در هر مکان از ناحیه مورد مطالعه امتیاز نهایی  $S$  به صورت زیر تعریف می‌شود :

$$S = \frac{\sum_{i=1}^n W_i \text{class}(MAP_i)}{\sum_{i=1}^n W_i} \quad (1-2)$$

<sup>1</sup> - Record

در این رابطه  $W_i$  وزن نقشه  $i$  و عدد یک برای کلاس  $i$  برای حضور شرایط دو تایی و صفر برای عدم حضور آن است.

برای نقشه های چند کلاسه که ممکن است امتیازات مختلفی به کلاس های هر نقشه نسبت داده شود، مقدار  $S$  از رابطه زیر بدست می آید:

$$S = \frac{\sum_{i=1}^n S_i W_i}{\sum_{i=1}^n W_i} \quad (2-2)$$

در این رابطه  $S$  امتیاز بدست آمده بعد از ترکیب نقشه ها برای هر مکان از محدوده مورد مطالعه می باشد،  $W_i$  وزن  $i$  امین نقشه ورودی و  $S_{ij}$  امتیاز زامین کلاس از  $i$  امین نقشه است [۱۲ و ۱۳ و ۱۸]. در عمل چون  $Z$  ها مختلف هستند لازم است رابطه بالا به صورت زیر اصلاح گردد.

$$S = \frac{\sum_{i=1}^n \sum_{j=1}^m S_{ij} W_i}{\sum_{i=1}^n W_i} \quad (3-2)$$

همپوشانی های شاخص امکان ترکیب قابل انعطاف تر نقشه های نشانگر را در مقایسه با عملیات منطقی بولین به تنها بی فراهم می سازد. جداول امتیازات و وزن های نقشه ها می توانند به گونه ای تنظیم شوند که قضاوت یک کارشناس را در قلمرو کاربرد مورد نظر، منعکس نمایند. امتیازات نقشه ها می توانند به صورت اعداد صحیح مثبت یا اعداد حقیقی بدون محدودیت در گستره عددی انتخاب شوند (به جز دامنه ای که باید بین نقشه ها هماهنگ و سازگار باشد). بزرگترین نقطه ضعف این روش ماهیت افزده خطی آن است [۱۳].

روش بعدی منطق فازی می باشد که از بسیاری جهات مشابه روش همپوشانی شاخص است که در آن قوانین ترکیب، انعطاف پذیر ترند و مشکل ماهیت افزایشی و خطی مدل اصلاح شده است.

### ۳-۱-۳-۲ - منطق فازی

یک مجموعه به صورت کلاسیک و قطعی<sup>۱</sup> مجموعه‌ای است از عناصر یا اجزاء  $x \in X$  که  $X$  می‌تواند محدود، قابل شمارش یا غیرقابل شمارش باشد. هر جزء منفرد، می‌تواند متعلق به مجموعه  $X$  باشد و یا نباشد. در صورت تعلق عضو  $x$  به مجموعه  $X$  درجه عضویت آن یک و در غیر این صورت درجه عضویت آن صفر است.

به عبارت دیگر  $X$  را یک مجموعه مرجع دلخواه در نظر بگیریم، تابع عضویت<sup>۲</sup> هر زیر مجموعه معمولی  $A$  از  $X$ ، یک تابع از  $X$  به  $\{0, 1\}$  است، که اینگونه تعریف می‌شود:

$$\mu_A(x) = \begin{cases} 1 & x \in A \\ 0 & x \notin A \end{cases} \quad (4-2)$$

حال اگر برد تابع عضویت را از مجموعه دو عضوی  $\{0, 1\}$  به بازه  $[0, 1]$  توسعه دهیم، یک تابع خواهیم داشت که به هر  $x$  از  $X$  عددی را از بازه  $[0, 1]$  نسبت می‌دهد که این تابع را تابع عضویت می‌نامیم. اکنون  $A$  دیگر یک مجموعه معمولی نیست، بلکه یک مجموعه فازی است.

در صورتی که  $X$  را مجموعه مرجع موضوع مورد بحث در نظر بگیریم یک مجموعه فازی  $A$  در  $X$  مجموعه‌ای از زوجهای مرتب  $A = \{(x, \mu_A(x)) \mid x \in X\}$  است. در اینجا  $\mu_A(x)$  تابع عضویت از  $x$  در  $A$  که میزان تعلق  $x$  به مجموعه فازی  $A$  را نشان می‌دهد.  $(x, \mu_A(x))$  ممکن است هر مقدار حقیقی در فاصله  $[0, 1]$  را بگیرد.

$$\mu_A(x) : x \rightarrow [0, 1] \quad (5-2)$$

پس هر چه مقدار  $\mu_A(x)$  به عدد یک نزدیک‌تر باشد نشان دهنده تعلق بیشتر  $x$  به مجموعه فازی  $A$  است و بالعکس نزدیکی آن به صفر نشان دهنده تعلق کمتر  $x$  به  $A$  است  $[20\text{ و }14]$ .

<sup>1</sup> - Crisp

<sup>2</sup> - Membership function

در مجموعه فازی تابع عضویت می‌تواند خطی یا غیرخطی باشد. عضویت در مجموعه فازی همیشه در ارتباط با یک موضوع یا هدف قطعی است. در اکتشاف معدن، موضوع محل مناسب برای ذخایر معدنی می‌باشد.

یک سری از عملگرهای<sup>۱</sup> فازی مشابه عملگرهای مجموعه‌های کلاسیک می‌باشند و مشابه آنها عمل می‌کنند که شامل تساوی، اجتماع و اشتراک می‌باشند. توسط عسکرزاده<sup>۲</sup> (۱۹۶۵، ۱۹۷۳، ۱۹۸۳) و زیمرمان<sup>۳</sup> (۱۹۹۱) عملگرهای فازی متنوعی تعریف شد. پنج عملگر مختلف که در ترکیب مجموعه داده‌های اکتشافی استفاده می‌گردد، عبارتند از: عملگر "و" فازی، عملگر "یا" فازی، حاصل ضرب جبری فازی<sup>۴</sup>، جمع جبری فازی<sup>۵</sup>، عملگر فازی گاما<sup>۶</sup>

### ۱-۳-۱-۳-۲- عملگر "و" فازی

این عملگر، مانند عملگر "و" در منطق بولین عمل می‌کند و نقشه خروجی توسط کوچکترین مقدار عضویت فازی کنترل می‌شود و یک نتیجه محافظه کارانه را از مجموعه عضویت‌ها ارائه می‌دهد.

$$\mu_{combination} = \text{Min}(\mu_A, \mu_B, \mu_C, \dots) \quad (4-2)$$

که در رابطه فوق،  $\mu$  مقدار عضویت فازی برای نقشه A می‌باشد. عملیات "و" در مواقیعی که دو یا چند قسمت از مدارک و شواهد، برای اثبات فرضیه‌ای باید باهم وجود داشته باشند، مناسب است.

<sup>۱</sup> - Operators

<sup>۲</sup> - Asghar Zadeh

<sup>۳</sup> - Zimmerman

<sup>۴</sup> - Fuzzy algebraic product

<sup>۵</sup> - Fuzzy algebraic sum

<sup>۶</sup> - Fuzzy  $\gamma$ -operator

### ۲-۳-۱-۲- عملگر "یا" فازی

این عملگر نیز، هم مانند عملگر "یا" در منطق بولین است و نقشه خروجی توسط بیشترین مقادیر نقشه‌های ورودی کنترل می‌شود.

$$\mu_{combination} = \text{Max}(\mu_A, \mu_B, \mu_C, \dots) \quad (7-2)$$

این عملگر در برخی موارد برای تهیه نقشه‌های پتانسیل معدنی بکار می‌رود. در جاهایی که شاخص‌های مورد نظر در کانی‌زایی کمیابند و حضور هر نشانگر می‌تواند برای اظهار مطلوبیت کافی باشد.

### ۲-۳-۱-۳- حاصل ضرب جبری فازی

این عملگر به صورت زیر تعریف می‌شود:

$$\mu_{combination} = \prod_{i=1}^n \mu_i \quad (8-2)$$

در این رابطه  $n$  تعداد نقشه‌ها می‌باشد. چون در این تابع چندین عدد کوچکتر از یک درهم ضرب می‌شوند، مقدار عضویت بدست آمده همواره کوچکتر یا مساوی کوچکترین مقدار عضویت مشترک<sup>۱</sup> می‌باشد. به عبارت دیگر اثر این عملگر کاهنده است.

### ۲-۳-۱-۴- جمع جبری فازی

این عملگر مکمل حاصل ضرب جبری فازی است و بدین صورت تعریف می‌شود:

$$\mu_{combination} = 1 - \prod_{i=1}^n (1 - \mu_i) \quad (9-2)$$

---

<sup>۱</sup> - Contributing

نتیجه خروجی همیشه بزرگتر یا مساوی بزرگترین مقدار عضویت فازی می‌باشد و برعکس حاصل ضرب جبری فازی، اثر آن افزایشی است. در واقع شواهد همدیگر را تقویت می‌کنند و تأثیر مثبت بیشتری را نسبت به حالت انفرادی خود اعمال می‌کنند.

### ۱-۳-۵- عملگر فازی گاما

این اپراتور بر حسب حاصل ضرب جبری فازی و حاصل جمع جبری فازی به صورت زیر بیان می‌شود:

$$\mu_{combination} = \left( \prod_{i=1}^n \mu_i \right)^{1-\gamma} \left( 1 - \prod_{i=1}^n (1 - \mu_i) \right)^\gamma \quad (10-2)$$

اپراتور فازی گاما، ترکیبی از حاصل ضرب جبری فازی و حاصل جمع جبری فازی می‌باشد که در آن پارامتر  $\gamma$  در محدوده صفر تا یک انتخاب می‌گردد. به طوری که اگر  $\gamma$  یک باشد، ترکیب همان جمع جبری فازی خواهد بود و اگر  $\gamma$  صفر باشد ترکیب مساوی ضرب جبری فازی است. انتخاب صحیح و آگاهانه  $\gamma$ ، مقدارهایی در خروجی به وجود می‌آورد که نقش فزاینده جمع جبری فازی و نقش کاهش دهنده ضرب جبری فازی در آن عمل می‌کند و کل مجموعه را به حالت تعادل می‌رساند.

به وسیله اپراتور گاما تمامی مجموعه‌هایی که توسط عملگرهای دیگر بدست آمده‌اند باهم ترکیب و نقشه خروجی حاصل می‌شود. در پژوهه‌های اکتشافی مقادیر تابع فازی گاما محاسبه شده، نشان دهنده محل‌های مناسب کانی‌زایی و معرف میزان ارتباط بخش‌های محتمل کانی‌سازی شده به بخش‌های مختلف منطقه خواهد بود [۱۲ و ۱۴].

### فصل سوم:

زمین‌شناسی و کانی‌زایی در منطقه مورد مطالعه

## فصل سوم

### زمین‌شناسی و کانی‌زایی در منطقه مورد مطالعه

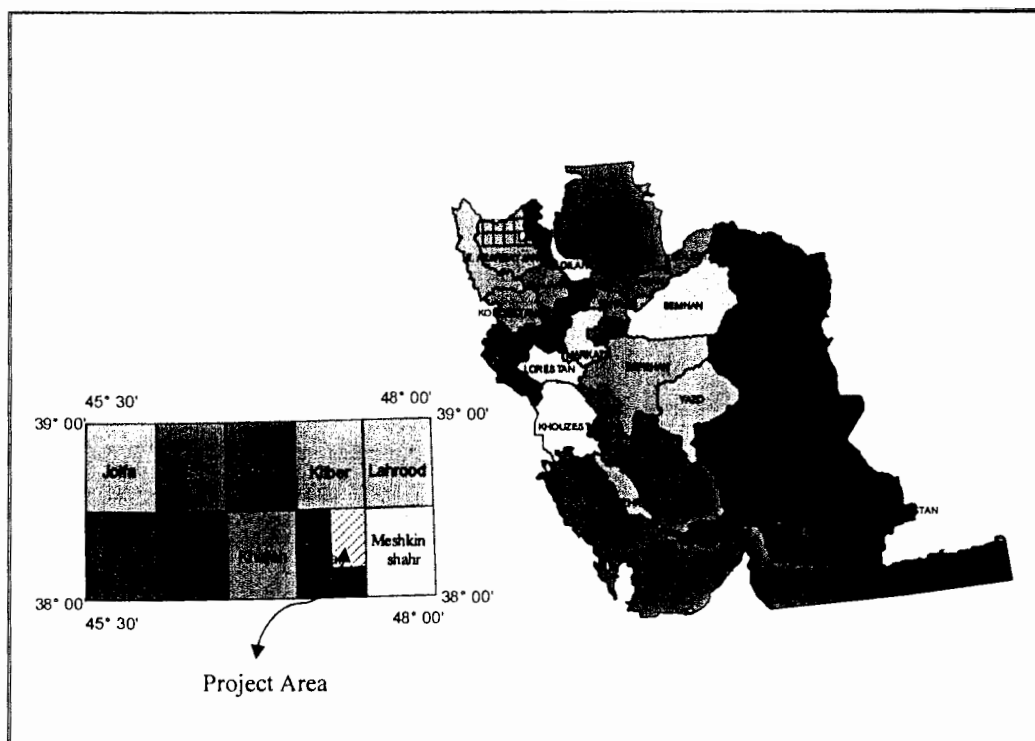
#### ۱-۳- موقعیت جغرافیایی منطقه

منطقه مورد بررسی بخشی از چهارگوش نقشه زمین‌شناسی اهر بوده که در محدوده طول جغرافیایی  $۱۵^{\circ} ۱۵' - ۴۷^{\circ} ۳۰'$  و عرض جغرافیایی  $۳۰^{\circ} ۳۸' - ۴۷^{\circ} ۳۰'$  واقع شده است. این منطقه از لحاظ تقسیمات کشوری در استان‌های آذربایجان شرقی و اردبیل واقع گردیده و راه آسفالتی تبریز - اهر - مشکین شهر از راههای ارتباطی به این منطقه می‌باشد. این محدوده از لحاظ موقعیت زمین‌شناسی در زون اهر- ارسباران قرار گرفته است.

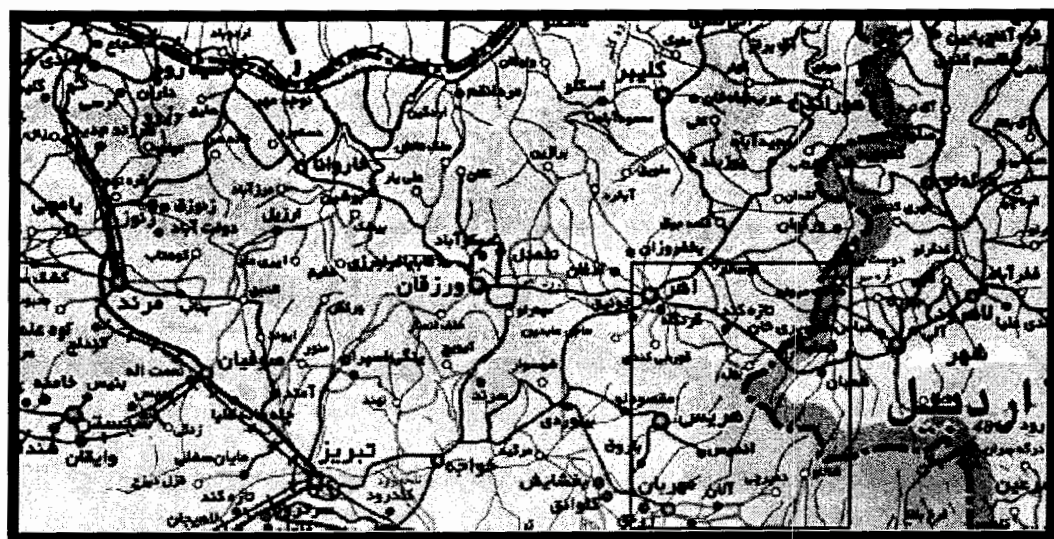
شکل‌های (۱-۳) و (۲-۳) به ترتیب موقعیت جغرافیایی و راههای ارتباطی محدوده مورد مطالعه و نیز موقعیت آن در زون اهر- ارسباران را نشان می‌دهد.

#### ۲-۳- زمین‌شناسی عمومی منطقه

منطقه مورد مطالعه که قسمتی از نقشه زمین‌شناسی ...، اهر می‌باشد، اغلب شامل سنگ‌های آذرین بیرونی، آذرین درونی و سنگ‌های رسوبی مربوط به دوران ترشیری است که حدود  $۸۰$  درصد کل سنگ‌های اهر را شامل می‌گردد. واحدهای قدیمی‌تر در منطقه، از کرتاسه بالائی با رخساره دریائی شروع شده که بیشتر از گدازه‌های آندزیتی تا آندزیتی بازالتی همراه با مواد آذر آواری و نهشت‌های رسوبی می‌باشد و تنها در چند ناحیه در قسمت غرب و شمال غرب نقشه اهر مشاهده می‌شود. فعالیت‌های آتشفسانی در ائوسن میانی با رخساره دریائی- خشکی به اوج خود می‌رسد. در

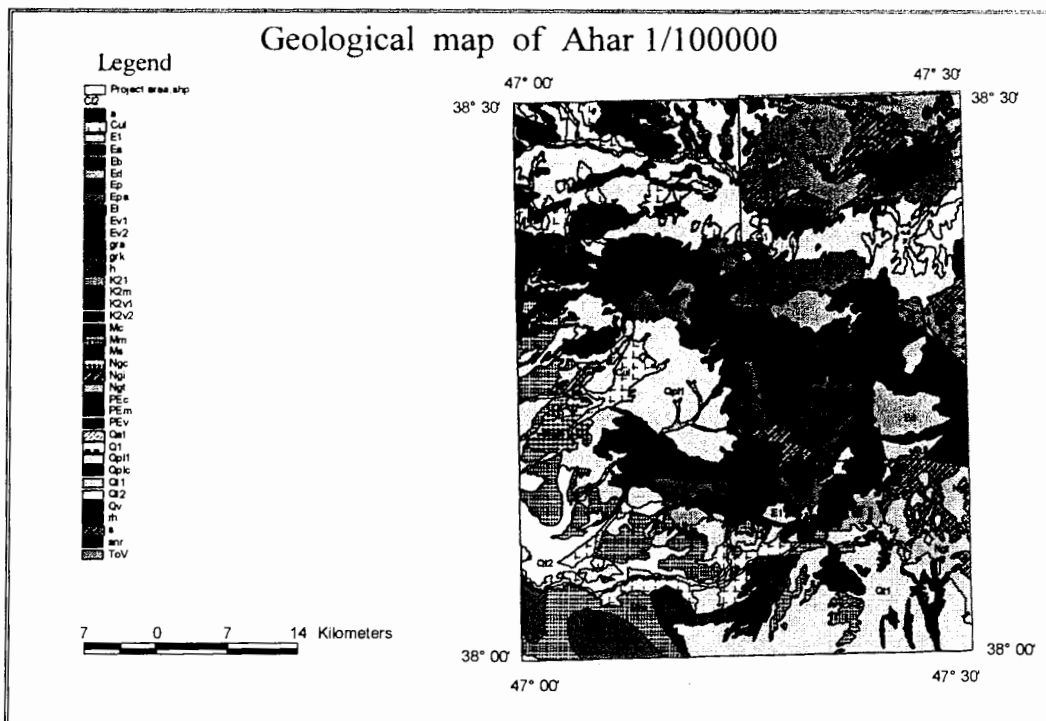


شکل (۱-۳): موقعیت جغرافیایی منطقه مطالعاتی و زون اهر- ارسباران



شکل (۲-۳): راههای ارتباطی منطقه مطالعاتی و زون اهر- ارسباران [۱]

انوسن بالانی - الیکوسن فعالیت‌های اذرین به صورت پلوتونیسم بوده و توده‌های کرانیتونیدی در درون واحدهای آتشفسانی - رسبی، پالنوسن - انوسن و کرتاسه قرار گرفته‌اند. فعالیت‌های اذرین در این دوره متوقف نشده و در نتوژن به صورت نفوذ توده‌های نفوذی کم عمق داسیتی - ریوداسیتی و تراکیتی، تراکی آندزیت و بازالتی ادامه یافته است. دکرسانی‌های گرمابی مرتبط با فرآیندهای پس از ماقمایی توده‌های نفوذی و گنبدی‌های آتشفسانی نسبتاً گستردۀ بوده و بیشتر مناطق شمال غرب منطقه اهر را در بر می‌گیرد [۹]. شکل (۳-۳) نقشه کوچک شده زمین‌شناسی ... اهر را نشان می‌دهد.



### ۳-۲-۱- ترشیری

#### ۳-۲-۱- پالتوسن - انوسن

رخنمون‌های این واحد بیشتر شامل سنگ‌های آذرین بیرونی مربوط به محیط‌های قاره‌ای و دریایی کم

عمق می‌باشد. واحدهایی که در منطقه مورد مطالعه واقع شده‌اند عبارتند از:

Ep : این واحد بیشتر شامل توف برشی و ایکنومیریت همراه با آندزیت‌های پیروکسن‌دار و

تراکی آندزیت به مقدار کم می‌باشد. ترکیب توفها بیشتر اسیدی و در حد ریوداسیت و داسیت می‌باشد.

Ev1 : این واحد از سنگ‌های آتشفسانی رسوبی شامل توف و توفیت با ترکیب داسیتی تا آندزیتی

تشکیل شده است.

Ea : این واحد شامل آندزیت تا تراکی آندزیت با بافت پورفیری تا مگاپورفیری است.

Ev2 : این واحد کاملاً ترکیبی مشابه Ev1 داشته و در بعضی نواحی مشابه Ea است. وجه تمایز

از Ev1 جوانتر بودن از نظر فاز تکتونیکی می‌باشد.

Eb : این واحد شامل گدازه‌های بازیک به صورت بازالت الیوین‌دار، آندزیت بازالت و آندزیت

پیروکسن‌دار می‌باشد که همراه آنها سنگ‌های آذرآواری از نوع توف‌های اسیدی مشاهده می‌شود که

بشدت سیلیسی و سرسیتی شده‌اند.

Ed : این واحد شامل توف‌های جوش خورده، برشی و بلوردار و توف حاوی قطعه‌های سنگی با ترکیب

داسیتی تا ریوداسیتی می‌باشد.

Et : این واحد از گدازه‌های تراکی آندزیتی تا تراکیتی با بلورهای درشت آنالسیم تشکیل شده است.

Epa : این واحد شامل گدازه‌های آندزیت پیروکسن‌دار و آندزیت بازالت که به صورت رخنمون‌های کم

ارتفاع در شمال شرقی منطقه دیده می‌شود. این واحد کاملاً خرد شده می‌باشد و پدیده‌های

کائولینیتی شدن و آلونیتی شدن در آن به علت تأثیر محلول‌های گرمابی تقریباً عمومیت دارد.

می باشد، قرار دارد. منطقه ارسباران بخشی از کمربند کوهزایی آلب-هیمالیا می باشد. گسل های موجود در این محدوده به سه دسته قابل تقسیم است.

۱- تراستها یا گسل های معکوس با امتداد تقریباً شرقی- غربی

۲- گسل های امتداد لغز با روند عمومی شمال غرب- جنوب شرق

۳- گسل های مستقیم یا نرمال با روند شمالی- جنوبی

در محدوده مورد مطالعه روندهای گوناگونی از گسل ها وجود دارد ولی در مجموع از روند کلی حاکم بر زون تبعیت می کنند. راستای گسل های اصلی تقریباً شرقی- غربی است که با راستای جایگزین توده های نفوذی منطقه مطابقت دارد و گسل های منشعب از آن اغلب در جهت شمال غربی- جنوب شرقی و شمالی- جنوبی قرار گرفته اند. که با روند عمومی رگه های سیلیسی و کانه دار در محدوده مورد مطالعه مطابقت دارد [۹].

#### ۴-۳- متالوژنی ناحیه مورد مطالعه

نظر به اینکه منطقه اهر در زون ارسباران واقع شده، لذا مطالعات متالوژنی به صورت کلی در زون ارسباران ارائه می گردد. قرار گرفتن در بخشی از کمان ماغمایی البرز غربی- آذربایجان- قفقاز کوچک و فعالیت های آتشفسانی- نفوذی اوسن و الیگوسن که باعث تشکیل کانسارهای مس- مولیبدن پورفیری، اسکارنی، رگه ای و اپی ترمال شده است، اهمیت اقتصادی این زون را تقویت می کند. این زون در واقع ادامه جنوبی قفقاز کوچک بوده که با روند شمال غربی- جنوب شرقی وارد ایران می شود.

برمبانی ویژگی های چینه نگاری و رویکردهای تکتونو ماغمایی در این زون، چهار چرخه زمین ساختی و فرآیندهای آن را می توان شناسایی کرد که وجوده اصلی در تحلیل متالوژنی به شمار می روند. در یک تقسیم بندی کلی ساختاری، دو سیستم اصلی یکی طولی (خطی) و دیگری عرضی (برشی) قابل تفکیک است که اولی متعلق به فاز پیشین کوهزایی و بسته شدن حوضه اقیانوسی قفقاز و بیامدهای

ولکانو پلوتونی ناشی از آن در سمت جنوبی این منطقه تصادمی دارد و متالوژنی خاص جزایر قوسی و کمان حاشیه قاره‌ای در سیستم ولکانو پلوتونی را نشان می‌دهد. این دوره معرف دو چرخه زمین ساختی از چهار چرخه حاکم در منطقه می‌باشد که رویکرد آن شکل‌گیری رشته کوهستانی و متالوژنی خطی است.

دومین سیستم ساختاری مربوط به فاز پسین کوهزایی می‌باشد که رویکرد آن تکتونو ماگمایی با رژیم کششی، ایجاد حوضه‌های کششی، بریدگی و جابجایی در رشته کوهستانی و شکل‌گیری حوضه‌های ولکانو پلوتونی با ولکانیسم دوگانه بوده است. آخرین چرخه تکتونو ماگمایی با روند شمال‌غربی منجر به جابجایی‌های تکتونیکی، ولکانیسم قاره‌ای (سهند و سبلان)، ژئومورفولوژی جوان و شکل‌گیری وضعیت زمین شناسی کنونی گردیده است.

بر مبنای آنچه که ذکر شد، متالوژنی زون ارسباران می‌تواند هماهنگ ووابسته به رویکردهای زمین ساختی و ماگمایی دخیل در تکونین منطقه باشد که به صورت زیر از قدیم به جوان خلاصه می‌شود:

- ۱) متالوژنی خاص حوضه‌های پلاتفرم و پوشش سازندی با رخساره برقاره‌ای
- ۲) متالوژنی گسیختگی قاره‌ای، باز شدگی و تکونین پوسته اقیانوسی
- ۳) متالوژنی فاز بسته شدن اقیانوسی و تکونین سیستم قوسی، ولکانو پلوتونیسم حاشیه قاره‌ای
- ۴) متالوژنی فاز کششی یا پسین ماگمایی با پیدایش ساختارهای متقطع به واسطه برش رشته کوهستانی سیستم پویا شده تکتونو ماگمایی، برش و شکل‌گیری سیستم‌های ولکانو پلوتونی وحوضه‌های بین کوهستانی اعم از انواع ولکانوژنیک و رسوبی.

متالوژنی زون ارسباران یک سیر تکونین از آغاز تا انجام تیس شمالي (ژوراسیک - کرتاسه) و ایجاد سیستم ولکانو پلوتونی پالتوژن را داشته که توانسته سیستم گستردگی از متالوژنی خاص مس-مولیبدن پورفیری، اسکارنی، اپی‌ترمال و دیگر انواع گرمابی را فراهم آورد. با سیر تکونین سیستم ولکانو پلوتونی حوضه پشت کمان میوسن - پلیوسن توانسته بستری از حوضه‌های رسوبی و ولکانو

پلوتونیسم مرتبط با آن را به وجود آورد که در آن متالوژنی سیستم‌های پورفیری دار توانسته شکل گیرد و زمینه مناسب را برای متالوژنی طلا از نوع اپیترمال فراهم سازد. تغییر رژیم فرافشاری به فرآکششی در رخداد آلپی پسین منجر به ایجاد ساختارهای ممتدا و ژرف خطوارهای با روندهای شمالی-جنوبی و شمال غربی-جنوب شرقی کردیده و کانون‌های آتشفسانی جوان (سهند و سبلان) را به وجود آورده است. این رخداد توأم با تشکیل میدان‌های ژنوترمال و کانی‌سازی اپیترمال از نوع طلا، آنتیمون، آرسنیک و جیوه می‌تواند باشد. سیر تکوینی نسبتاً کامل منجر به تشکیل کمربند متالوژنی، حوزه متالوژنی، حوزه کانه‌دار، میدان‌های معدنی و کانسارهای مختلف فلزات پایه (مس، مولیبدن، سرب، روی و آهن) و فلزات گرانبهای قیمتی (طلا و نقره) گردیده که از نظر نوع کانی‌سازی به صورت پورفیری، اسکارن، اپیترمال، رگه‌ای-گرمابی و رسوبی متغیر است.

با بررسی‌های زمین‌شناسی و مطالعه یافته‌های اکتشافی عمده‌ترین پتانسیل معدنی در زون ارسباران با توجه به توانمندی فلززایی چرخه آلپی و جایگاه ژئودینامیکی آن وجود منابع مس پورفیری، اسکارنی، گرمابی و کانسارهای اپیترمال فلزات گرانبهای می‌باشد [۱۰].

#### ۳-۴-۱- متالوژنی کانسارهای پورفیری منطقه ارسباران

کانسار سونگون از شاخص‌ترین کانسارهای مس-مولیبدن پورفیری در مقیاس جهانی موجود در این زون می‌باشد. با وجود چنین کانساری و کانسارهای مشابه در ادامه این زون در آذربایجان معیارهای اصلی برای دستیابی به کانسارهای مس پورفیری با ارزش مورد بررسی قرار می‌گیرند.

۱- کانسارهای مس پورفیری بزرگ دارای عیار هیپوژن بالا روی کمان و لکانو پلوتونی در پوسته قاره‌ای واقع شده که دستخوش چین خوردگی و راندگی گردیده و نیز با گسل خوردگی در زمان کانی‌سازی مس همراه می‌باشند. وجود شرایط حاشیه قاره‌ای و کمان ماقمایی شکل گرفته از رژیم فشاری در زون ارسباران وجود دارد.

۲- کانسارهای مس پورفیری همراه با مقادیر قابل ملاحظه‌ای طلا می‌توانند در قوس‌های ولکانو پلوتونی پراکنده باشند.

دلیل و شواهد زمین‌شناسی حاکی از آن است که بزرگترین و غنی‌ترین

کانسارها عموماً در مناطق فشاری قوس‌ها قرار دارند تا در بخش‌های کششی. اکتشاف در قوس یا

پشت قوس در مجموعه‌های ماقمایی کالک، کالک الکالن یا شوشونیتی می‌تواند صورت پذیرد. گرچه

در نوع دوم ممکن است نسبت کانسار به حجم سنگهای اذرین بیشتر از نوع اول باشد.

۳- نوع دیگر کانسارهای مس پورفیری، کانسارهایی هستند که دستخوش اکسیداسیون سوپرژن شدید

قرار گرفته‌اند. تشکیل این کانسارها با توسعه پروفیل‌های سوپرژن بالغ همراه است که ارتباط با

محتوای سولفید آن دارد. از طرف دیگر میزان بالا آمدگی زمین ساختی تحت شرایط اقلیمی نیمه

خشک نیز از دیگر پارامترهای بسیار مهم در تشکیل این تیپ کانسارها می‌باشد، به طوری که تشدید

شرایط اقلیمی نیمه خشک و پوشش سیستم با فرآورده‌های آتشفسانی، موجب حافظت و بر جای

ماندن پروفیل سوپرژن می‌گردد. (مانند سونگون)

ولکانیسم پلیوسن - کواترنر به عنوان عامل پوششی و حفاظت کننده زون سوپرژن در بخش‌هایی از

زون ارسباران دیده می‌شود.

پروفیل سوپرژن بالغ (مچور) با پوشش فروشسته ژاروسیت - هماتیت در زون ارسباران - قره داغ، حوزه

انجرد، سونگون و حوزه شرق اهر (نقدوز) توسعه دارد.

### ۲-۴-۳- متالوژنی کانسارهای اپی‌ترمال

از دیگر ویژگی‌های متالوژنی و استعداد کانی‌سازی در این زون، جستجو برای کانسارهای نوع اپی‌ترمال

است که در گسترده وسیعی از آن دیده می‌شود. این ویژگی خاص پشت‌های ولکانو پلوتونی در قوس

حاشیه قاره‌ای است که در این منطقه حاکمیت دارد.

جایگاه زمین ساختی کانسارهای اپی ترمال عموماً در قوس‌های ولکانو پلوتونی همراه با زون‌های فرورانش می‌باشد و عموماً در خاستگاه پشت قوس و در حدود ۱۰۰ کیلومتری از جبهه آتشفسانی به وجود می‌آیند و اغلب همراه سیستم پورفیری (مس و طلا) هستند.

میزبان کانسار، اغلب سنگ‌های آتشفسانی و سنگ‌های رسوبی همزمان با ولکانیسم و گاهی در واحدهای پی‌سنگ می‌باشد. سنگ‌های ماکمایی از سری مگنتیت و کالک الکالن با ترکیب آندزیت، داسیت، ریولیت و شوشونیتی یا سنگ‌های اذرین قلیایی در جزایر قوسی بالغ (ضخامت پوسته بیشتر از ۲۰ کیلومتر) و نواحی قاره‌ای، میزبان عمدۀ این کانسارها هستند. کانسارهای طلا در گودال‌های ولکانو تکتونیک (گрабن‌ها) و در ساختارهای کششی ناشی از حرکات گسل‌های راست لغز جای دارند. دگرسانی‌های بارز در این کانسارها عبارتند از :

- ۱ - آرژیلیک پیشرفته (درجۀ حرارت پایین): کریستوبالیت، کائولینیت، آلونیت
- ۲ - آرژیلیک پیشرفته (درجۀ حرارت بالا): کوارتز، دیکیت، پیروفیلیت، آلونیت
- ۳ - کوارتز - سریسیت: کوارتز، ایلیت، پیریت
- ۴ - سیلیسیفیکاسیون و سیلیس باقی مانده: کوارتز، روتیل یا آناتاز

زون ارسباران با توجه به ویژگی‌های زمین‌شناسی و بخصوص عملکرد و بروز دگرسانی‌های کم سولفور و پرسولفور در آن، مستعد کاوش برای منابع معدنی با منشأها یا خاستگاه‌های مختلف می‌باشد. در یک جمع بندی کلی با در نظر گرفتن شرایط زمین‌شناسی و کانسارهای شناخته شده در زون اهر- ارسباران، می‌توان گروه‌بندی زیر را ارائه نمود.

۱ - کانی‌سازی‌های با سولفیداسیون زیاد نوع اپی ترمال شامل آثار و منابع آلونیت، گوگرد، کوارتز، کالسدونی، کائولن، شواهدی از کانی‌سازی‌های مس، مولیبدن، آرسنیک، نقره و دارای پتانسیل طلا در منطقه سرخانلو، نقدوز، اهر، ورزقان و آستانمال.

- ۲- کانی‌سازی‌های با نوع سولفیداسیون کم از نوع اپیترمال، دارای کانی‌سازی‌های رگه‌ای از طلا، نقره، سرب و روی در شیور داغ.
- ۳- کانسارهای نوع پورفیری مانند سونگون.
- ۴- کانسارهای نوع متاسوماتیک همبری شامل مزرعه، انگرد و بسیاری از آثار و منابع شناخته شده در حوزه معدنی شیور داغ.
- ۵- کانسارهای رگه‌ای منسوب به پلوتون مانند کانسارهای مس و مولیبدن شناخته شده در باتولیت مگری - اردوباد [۱۰].

منطقه شرق اهر (محدوده مورد مطالعه) از جمله مناطقی است که براساس شواهد زمین‌شناسی می‌تواند شامل کانسارهای اپیترمال طلا از نوع پرسولفور باشد. شواهدی مبنی بر وجود کانسارهای مس پورفیری نیز در منطقه حاکم می‌باشد. براساس مطالعات انجام شده در منطقه نقدوز حضور دو نوع سیال کانه ساز در دو مرحله مرتبط به هم تأیید گردیده است.

نوع اول سیالاتی با شوری بالا و درجه حرارت هموژنیزاسیون نسبتاً بالا (احتمالاً با منشأ ماقمایی) شامل سه فاز مایع، گاز و جامد که با کانی سازی مس همراه است.

نوع دوم سیالاتی با شوری و درجه حرارت هموژنیزاسیون پایین (سیالات اپیترمال) شامل دو فاز مایع و گاز که با کانی سازی طلا همراه می‌باشد.

کانه‌زایی در محدوده نقدوز اغلب به صورت رگه‌های سیلیسی طلدار گزارش شده است. کانی‌شناسی رگه‌های سیلیسی موجود در محدوده نقدوز شامل کوارتز، فلدسپات و به مقدار کم کلسیت و کانی‌های رسی است. کانه‌های مشاهده شده در رگه‌های سیلیسی عبارتند از روتیل، کالکوپیریت، پیریت، تنراهدریت، طلا، کوولیت، مالاکیت و هیدروکسیدهای ثانویه و آبدار آهن. در این میان پیریت کانه اصلی و کوارتز باطله غالب می‌باشد.

قسمت های شمالی محدوده مورد مطالعه در این پایان نامه نیز از مجموعه سنگهای اشفسانی با ترکیب حد واسط تا اسیدی آندزیتی تا ریولیتی و ریوداسیت تشکیل شده که تحت تأثیر تزریق توده های نفوذی با ترکیب حد واسط تا اسیدی مونزو گرانیت تا آلکالی گرانیت واقع شده و کل مجموعه توسط دایک های پورفیری با ترکیب اسیدی (ریوداسیتی) قطع شده است. طبق تصاویر ماهواره ای، این منطقه به شدت دگرسان از نوع آرژیلتی - سیلیسی بوده که محدوده نسبتاً وسیعی را می پوشاند و با توجه به شواهد و مشخصات زمین شناسی حاکی از وجود توده های گرانیتی پنهان در عمق می باشد.

از دگرسانی و دیگر شواهد زمین شناسی حاکم بر منطقه، متالوزنی طلای نوع اپی ترمال و کانی سازی های پورفیری از نوع مس - مولیبدن، طلا و کانی سازی پلی متال از نوع مس، طلا، نقره، سرب و روی در محدوده مورد مطالعه قابل پیش بینی است [۵ و ۶ و ۸].

در فصل چهارم با توجه به مطالب ارائه شده شرایط تشکیل کانی سازی تیپ مس پورفیری، مس و طلای پورفیری، مس و مولیبدن پورفیری و طلای اپی ترمال بررسی می گردد.

## **فصل چهارم:**

**بررسی و معرفی مدل‌های اکتشافی کانسارهای احتمالی منطقه مورد  
مطالعه**

## فصل چهارم

### بررسی و معرفی مدل‌های اکتشافی کانسارهای احتمالی منطقه مورد مطالعه

#### ۱-۴- مقدمه

احتمال موققیت یک پروژه اکتشافی تابع دو احتمال مستقل از یکدیگر است. یکی احتمال تشکیل و پیدایش کانساری از تیپ خاص در محیط زمین‌شناختی با ویژگی‌های معلوم و دوم احتمال کشف آن کانسار با استفاده از تکنولوژی معین. بالا بودن احتمال نوع اول به وسیله پدیده‌ها و فرآیندهای کانی‌سازی فعال در طبیعت کنترل می‌شود. بر عکس، کنترل احتمال نوع دوم در حیطه توانایی‌های مهندس اکتشاف معدن است. مدل‌سازی کانسارها توسط مهندسین اکتشاف با توجه به چگونگی پیدایش و تکوین مواد معدنی مختلف و مجموعه عواملی که سبب تشکیل کانسارها در مکان خاص می‌شوند، موجب افزایش احتمال کشف ذخایر معدنی می‌گردد [۳].

#### ۲-۴- مدل‌های کانی‌زایی حاکم در منطقه مورد مطالعه

همانطور که در فصل سوم اشاره گردید، زون اکتشافی ارسباران و نیز منطقه مورد مطالعه براساس ویژگی‌های زمین‌شناسی احتمال تشکیل تیپ‌های خاصی از کانسارها را دارا می‌باشد. در این منطقه با توجه به آثار شناخته شده معدنی، آلتراسیون، لیتولوژی و ... به طور عمده می‌توان انتظار وجود کانی‌سازی تیپ مس پورفیری، مس و طلای پورفیری، مس و مولیبدن پورفیری و طلای اپیترمال را داشت.

لذا جهت تعیین لایه‌های اکتشافی و تخصیص وزن به آنها بر حسب تأثیر در کانی‌زایی منطقه، ابتدا به توصیف خصوصیات کلی کانی‌زایی مدل‌های کانساری مذکور پرداخته می‌شود.

### ۴-۳-۴- کانسارهای تیپ مس پورفیری

تعریف: تمرکز هیپوژن کانی‌های سولفیدی مس (عمدتاً کالکوپیریت) در محیط‌های پورفیری به صورت افسان (در زمینه سنک) و رگجه‌های نازک (در سنک).

### ۴-۳-۱- محیط کانسار

سنگ درونگیر: پورفیری‌های تونالیتی تا مونزوگرانیتی یا سینیتی که به درون سنگ‌های دیگری از قبیل سنگ‌های گرانیتی، ولکانیکی، رسویی- آهکی نفوذ کرده باشد.

ساخت و بافت: پورفیری است و از فتوکریست‌هایی در زمینه میکرو آپلیتی (با ترکیب کوارتز و فلدسپات) تشکیل شده است.

محدوده سنی: عمدتاً سنوزوئیک و مزوژوئیک است، اما ممکن است در هر دوره‌ای یافت شود.

محیط تشکیل: بخش فوقانی توده‌های نفوذی که با مجموعه دایک‌ها و دودکش‌های برشی هم‌سن بوده و در آنها گسل‌های فراوانی یافت می‌شود، محیط مناسبی را جهت کانی زایی تشکیل می‌دهد. همچنین در بخش فوقانی گنبدهای باتولیتی نیز تشکیل می‌شود.

خاستگاه تکتونیکی: مناطق ریفتی همراه با ولکانیزم تیپ جزاير قوسی یا تیپ آندی در امتداد مرز صفحات همگرا، حرکات تکتونیکی در جهت قائم و فرسایش بعدی برای ایجاد رخنمون سنگ درونگیر ضروری است.

### ۴-۳-۲- توصیف کانسار

کانی‌شناسی: کالکوپیریت، پیریت، مولیبدنیت- کالکوپیریت، منیتیت، برنیت، طلا.

ساخت و بافت: رگجه‌های استوک ورکی و دانه‌های سولفیدی افسان.

### ۴-۳-۳- راهنمای اکتشافی

**دگرسانی:** از داخل به خارج شامل دگرسانی سدیک - کلسیک، پتاسیک، فیلیتی، ارزبلیتی و

پروپیلیتی است. دگرسانی نوع الومین شدید در قسمت فوقانی بعضی از توده‌ها یافت می‌شود.

**عوامل کنترل کننده:** توسعه رکدهای استوک ورکی در توده پورفیری و در همبری توده پورفیری.

**هوازدگی:** کربنات‌ها و سیلیکات‌های مس (آبی و سبز رنگ) در رخمنون‌های هوازده یا جایی که شستشو شدید است ظاهر می‌شود. رخمنون‌های تهی شده از مس باقی مانده و مس شسته شده به سمت پایین حرکت می‌کند تا به صورت سولفیدهای ثانوی تهذیب شود. در رخمنون‌های شستشو شده شکاف‌ها با لیمونت و هماتیت پر می‌شود. در توده‌های ثانوی سولفیدی، کالکوسیت جایگزین پیریت و کالکوپیریت می‌شود. خاک‌های تشکیل شده روی توده معدنی حاوی آنومالی‌های قابل ملاحظه‌ای از روتیل است.

**راهنمای ژئوشیمیابی:** این روش چه در کشف ذخایر پورفیری جدید و چه در توسعه ذخایری که

قبل‌اً کشف شده مفید می‌باشد. به این دلیل که:

۱- این تیپ ذخایر دارای ابعاد بزرگی هستند و هاله‌های دگرسانی آنها تا فواصل نسبتاً دور از ماده معدنی ادامه می‌یابد.

۲- چون دانستیه شکستگی‌ها در سنگ درونگیر آنها زیاد است، جریان آبهای سطحی اکسیژن‌دار به درون آنها به سهولت انجام می‌گیرد. این امر موجب می‌گردد تا محصولات حاصل از هوازدگی آنها به مناطق سطحی راه یافته و شواهد ژئوشیمیابی وجود کانسار را در اختیار بگذارد.

۳- فراوانی پیریت در این کانسارها و اکسیداسیون آن بوسیله آبهای سطحی اکسیژن‌دار موجب پیدایش شرایط اسیدی می‌شود. این شرایط موجب تحرک هرچه بیشتر مس شده و هاله‌های ثانوی گستره‌های را تولید می‌کند که کشف آنها حتی از طریق شبکه نمونه‌برداری با چگالی کم امکان‌پذیر است.

معمولًا آنومالی عناصر مس و مولیبدن در بخش مرکزی و روی، منگنز، نقره، سرب، کادیوم و بیسموت در بخش خارجی هاله دگرسانی قابل ثبت است. البته در مناطقی که هوازدگی شدید است بخصوص اگر شرایط اکسیدان در محیط حاکم باشد، ممکن است آنومالی مولیبدن قابل ثبت نباشد. موقعیت آنومالی‌های طلا در این مرحله می‌تواند در محدود کردن سیستم پورفیری مفید واقع شود. محلالعه فراوانی کانی‌های فرعی سنگ مانند آپاتیت و روتیل ممکن است در محدود کردن بیشتر سیستم پورفیری مفید واقع شود [۳].

#### ۴-۴- کانسارهای تیپ مس - طلا پورفیری

تعریف: تمرکز کانه‌های کالکوپیریت، برنتیت و منیتیت در رگچه‌های استوک ورکی درون سنگ‌های نفوذی پورفیری و سنگ‌های ولکانیک هم‌سن با آنها.

#### ۴-۱- محیط کانسار

سنگ درونگیر: نفوذی‌های تونالیتی تا مونزونیتی همراه با گدازه‌های آندزیتی یا داسیتی و همچنین توف‌های هم‌سن با سنگ‌های نفوذی آنها سنگ‌های درونگیر مناسبی می‌باشند. بعلاوه سری سینینیت تا مونزونیت و سنگ‌های کم‌تیتان و پرپتاسیم هم‌سن با آنها مانند شوشونیت‌ها می‌توانند محیط مناسبی باشند.

ساخت و بافت: نفوذی، پورفیری با دانه‌های ریز تا متوسط (آپلیتی).

محدوده سنی: کرتاسه تا کوارترنری.

محیط تشکیل: نفوذی، پورفیری که درون سنگ‌های ولکانیک هم‌سن خود نفوذ می‌کنند. هر دو واحد سنگی در مقیاس وسیع برشی می‌شوند و توده‌های پورفیری ممکن است دارای دایک‌های زیادی باشند.

#### **۴-۵- کانسارهای تیپ مس - مولیبدن پورفیری**

تعریف: تمکر کانه‌های کالکوپیریت و مولیبدنیت در رکچه‌های استوک ورکی درون یا در نزدیکی توده نفوذی پورفیری.

#### **۴-۱- محیط کانسار**

سنگ درونگیر: استوک‌های تونالیتی تا مونزونیتی، دودکش‌های برشی درون توده نفوذی و سنگ‌های ولکانیکی یا رسوبی محیط مناسبی جهت کانی‌زایی می‌باشدند.

ساخت و بافت: پورفیری با زمینه آپلیتی ریزدانه تا متوسط. بافت پرفیری ممکن است به دایک‌های کوچک محدود شده باشد.

محدوده سنی: عمدتاً مزوژوئیک تا ترشیری، ولی در هر دوره‌ای می‌تواند وجود داشته باشد.

محیط تشکیل: بخش فوقانی توده نفوذی پورفیری همراه با دایک‌های فراوان مکان مناسب را تشکیل می‌دهد. گسل‌ها و دودکش‌های برشی و گنبدهای باتولیتی نیز مناسب می‌باشند.

خاستگاه تکتونیکی: قوسهای پلوتو ولکانیک توسعه یافته در نواحی فرورانش، محیط حاشیه قاره‌ای و همچنین مرز صفحات همگرای اقیانوسی.

#### **۲-۵-۴- توصیف کانسار**

کانی‌شناسی: کالکوپیریت، پیریت، مولیبدنیت. در بخش رگه‌ای و یا جانشینی همراه با کالکوپیریت، اسفالریت، گالن و طلا. خارجی‌ترین منطقه ممکن است رگه‌هایی از سولفیدهای مس، نقره، آنتیموان، باریت و طلا داشته باشد.

ساخت و بافت: رگه‌های انتشاری یا جانشینی.

### ۴-۵-۳- راهنمای اکتشافی

**دگرسانی:** کوارتز، فلدوپات پتاسیم، بیوتیت (کلریت)، آنیدریت، بطرف خارج درجه دگرسانی به سمت پروپیلیتی میل می‌کند. مجموعه‌ای از کانی‌هایی با الومین بالا ممکن است در افق‌های بالاتر موجود باشد.

**عوامل کنترل کننده:** بطور کلی عیار کانسینگ همبستکی مثبتی با فاصله بین رکچه‌ها و شکستگی‌های کانی‌سازی شده دارد.

**راهنمای ژئوشیمیایی:** در مرکز توده، عناصر مس، مولیبden، نقره و تنگستن می‌توانند آنومالی ایجاد کنند. در ناحیه خارجی عناصر سرب، روی، طلا، آرسنیک، منگنز، تلویریم، پتاسیم و ربیدیم می‌توانند ایجاد آنومالی کنند. مقدار سولفور در همه زونها بالاست.

بدون شک روش ژئوشیمیایی برای کشف کانسارهای مس پورفیری، مس-طلای پورفیری و مس-مولیبden پورفیری یکی از موفقیت آمیزترین روش‌های اکتشافی است. دلیل این مدعای عبارت است از:

- ۱- مساحت زیاد رخمنون‌های هاله، کانسار و همچنین مناطق دگرسانی وابسته به آنها.
- ۲- در سنگ میزبان آنها سیستم درزهای شکستگی توسعه دارد و در نتیجه امکان دسترسی آب و اکسیژن به ماده معدنی سولفوری زیاد است. این امر احتمال توسعه هاله‌های ثانوی بزرگ را به همراه دارد.

- ۳- وجود هاله‌های پیریتی وسیع موجب پیدایش شرایط اسیدی در خلال هوازدگی شده و قابلیت تحرک عناصر کانساری را در فاز محلول شدت می‌بخشد.

در انتخاب نواحی مناسب برای اکتشاف کانسارهای مس-مولیبden پورفیری باید ملاحظات تکتونیک صفحه‌ای را در نظر داشت. پیدایش این تیپ کانسارها در دو محیط تکتونیکی شامل، زون فرورانش و ریف‌های پشت قوسی از احتمال بیشتری برخوردار است [۳].

## ۴-۶- کانسارهای طلای اپی ترمال

ذخایر طلای اپی ترمال (تیپ‌های کرید، کومستاک، سادو، چشم‌های آبگرم، کوارتر- آلونت) بیشتر به همراه سنگهای پیروکلاستیک اسیدی و حد واسط نوع کالک آلکالن دوران سوم، که در خارج از آب تشکیل شده‌اند، یافت می‌شوند. این ذخایر دارای وجود مشترکی می‌باشند که می‌تواند در مراحل مختلف اکتشاف، به عنوان راهنمای مورد استفاده قرار گیرند.

در این قسمت ابتدا به خصوصیات کلی ذخایر طلای اپی ترمال در اکتشافات ناحیه‌ای و نیمه تفصیلی پرداخته، سپس به تفصیل خصوصیات هریک از ذخایر طلای اپی ترمال بررسی می‌گردد.

## ۴-۶-۱- خصوصیات عمومی ذخایر طلای اپی ترمال

### ۴-۱-۶- مقیاس ناحیه‌ای

محیط‌های مناسب برای کانی‌سازی اپی ترمال شامل محیط‌های آذرین تکتونیکی همگرا و فعال از نظر ساختمانی است. پیدایش مکرر ذخایر اپی ترمال در محیط‌های تکتونیکی همگرا اهمیت آنها را افزایش داده است. بسیاری از چنین نواحی به عنوان مناطق امیدبخش در اولویت انتخاب قرار می‌گیرند. در پاسخ به این سوال که آیا در این نواحی کانی‌سازی اپی ترمال صورت گرفته است یا خیر، توزیع و گسترش سنگ‌های آتشفسانی چندان مهم نیست، بلکه توزیع و گسترش توده‌های نفوذی نیمه عمیق در زیرزمین به عنوان فراهم کننده انرژی حرارتی لازم برای سیستم اپی ترمال مهم است. بنابراین گسترش نواحی آذرین چه ولکانیکی و چه پلوتونیکی در ابتدا مشخص می‌گردد. در این مورد نواحی کالک‌آلکالن و آلکالن امید بخش‌ترین مناطق هستند. ذخایر اپی ترمال اساساً در عمق کم پوسته تشکیل می‌شوند، بنابراین مناطقی که عمق فرسایش زیاد است دارای اهمیت کمتری هستند. پس از تعیین مناطق امید بخش بر مبنای لیتولوژی و فرسایش، بررسی ساختمان مناسب موضوع بعدی است. مناطق ساختمانی مناسب ممکن است به کمک مجموعه‌ای از داده‌های ناحیه‌ای مشخص شوند. برای

مثال می‌توان از نقشه زمین‌شناسی یا نقشه مغناطیس هوایی و تصاویر ماهواره‌ای استفاده کرد. ساختمان‌های امیدبخش نظیر مناطق اطراف کالدرها و مناطق گسل خورده در این مجموعه مشخص می‌شوند. توزیع کانسارهای شناخته شده در ناحیه ممکن است به طور مستقیم نشان دهنده ساختمان‌های مساعد باشد. در مقیاس ناحیه‌ای فقط مناطق ساختمانی مناسب شناسایی می‌شوند.

#### ۴-۶-۲-۱- مقیاس نیمه تفصیلی

آثار دگرسانی هیدرولرمال که عموماً کانی‌سازی اپیترمال رادر برمی‌گیرد می‌تواند یک هاله وسیع اکتشافی را معرفی کند و نشان دهنده منطقه بسیار امیدبخش باشد. گسترش زیاد مناطق دگرسانی آرژیلیتی (۱۰ کیلومتر مربع) در سیستم‌های هیدرولرمال می‌تواند یک نقطه قوت و یک نقطه ضعف اکتشافی باشد. از یک طرف کشف مناطق امیدبخش را سهولت می‌بخشد زیرا مساحت آن وسیع است و با پروفیل‌های برداشت با فاصله زیاد می‌توان آن را کشف کرد. از طرف دیگر کشف محل ذخیره در آن به دلیل گسترش مساحت تحت پوشش پرهزینه می‌باشد. استفاده از عکس‌های هوایی، تصاویر ماهواره‌ای، برداشت‌های مغناطیس و رادیومتری هوایی و تکنیک سنجش از دور همگی می‌توانند در تشخیص مکان‌هایی با دگرسانی هیدرولرمال مورد استفاده قرار گیرند.

روش ژئوشیمیابی تنها روش مستقیمی است که می‌تواند برای کشف محل کانی‌سازی اپیترمال به طور مؤثر به کار بrede شود. در این مرحله بررسی عوامل ساختمانی نیز مفید است. معمولاً اطلاعات مفیدی از تفسیر نقشه‌های ژئوفیزیک هوایی، تصاویر ماهواره‌ای، عکس‌های هوایی و حتی نقشه‌های توپوگرافی می‌تواند بدست آید [۳].

#### ۴-۶-۲- کانسارهای تیپ رگه‌ای اپی‌ترمال کرید (کوارتز - آدولاریا)

تعریف: تمرکز کانه‌های گالن، اسفالریت، کالکوپیریت، نمک‌های سولفوره، تلوریدها و طلا در رگه‌های کوارتز - کربنات موجود در سنگ‌های آتشفشانی فلزیک تا متوسط.

#### ۴-۶-۲-۱- محیط کانسار

سنگ درونگیر: آندزیت، داسیت، کوارتز لاتیت، ریوداسیت، ریولیت و همچنین سنگ‌های رسوبی همراه آنها سنگ درونگیر مناسبی هستند. کانی‌سازی در ارتباط با فعالیت‌های کالکوالگالن است. ساخت و بافت: پرفیری است.

محدوده سنی: عموماً ترشیری است، اغلب در دامنه ۴ تا ۲۹ میلیون سال می‌باشد. محیط تشکیل: آتشفشان‌های کالکوالگالن محیط مناسبی هستند، بخصوص وقتی که منجر به تحرک سیالات غنی از نمک شوند.

خاستگاه تکتونیکی: مناطقی با شکستگی‌های متقطع، گسل‌های نرمال اصلی، شکستگی‌های وابسته به گنبدی شدن، مناطقی با شکستگی‌های حلقوی، درزهای مرتبط با سیستم کالدرا.

#### ۴-۶-۲-۲- توصیف کانسار

کانی‌شناسی: کانی‌ها شامل گالن، اسفالریت، کالکوپیریت، سولفات‌های مس، سولفات‌های نقره، طلا، تلوریدها، برنتیت، آرسنوبیریت است. گانگ شامل کوارتز، کلریت، کلسیت، پیریت، رودوکروزیت، باریت، فلوئوریت، سیدریت، آنکریت، سریسیت، آدولاریا، کائولینیت است. اسپکیولاریت و آلونیت ممکن است یافت شود.

ساخت و بافت: رگه‌های نواری، پرشده‌گی فضاهای خالی، کوارتز لامینه‌ای، استوک ورکی و کلوفرم معمول است.

### ۴-۶-۳- راهنمای اکتشافی

**دگرسانی:** از بالا به پایین شامل (۱) کوارتز، کانولینیت، مونتموریونیت، زنولیت، باریت، کلسیت (۲) کوارتز، ایلیت (۳) کوارتز، آدولاریا، ایلیت (۴) کوارتز، کلریت می‌باشد. پیدایش آدولاریا حالت ثابتی ندارد.

**عوامل کنترل کننده:** زون‌هایی با شکستگی‌های متقطع فراوان.

**هوازدگی:** سنگ‌های مناطق اطراف آن به علت شستشوی شیمیائی داری رنگ روشن تری می‌باشند. گوتیت، ژاروسیت و آلونیت حاصل از فرآیندهای سوپرژن نیز یافت می‌شود. قابل توجه است که هوازدگی در افزایش عیار ماده معدنی مؤثر است.

### ۴-۶-۳- کانسارهای تیپ رگه‌ای اپیترمال کومستاک

**تعریف:** تمرکز طلا، الکتروم، نمک‌های سولفوره نقره و آرژانتیت در رگه‌های کوارتز- آدولاریا موجود در سنگ‌های آتشفسانی اسیدی تا متوسطی که غالباً در روی سنگ‌های رسوبی تخریبی و یا سنگ‌های دگرگونی هم ارز آنها تشکیل می‌شود.

### ۴-۶-۱- محیط کانسار

**سنگ درونگیر:** شامل آندزیت، داسیت، کوارتز لاتیت، ریوداسیت، ریولیت و همچنین سنگ‌های رسوبی مرتبط با آنهاست. کانی‌سازی در ارتباط با فعالیت‌های آتشفسانی کالکوآلکالن است. ساخت و بافت: پرفیری است.

**محدوده سنی:** عموماً ترشیری است. اغلب آنها بین  $\frac{3}{7}$  تا  $40$  میلیون سال سن دارد. **محیط تشکیل:** آتشفسان‌های کالکوآلکالن محیط مناسبی برای تشکیل آنهاست.

**خاستگاه تکتونیکی:** مناطقی با شکستگی‌های متقطع، گسل‌های نرمال بزرگ، شکستگی‌های مرتبط با ساختمان کنبدی و شکستگی‌های حلقوی خاستگاه مناسبی است.

#### ۴-۳-۲- توصیف کانسار

**کانی‌شناصی:** آرژانتیت، طلا یا الکتروم، نمک‌های سولفوره نقره، گالن، اسفالریت، کالکوپیریت، تلوریدها، هماتیت و آرسنوبیریت به مقدار کم تا متوسط یافت می‌شوند. کانی‌های باطله شامل کوارتز، آدولاریا کلسیت، سریسیت و کلریت است. باریت، فلوریت، رودوکروزیت، کائولینیت و مونتموریونیت نیز به مقدار کم تا متوسط یافت می‌شود.

**ساخت و بافت:** رگ‌های نواری، پرشدگی فضاهای باز و ساخت استوک ورکی دیده می‌شود.

#### ۴-۳-۳- راهنمای اکتشافی

**دگرسانی :** از بالا به طرف پایین شامل (۱) کوارتز، کائولینیت، مونتموریونیت، زئولیت، باریت، کلسیت (۲) کواتز، ایلیت (۳) کوارتز، آدولاریا، ایلیت (۴) کوارتز، کلریت می‌باشد. پیدایش آدولاریا حالت متغیری دارد.

**عوامل کنترل کننده:** زون‌هایی با شکستگی‌های متقطع و مرکز فعالیت‌های نفوذی برای کانی‌سازی مساعدتر است.

**هوازدگی:** سنگ‌های مناطق اطراف آن بعلت شستشوی شیمیایی رنگ روشن‌تری دارند و کانی‌های لیمونیت، ژاروسیت، گوتیت، آلونیت و هماتیت همراه با کائولینیت (آرژیلیتی) یافت می‌شود.

**راهنمای ژئوشیمیایی:** یکی از سه مجموعه آنومالی عناصر(۱) طلا- آرسنیک- آنتیموان- جیوه (۲) طلا- آرسنیک- مس و (۳) طلا- نقره- سرب- مس توسعه می‌یابد. تلور و تنگستن ممکن است آنومالی نشان دهد. از نظر منطقه‌بندی آنومالی‌های ژئوشیمیایی می‌توان ترکیب زیر را معرفی کرد:

در مناطق نزدیک سطح : Tl, Au, Sb, As, Hg

در مناطق نیمه عمیق خارجی : Zn, Pb, Cu

در مناطق نیمه عمیق داخلی :  $\pm$  Te, Au, As, Cu

در مناطق عمیق :  $\pm$  W,  $\pm$  As

#### ۴-۶-۴- کانسارهای تیپ رگه‌ای اپیترمال سادو

تعریف: تمرکز طلا، کالکوپیریت، نمک‌های سولفوره و آرژانتیت در رگه‌های موجود در سنگ‌های آتشفسانی اسیدی تا متوسطی که روی سکانس‌های آتشفسانی یا توده‌های نفوذی قدیمی‌تر قرار می‌گیرند.

#### ۴-۶-۱- محیط کانسار

سنگ درونگیر: آندزیت، داسیت، کوارتز لاتیت، ریوداسیت، ریولیت و سنگ‌های رسوبی مرتبط با آنها مساعد می‌باشند. کانی‌سازی در آنها با آتشفسان‌های کالکوآلکالن مرتبط است.

ساخت و بافت: پرفیری است.

محدوده سنی: عمدتاً ترشیری است، اغلب آنها بین ۳۸-۵ میلیون سال سن دارد.

محیط تشکیل: در مواردی که آتشفسان‌های کالکوآلکالن و توده‌های نفوذی مرتبط با آنها در روی سکانس‌های ولکانیکی ضخیم قدیمی‌تر و یا توده‌های نفوذی بزرگ (با تولیت‌ها) توسعه یابند، محیط مناسب برای تشکیل آنها حاصل می‌شود.

خاستگاه تکتونیکی: مناطقی با شکستگی‌های متقطع فراوان، گسل‌های نرمال بزرگ، شکستگی‌های مرتبط با ساختمان‌های گنبدی و شکستگی‌های حلقوی خاستگاه مناسبی است.

#### ۴-۶-۲- توصیف کانسار

کانی شناسی: طلا، آرانتیت، الکتروم، کالکوپیریت، نمکهای سولفوره و تلوریدها به مقدار کم تا متوسط یافت می‌شود. کالن و اسفالریت به حالت پراکنده دیده می‌شود. کانی‌های باطله شامل کوارتز، پیریت، آدولاریا، کلسیت است. در بین کانی‌های باطله کلسدونی، آدولاریا، کائولینیت، رودوکروزیت، کلریت، سریسیت و باریت نیز ممکن است یافت شود.

ساخت و بافت: رگه‌های نواری، پرشدگی فضاهای خالی و ساخت استوک ورکی و دودکش برشی دیده می‌شود.

#### ۴-۶-۳- راهنمای اکتشافی

دگرسانی: در منطقه سیلیسی شده کانی‌های کوارتز، کائولینیت، مونتموریونیت و آلونیت معمول است. دگرسانی پروپیلیت ممکن است یافت شود.

عوامل کنترل کننده: مناطقی با شکستگی‌های متقطع، گسل‌های نرمال بزرگ، شکستگی‌های مرتبط با ساختمان‌های گنبدی، شکستگی‌های حلقوی و گسترش درزهای از عوامل مثبت هستند.

هوازدگی: کانی‌های لیمونیت، هماتیت، گوتیت، ژاروسیت، آلونیت و آرژیلیتی شدن همراه با پیدایش کائولینیت معمول است.

راهنمای ژئوشیمیایی: آنومالی عناصر طلا و نقره یا طلا، نقره و مس قابل ثبت است. از نظر منطقه‌بندی آنومالی‌های ژئوشیمیایی، می‌توان ترتیب زیر را معرفی کرد :

در مناطق نزدیک سطح: Tl, Au, Sb , As , Hg

در مناطق نیمه عمیق خارجی: Zn, Pb, Cu

در مناطق نیمه عمیق داخلی:  $\pm$  Te, Au, As, Cu

در مناطق عمیق:  $\pm$  W,  $\pm$  As, Cu

#### **۴-۶-۵- کانسارهای تیپ طلا اپیترمال کوارتز - آلونیت**

**تعریف:** تمرکز طلا، پیریت و آنارژیت در رکه‌های پراکنده و برش‌های موجود در مناطق دگرسانی پرآلومین مرتبط با آتشفسان‌های فلسيك.

#### **۴-۶-۵-۱- محیط کانسار**

**سنگ درونگیر:** شامل سنگ‌های ولکانیکی داسیت، کوارتز لاتیت، ریوداسیت و ریولیت است. به صورت نفوذی، نفوذهای نیمه عمیق یا گنبدهای شکل نیز دیده می‌شود.  
**ساخت و بافت:** پرفیری است.

**محدوده سنی:** بطور کلی ترشیری است ولی ممکن است در هر دوره‌ای یافت شود.  
**محیط تشکیل:** درون ساختمان‌های بزرگ ولکانیکی، بخصوص منطقه شکستگی‌های حلقوی در کالدارها یافت می‌شود. مناطقی که در آن رسوبات تبخیری گسترش دارند و در پی سنگ آنها فعالیت‌های نفوذی صورت می‌گیرد نیز محیط مناسبی برای تشکیل این تیپ می‌باشد.

**خاستگاه تکتونیکی:** مناطقی با شکستگی‌های متقطع، ساختمان‌های گرانبی، مناطقی با شکستگی‌های حلقوی، گسل‌های نرمال و شکستگی‌های مرتبط با ساختمان‌های گنبدهای خاستگاه مناسبی است.

#### **۴-۶-۵-۲- توصیف کانسار**

**کانی‌شناسی:** طلا ازاد، آنارژیت، پیریت، نمک‌های سولفوره نقره، کالکوپیریت، برنیت، تلوپیدهای فلزات گرانبهای، گالن، اسفالریت، هوبریت.

**ساخت و بافت:** ساختهای رگه‌ای، دودکش‌های برشی، انبانی دیده می‌شود. رگه‌های جانشینی اغلب متخلخل است.

#### ۴-۵-۳- راهنمای اکتشافی

دکرسانی: مجموعه دکرسانی معرف بالاترین دما شامل کانی‌های کوارتز، آلونیت و پیرووفیلیت است که همراه دکرسانی شدید سنگ میزبان دیده می‌شود. در این منطقه ممکن است کرندوم، دیاسپور و آندالوزیت یافت شود. اطراف این منطقه را یک منطقه دیکر با ترکیب کانی‌شناسی کوارتز، آلونیت، کانولینیت و مونتموریونیت احاطه می‌کند. در منطقه دکرسانی پروپیلیتی کانی‌های کلریت و کلسیت ممکن است یافت شود.

عوامل کنترل کننده: وجود مناطقی با شکستگی‌های متقطع، مرکز فعالیت‌های نفوذی، قسمت‌های بالایی و خارجی سیستم‌های مس پورفیری از عوامل کنترل کننده هستند.

هوازدگی: پیدایش فراوان لیمونیت‌های زردرنگ همراه با ژاروسیت، گوتیت و کانولینیت. رگه‌های آلونیتی سفیدرنگ نیز یافت می‌شود.

راهنمای ژئوشیمیایی: پیدایش آنومالی عناصر طلا، آرسنیک و مس معمول است. آنومالی فلزات پایه در عمق ظاهر می‌شوند. تلور و تنگستن نیز ممکن است در حد آنومالی باشد [۳].

#### ۴-۷- تعیین پارامترهای کانی‌زاویی

بر اساس مدل‌های اکتشافی ارائه شده به طور کلی می‌توان پارامترهای کانی‌زاویی را به چهار بخش ساختار، منبع حرارتی، سنگ میزبان و فرآیندهای کانی‌زاویی مناسب برای تشکیل هر تیپ کانسار، تقسیم بندی نمود. تعیین پارامترهای کانی‌زاویی با توجه به مدل اکتشافی ارائه شده، با استفاده از لایه‌های اطلاعاتی زمین‌شناسی، ژئوشیمیایی، نقاط معدنی، ژئوفیزیک هوایی و دورسنجی به صورت مستقیم و قطعی و یا غیرمستقیم و مشکوک تعیین می‌گردد. پارامترهای مذکور با توجه به درجه لزوم و اهمیت آنها در تشکیل تیپ خاص کانی‌زاویی، اولویت بندی و وزن‌دهی می‌گردند [۱۴].

با توجه به اطلاعات و لایه‌های اکتشافی موجود از منطقه و خصوصیات مدل‌های اکتشافی ارائه شده در این فصل، جهت مدل‌سازی و تعیین نقشه‌های امیدبخش معدنی دو نوع کانی‌زاپی مس پورفیری و طلای اپی‌ترمال تعیین گردید. پارامترهای کانی‌زاپی بر اساس مدل‌های اکتشافی ارائه شده تعیین، سپس وزن‌های لازم به داده‌های اکتشافی در GIS تخصیص داده شد که این موارد در فصل‌های بعدی بیشتر توضیح داده خواهد شد.

## فصل پنجم:

آماده سازی و پردازش داده های اکتشافی منطقه مطالعاتی

## فصل پنجم

### آماده سازی و پردازش داده‌های اکتشافی منطقه مطالعاتی

#### ۱-۵- مقدمه

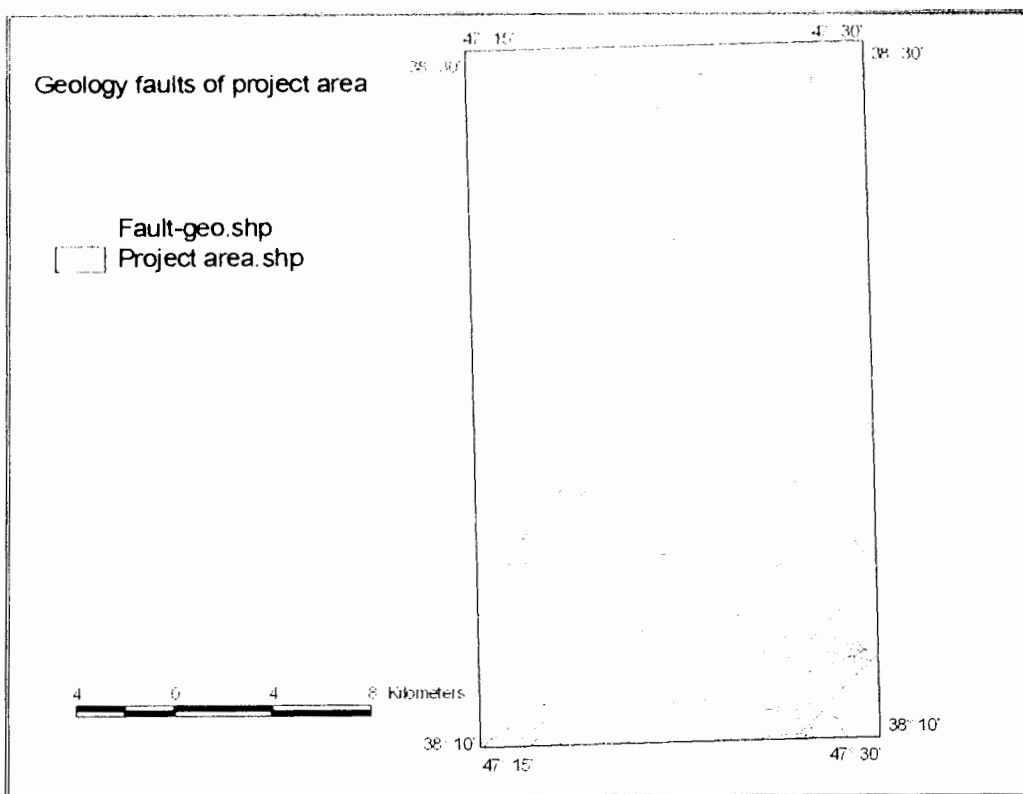
در اکتشافات سیستماتیک ناحیه‌ای، مدل‌سازی پتانسیل کانی‌زایی در یک منطقه براساس تلفیق داده‌های مختلف مانند زمین‌شناسی، ژئوشیمیایی، تصاویر ماهواره‌ای، ژئوفیزیک هوایی و آثار نشانه‌های معدنی شناخته شده در منطقه انجام می‌پذیرد.

با توجه به اینکه اطلاعات خام موجود به صورت مستقیم در مدل‌سازی قابل استفاده نمی‌باشد، لذا این داده‌ها طبق تیپ‌های کانی‌زایی مورد انتظار، پس از جمع آوری با اعمال فرایندهایی و با استفاده از نرم‌افزارهای ویژه برای مدل‌سازی‌های بعدی، آماده سازی و پردازش می‌گردند [۱۴].

#### ۲-۵- آماده سازی و پردازش داده‌های زمین‌شناسی

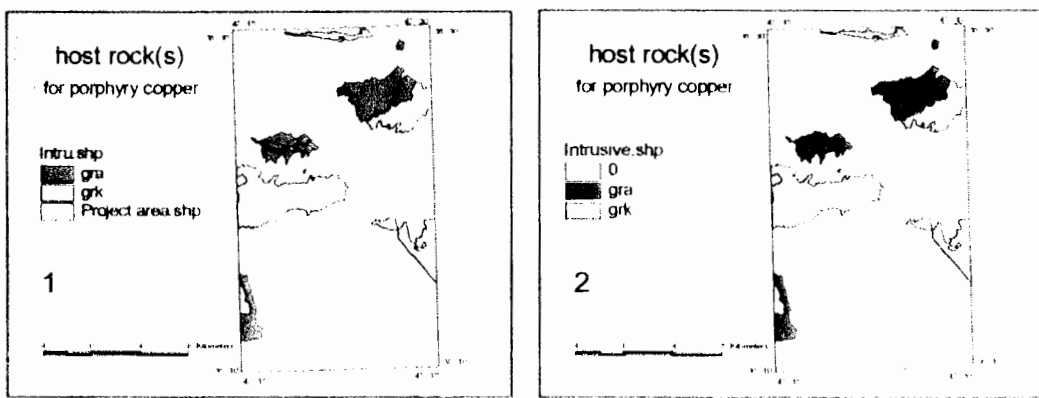
آماده سازی داده‌ها، شامل رقومی نمودن نقشه‌های زمین‌شناسی است. با توجه به اینکه نقشه زمین‌شناسی اهر به صورت رقومی موجود بود، فقط در جدول اطلاعاتی فایل رقومی آن دو ستون یکی توصیف واحدهای زمین‌شناسی و دیگری سن واحدها اضافه گردید. سپس محدوده مورد مطالعه که قسمتی از نقشه زمین‌شناسی ...<sup>۱</sup>/۱۰۰ اهر می‌باشد، در نرم افزار ArcView جدا و انتخاب گردید.

گسل‌های زمین‌شناسی نیز از روی تصویر اسکن شده نقشه زمین‌شناسی توسط نرم‌افزار ArcGIS رقومی گردید. شکل (۱-۵) گسل‌های زمین‌شناسی منطقه را نشان می‌دهد.



شکل (۱-۵): گسل‌های زمین‌شناسی منطقه مطالعاتی

پس از آماده‌سازی داده‌ها، در مرحله بعدی واحدهای خاص زمین‌شناسی از جمله سنگ میزبان و سایر واحدهای وابسته، به طور مثال واحدهای فراهم کننده انرژی حرارتی برای سیستم اپی‌ترمال انتخاب شدند. این امر با توجه به نوع کانی سازی در منطقه و روش ترکیب اطلاعات و نوع مدل‌سازی در GIS صورت می‌گیرد (فصل ششم). سپس واحدهای انتخاب شده با پلیگون ناحیه مورد مطالعه با استفاده از دستور union در ArcView ترکیب شده تا نقشه دوتابی یا چند کلاسه نهایی شامل مناطق مساعد و غیرمساعد حاصل گردد. این کار برای تمامی داده‌های اکتشافی جهت تلفیق آنها با یکدیگر ضروری است. شکل (۲-۵) این امر را نشان می‌دهد.



شکل (۲-۵): ترکیب دو لایه اطلاعاتی جهت تهیه یک لایه واحد

تصویر ۱ از شکل (۲-۵) نشان دهنده دو لایه سنگ‌های نفوذی منطقه (Intru.shp) و لایه محدوده مورد مطالعه (Project area.shp) می‌باشد. جهت مدلسازی مناطق امید بخش کانی‌زایی و وزن‌دهی به داده‌های اکتشافی، لایه‌های اطلاعاتی باید با لایه محدوده مطالعاتی ترکیب تا مناطق مستعد و غیر مستعد در کادر مربوط به محدوده مطالعه مشخص باشد. در تصویر ۲ دو لایه فوق با هم ترکیب و به صورت یک لایه ترکیبی (Intrusive.shp) نشان داده شده است به طوری که مناطقی از محدوده مطالعاتی که فاقد سنگ‌های نفوذی هستند، با کد صفر مشخص گردیده است.

### ۳-۵-آماده سازی و پردازش داده‌هایمعدنی

اطلاعات مختلف معدنی شامل نشانه‌های معدنی و معادن موجود به همراه ویژگی‌های سنگ میزبان و ماده معدنی از گزارش‌های موجود جمع‌آوری گردید.

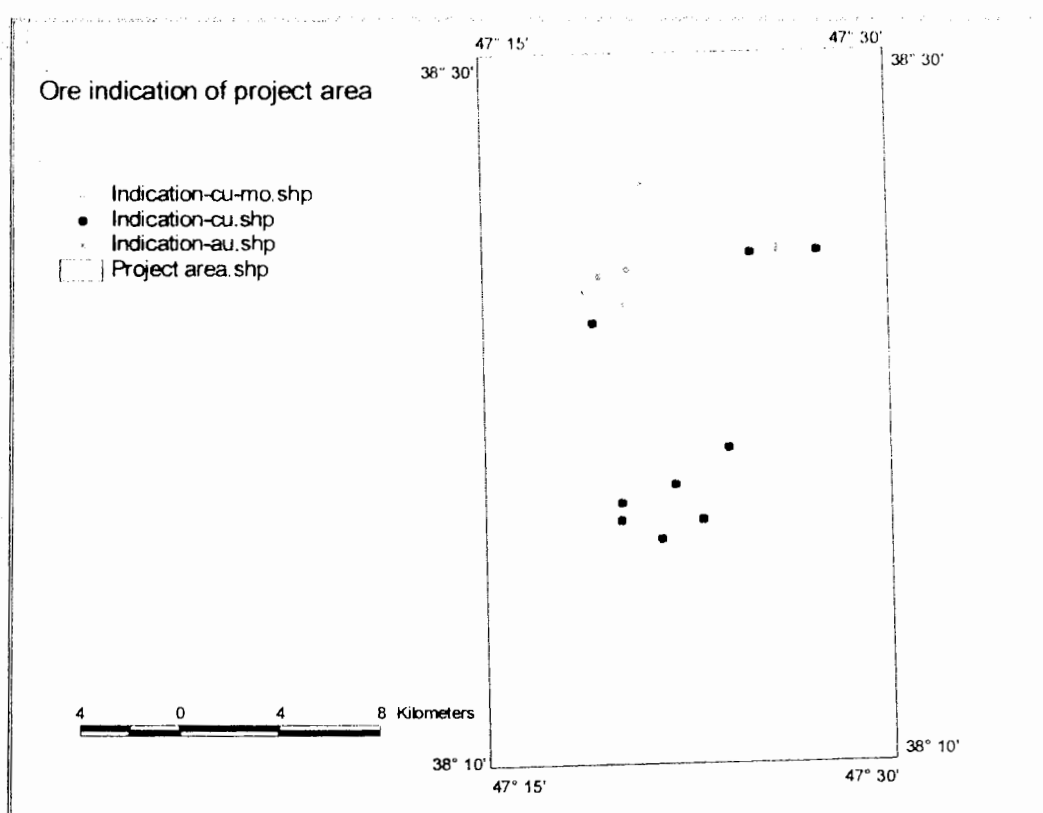
این نقاط به صورتی که در جدول (۱-۵) دیده می‌شود در نرم افزار Excel تنظیم، سپس با استفاده از دستور Add Event Them در نرم افزار ArcView به فایل رقومی قابل استفاده در نرم‌افزار تبدیل شده است.

لازم به یادآوری است چون که مختصات نقاط بر اساس طول و عرض جغرافیایی آنها بوده، لذا بعد از بدست آمدن فایل مذکور دوباره یک تغییر سیستم مختصاتی به UTM انجام شد و لایه نهایی بر حسب مختصات UTM به صورت شکل (۳-۵) بدست آمد.

لازم به یادآوری است که در این پایان‌نامه سیستم مختصات انتخابی برای لایه‌های اطلاعاتی در نرم‌افزار ArcView، سیستم UTM در نظر گرفته شد.

جدول (۱-۵): مشخصات نقاط معدنی محدوده مورد مطالعه [۵ و ۸]

سنگ میزان	اندیس	عرض جغرافیایی	طول جغرافیایی	اندیس های معدنی
دانسیت و ایگنمنبریت				(Sarlakhlu1) سرلاخلو۱
توف داسیتی تا ریوداسیتی، آندزیت و تراکی آندزیت	Cu	38° 17' 30"	47° 20' 00"	(Sarlakhlu2) سرلاخلو۲
توف داسیتی تا ریوداسیتی، آندزیت و تراکی آندزیت	Cu	38° 18' 00"	47° 22' 00"	(Sarlakhlu3) سرلاخلو۳
توف داسیتی تا ریوداسیتی، آندزیت و تراکی آندزیت	Cu	38° 19' 00"	47° 24' 00"	(Sarlakhlu4) سرلاخلو۴
توف داسیتی تا ریوداسیتی، آندزیت و تراکی آندزیت	Cu	38° 17' 00"	47° 23' 00"	(Sarlakhlu5) سرلاخلو۵
گرانیت، مونزونیت، توف	Cu	38° 22' 30"	47° 19' 00"	(Qaleh Bashi)
توف، لاوی بازی	Cu	38° 29' 00"	47° 05' 00"	(Dizej Chalu) دیزج چالو
نقلین سبینیت، کنگلومرا و تراورتن	Cu	38° 04' 00"	47° 19' 00"	(Dochan) دوچان
نقلین سبینیت، کنگلومرا و تراورتن	Cu	38° 05' 00"	47° 19' 00"	(Razgah) رزگاه
گرانیت، مونزونیت، توف	Cu	38° 29' 00"	47° 09' 00"	(Sarghein) سرگین
توف داسیتی تا ریوداسیتی، آندزیت و تراکی آندزیت	Cu	38° 17' 00"	47° 20' 00"	(Sarlakhlu) سرلاخلو
گرانیت و مونزونیت	Cu	38° 24' 25"	47° 25' 00"	(Niaz) نیاز
گرانیت و مونزونیت	Cu	38° 24' 27"	47° 27' 22"	(khanbaz1) خانباز۱
گرانیت و مونزونیت	Cu-Mo	38° 24' 30"	47° 26' 00"	(Khanbaz) خانباز
آندزیت و تراکی آندزیت پورفیری	Cu-Mo	38° 20' 00"	47° 13' 00"	(Andab Jadid) انداب جدید
ریولیت، ریوداسیت	Au	38° 26' 23"	47° 20' 52"	(Zaglik) زاگلیک
مونزوگرانیت	Au	38° 23' 23"	47° 18' 42"	(Yosef loo) یوسف لو
مونزوگرانیت	Au	38° 23' 49"	47° 19' 16"	(Safi khanlu) صفوی خانلو
مونزوگرانیت	Au	38° 24' 00"	47° 20' 22"	(Nogdoz) نقدوز
مونزوگرانیت	Au	38° 23' 04"	47° 20' 13"	(Nogdoz) نقدوز
گرانیت، گرانوپوریت	پلیمتال	38° 19' 00"	47° 28' 00"	(Anzan) انزان



شکل (۳-۵): نقشه نشانه‌های معدنی محدوده مطالعاتی

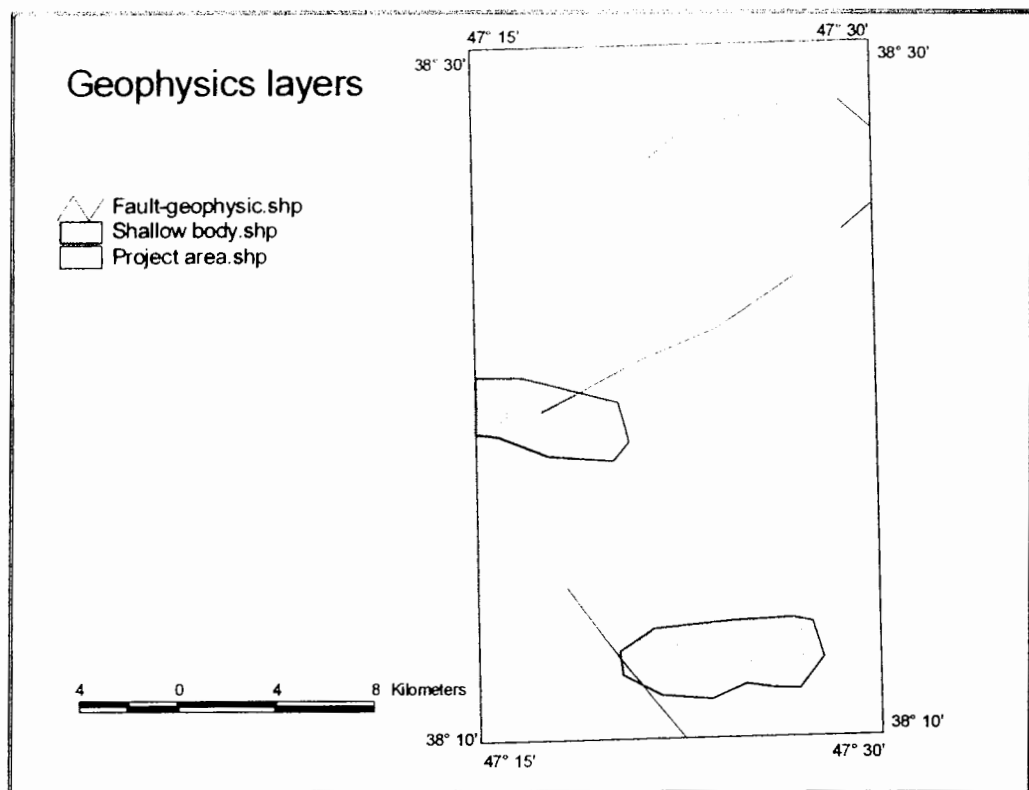
#### ۴-۵- آماده سازی و پردازش داده های ژئوفیزیک هوایی

اطلاعات ژئوفیزیک هوایی موجود در زون اهر - ارسباران شامل دو سری داده می‌باشد:

اولی اطلاعاتی که فقط شامل داده‌های مغناطیسی بوده و بین سال‌های ۱۹۷۴ و ۱۹۷۷ میلادی جهت بدست آوردن اطلاعات بیشتری از تکتونیک و زمین‌شناسی ناحیه‌ای ایران با فاصله خطوط پرواز ۷/۵ کیلومتر انجام گرفته است. دومی اطلاعات محلی شامل داده‌های مغناطیسی و رادیومتری که در سال‌های ۱۹۷۷ و ۱۹۷۸ برای سازمان انرژی اتمی کشور تهیه شده است.

از اطلاعات ناحیه‌ای عمدتاً برای تعیین ساختارهای خطی و حلقوی استفاده می‌شود و از اطلاعات محلی علاوه بر تعیین ساختارها، مناطق آلترا شده نیز تعیین می‌گردد.

در محدوده مورد مطالعه فقط اطلاعات ناحیه‌ای موجود بوده که این اطلاعات توسط گروه ژئوفیزیک هواپی تفسیر و به صورت دو فایل شامل گسل‌ها و توده‌های نفوذی نیمه عمیق<sup>۱</sup> ارائه شد. این اطلاعات در شکل (۴-۵) نشان داده شده است.



شکل (۴-۵): گسل‌ها و توده‌های نفوذی نیمه عمیق استخراج شده از داده‌های ژئوفیزیک هواپی

لایه مربوط به توده‌های نفوذی نیمه عمیق که به صورت خطی<sup>۲</sup> بود، بعد از تبدیل به حالت پلیگون<sup>۳</sup> با لایه محدوده مطالعاتی ترکیب شد تا برای مدل‌سازی قابل استفاده گردد.

<sup>1</sup> - Shallow body

<sup>2</sup> - Poly line

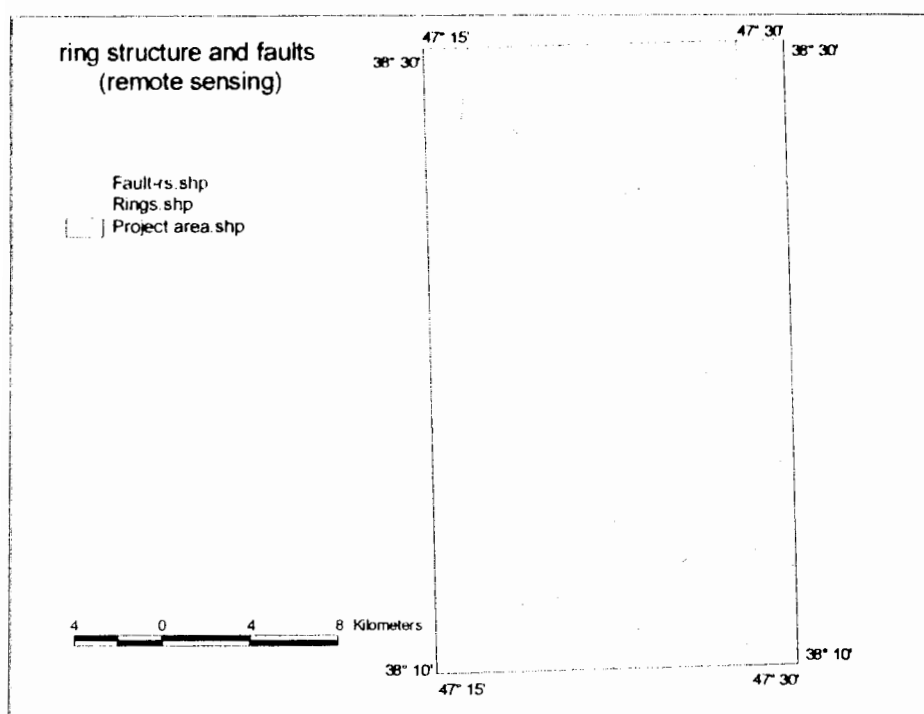
<sup>3</sup> - Polygon

## ۵-۵-آماده سازی و پردازش داده های ماهواره ای

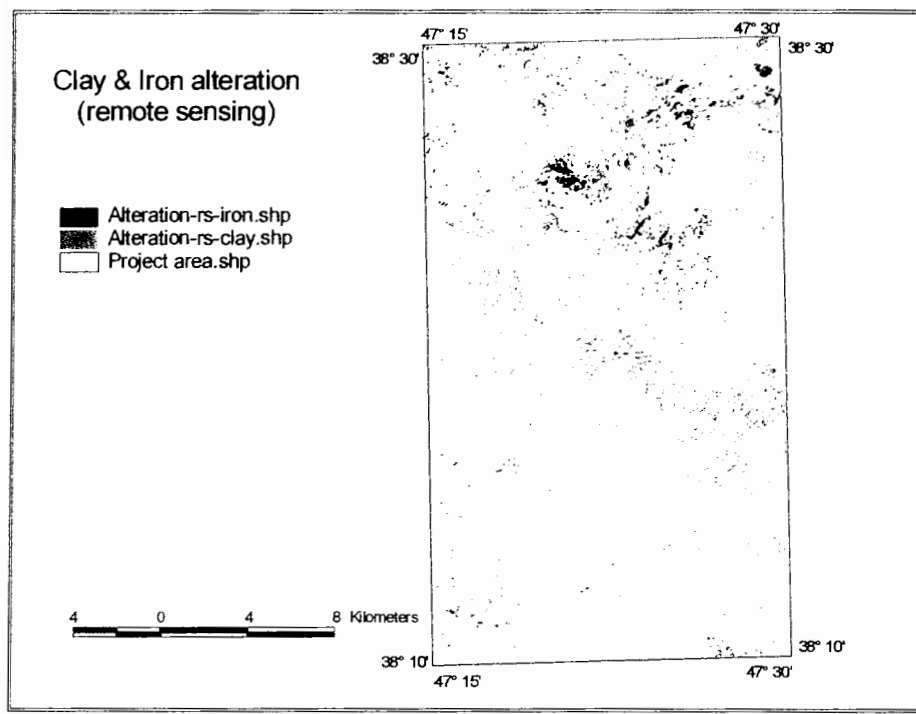
برای این منطقه از تصاویر سنجنده ETM ماهواره لنdest استفاده شده است. شکل (۵-۵) تصویر ماهواره‌ای محدوده نقشه زمین‌شناسی ...، اهر و محدوده مطالعاتی که با کادر مشخص شده است را نشان می‌دهد. اطلاعات مربوط به این تصاویر توسط گروه دورسنجی سازمان زمین‌شناسی کشور استخراج گردید که شامل نواحی آلتراسیون رسی، آلتراسیون اکسید آهن و ساختارها (گسل‌ها و ساختارهای حلقوی) می‌باشد. شکل‌های (۶-۵) و (۷-۵) این ساختارها و مناطق را نشان می‌دهد. اطلاعات مربوط به آلتراسیون‌ها پس از دریافت از گروه دورسنجی در نرم افزار ArcGIS به صورتی که در نرم افزار ArcView قابل استفاده گردد، تبدیل و برای کار مدل‌سازی آماده شد. لایه ساختارهای حلقوی نیز پس از تبدیل به پلیگون با لایه محدوده مطالعاتی ترکیب و برای کارهای بعدی آماده گردید.



شکل (۵-۵): تصویر ماهواره‌ای نقشه ...، اهر و محدوده مطالعاتی که با کادر مشخص شده است



شکل (۶-۵): گسل‌ها و ساختار حلقوی استخراج شده از تصاویر ماهواره‌ای

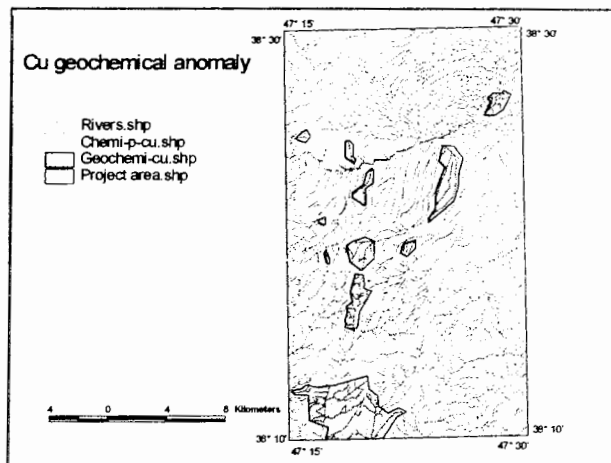


شکل (۷-۵): مناطق آتراسیونی استخراج شده از تصاویر ماهواره‌ای

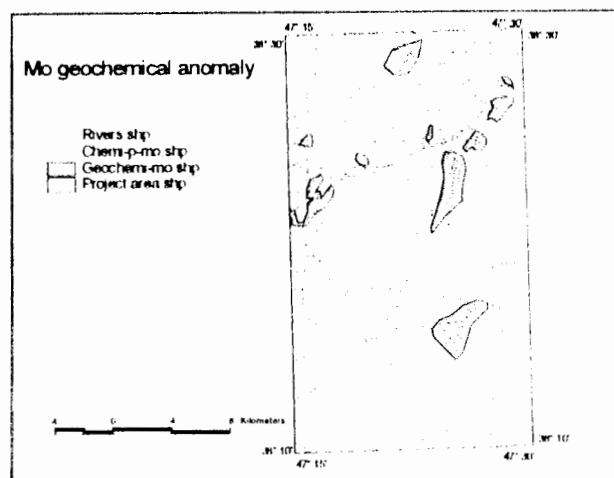
## ۶-۵-آماده سازی و پردازش داده های ژئوشیمیایی

داده های ژئوشیمیایی، مربوط به رسوبات آبراهه ای بودند که به صورت خام برای چند عنصر خاص مس، مولیبدن، طلا، نقره، ارسنیک، انتیموان، سرب و روی از گروه ژئوشیمی سازمان زمین شناسی کشور دریافت شد. ابتدا این داده ها در نرم افزار SPSS 13.0 مورد تجزیه و تحلیل قرار گرفت و نمودارهای P-P و Boxplot برای هر یک از عناصر رسم گردید. مقادیر خارج از رده برای هر عنصر جایگزین شده و در نهایت مقادیر بالاتر از  $\bar{x} + 2s$  به عنوان آномالی در نظر گرفته شد که  $\bar{x}$  میانگین و  $s$  انحراف معیار داده ها می باشد [۴]. سپس با توجه به نقشه آبراهه های موجود منطقه، توسط نرم افزار ArcGIS حوزه آبریز هر نمونه آnomال ترسیم گردید.

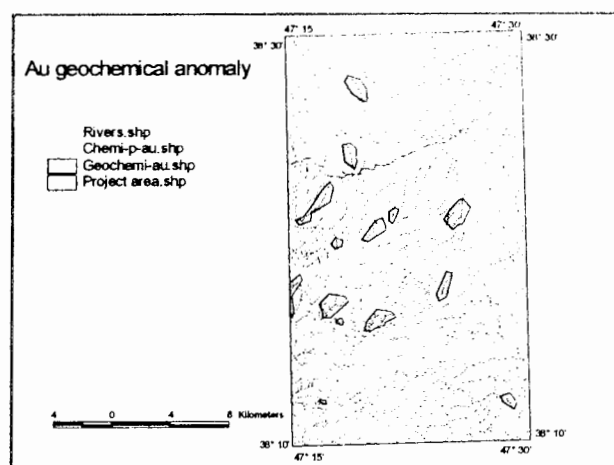
شکل های (۸-۵)، (۹-۵)، (۱۰-۵)، (۱۱-۵)، (۱۲-۵)، (۱۳-۵)، (۱۴-۵) و (۱۵-۵) آnomالی ژئوشیمیایی عناصر مذکور در بالا را نشان می دهد.



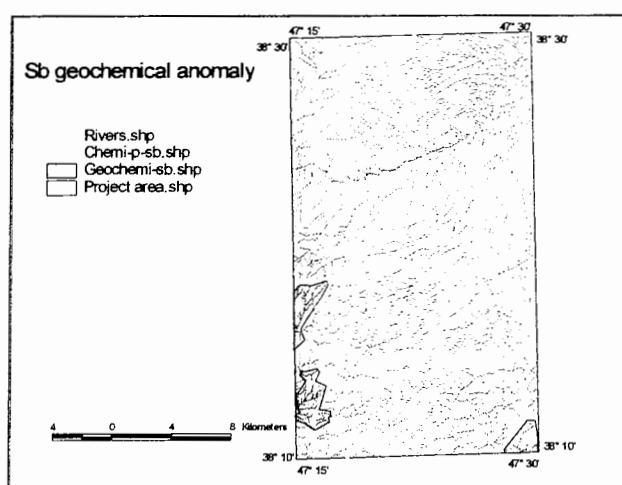
شکل (۸-۵): آنومالی های ژئوشیمیایی مس



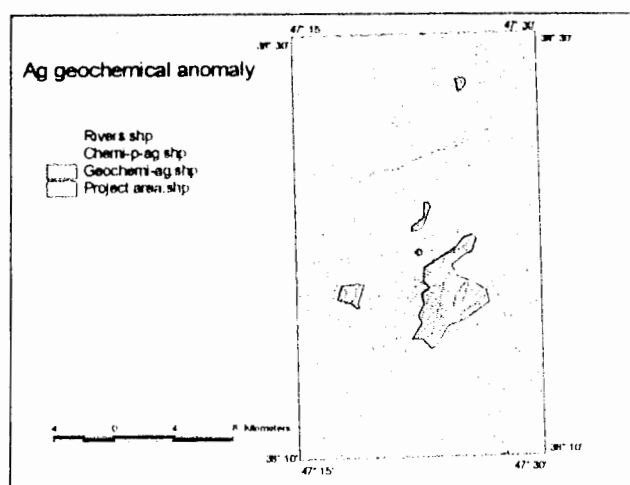
شکل (۹-۵): آنومالی‌های ژئوشیمیایی مولیبدن



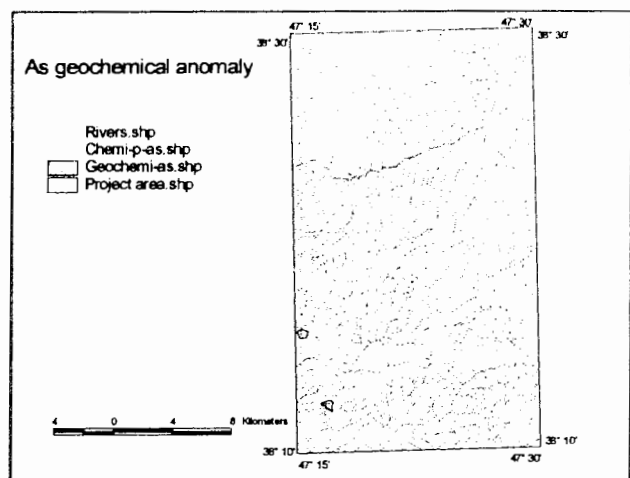
شکل (۱۰-۵): آنومالی‌های ژئوشیمیایی طلا



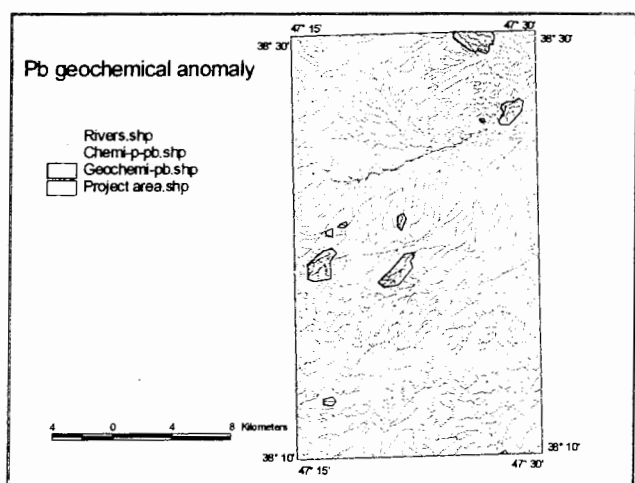
شکل (۱۱-۵): آنومالی‌های ژئوشیمیایی آنتیموان



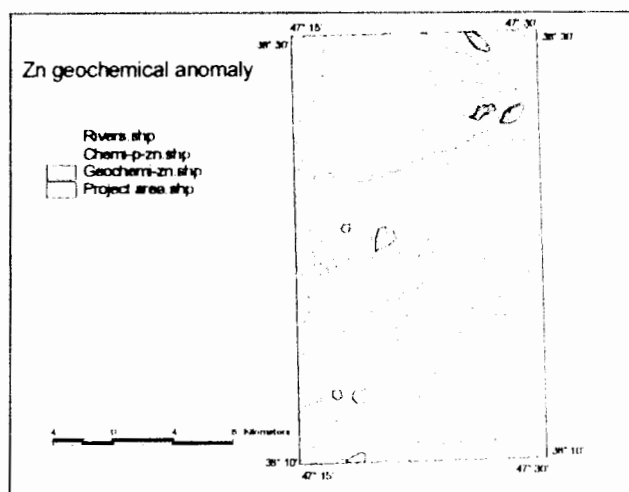
شکل(۱۲-۵): آنومالی های ژئوشیمیایی نقره



شکل(۱۳-۵): آنومالی های ژئوشیمیایی آرسنیک



شکل(۱۴-۵): آنومالی های ژئوشیمیایی سرب

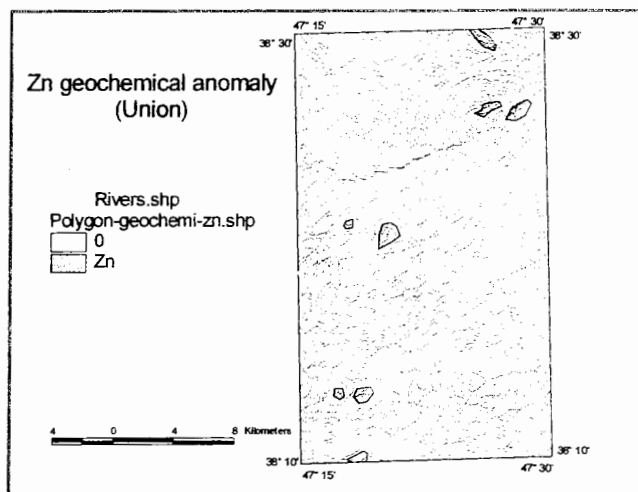


شکل (۱۵-۵): آنومالی های ژئوشیمیایی روی

جهت استفاده از داده های ژئوشیمیایی برای مدل سازی، پلیگون هایی که حوزه آبریز نمونه های آنومال را در شکل های (۱۵-۵) تا (۸-۵) نشان می دهند و به صورت یک لایه جداگانه می باشند، با لایه محدوده مطالعاتی (project area) ترکیب و به صورت یک لایه واحد تبدیل شدند.

لازم به ذکر است در شکل های (۸-۵) تا (۱۵-۵) دو لایه اطلاعاتی، شامل آنومالی های ژئوشیمیایی و لایه محدوده مطالعاتی (project area) نشان داده شده است.

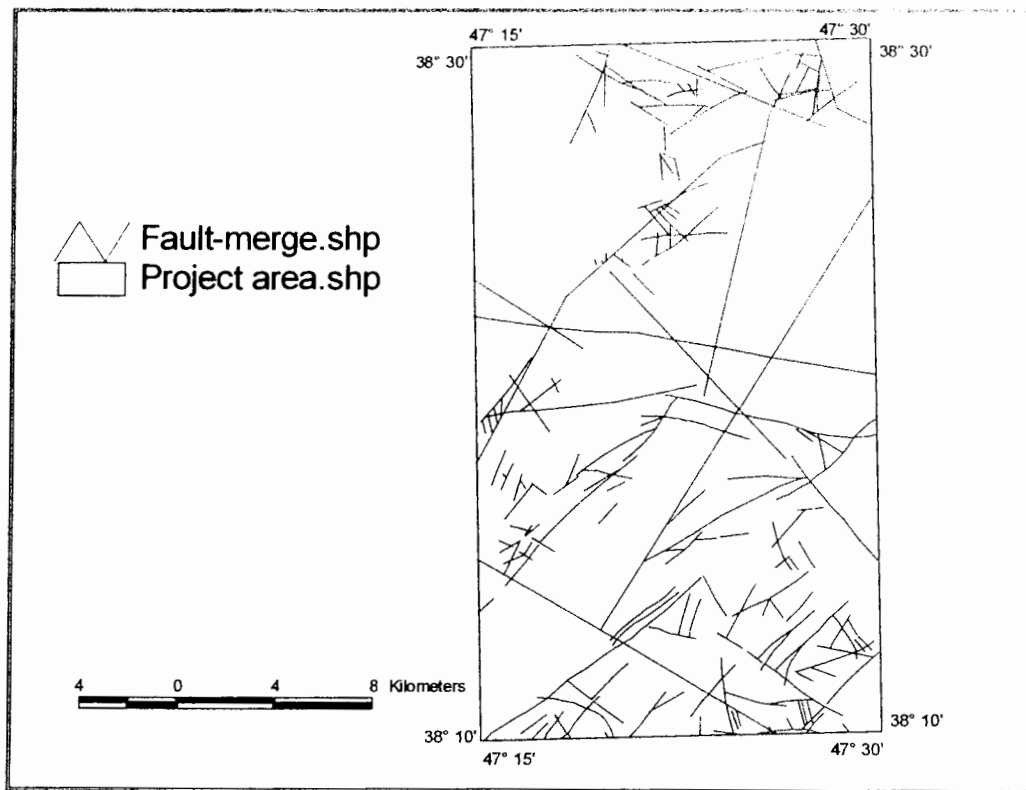
شکل (۱۶-۵) آنومالی ژئوشیمیایی روی را بعد از ترکیب به صورت یک نقشه دوتایی نشان می دهد.



شکل (۱۶-۵): لایه ترکیب شده آنومالی ژئوشیمیایی روی با لایه محدوده مطالعاتی

## ۷-۵- ترکیب و پردازش داده‌های ساختاری منطقه

در این قسمت گسل‌های زمین‌شناسی به همراه گسل‌های استخراج شده از تصاویر ماهواره‌ای و داده‌های ژئوفیزیک مورد استفاده قرار گرفتند. بدین ترتیب که ابتدا تمامی گسل‌ها در یک فایل با هم یکی شده و سپس گسل‌های تکراری حذف و تصحیح گردیدند (شکل (۱۷-۵)).



شکل (۱۷-۵): ترکیب گسل‌های زمین‌شناسی و تصویر ماهواره‌ای و ژئوفیزیک هوایی

لایه‌های اطلاعاتی پردازش شده در این فصل بر اساس روش‌های مدل سازی منطق فازی و همپوشانی شاخص در فصل بعدی پردازش نهایی و وزن دهی می‌شوند و در نهایت لایه‌های وزن دار شده با هم ترکیب و تلفیق شده و نقشه نواحی امید بخش معدنی معرفی می‌گردد.

## فصل ششم

### مدل‌سازی و معرفی نواحی امیدبخش

#### ۱-۶- مقدمه

هدف نهایی در پروژه‌های GIS، ترکیب داده‌های مختلف به منظور ایجاد نقشه‌های جدیدی است که در نهایت در اخذ تصمیم‌گیری‌ها مورد استفاده قرار می‌گیرد. در پروژه‌های اکتشافی، هدف دستیابی به نقشه‌های پتانسیل معدنی است. این مرحله شامل استفاده از یک یا چند مدل برای ترکیب لایه‌های اطلاعاتی است. انتخاب روش ترکیب و پارامترهای آن به تنها بی توسط سیستم‌های اطلاعات جغرافیایی انجام نمی‌گیرد، بلکه نظر کارشناسان معدنی نیز در آن اعمال می‌گردد. استفاده از روش یا پارامترهای نه چندان صحیح موجب تهیه نقشه‌های پتانسیل معدنی خواهد شد که متفاوت با واقعیت است [۱۴].

در این پایان‌نامه هدف تهیه نقشه‌های پتانسیل معدنی عناصر فلزی برای دو تیپ کانی‌زایی مس پورفیری و طلای اپی‌ترمال می‌باشد. از آنجا که تعداد نقاط معدنی واقع شده در محدوده مطالعاتی زیاد نمی‌باشد و یا در مورد بعضی از آنها اطلاعات جامعی از وابستگی به یک تیپ کانی‌زایی خاص وجود ندارد، لذا استفاده از مدل‌های ریاضی و آماری همچون مدل‌های Logistic Regression و Weights of Evidence جواب دقیق و درستی ارائه نمی‌دهد. بنابراین در این پایان‌نامه اساس کار در مدل‌سازی بر پایه دو مدل متکی بر نظر کارشناسی یعنی منطق فازی و همپوشانی شاخص بنا نهاده شده است. با توجه به دو مدل کانی‌زایی مورد نظر چهار نقشه پتانسیل معدنی بدست خواهد آمد که شرح مراتب تهیه این نقشه‌ها به صورت ذیل می‌باشد.

لازم به ذکر است جهت مدل سازی و تهیه نقشه پتانسیل معدنی محدوده مطالعاتی از نرم افزارهای Spatial Data Modeller و Spatial Analyst نصب می شوند، استفاده شده است.

## ۶-۲- مدل سازی به روش همپوشانی شاخص

چنانکه قبل نیز اشاره شد روش همپوشانی شاخص یک روش ساده و متداول در تلفیق اطلاعات در محیط GIS می باشد. در این روش چند لایه اطلاعاتی که هر یک دارای دسته بندی متفاوتی هستند و هر دسته ارزش خاص خود را دارد با یکدیگر طبق یک سری روابط خاص ریاضی که قبل اشاره شد، تلفیق می شوند.

## ۶-۱- مدل سازی پتانسیل کانی زایی مس پورفیری

جهت مدل سازی کانسارهای مس پورفیری کلیه اطلاعات در سه گروه فرآیندهای تشکیل کانه<sup>۱</sup> شامل اطلاعات رئو شیمیایی و آلتراسیون های موجود، ساختارها<sup>۲</sup> شامل ساختارهای حلقوی و گسل ها و منشأ<sup>۳</sup> شامل سنگ های نفوذی درونگیر ماده معدنی و توده های نفوذی کم عمق که ممکن است در کانی زایی مس پورفیری مؤثر باشند، گروه بندی گردید.

اطلاعات مذکور پس از آماده سازی و پردازش اولیه که در فصل قبل اشاره شد، در این فصل با توجه به نوع کانی زایی ابتدا پردازش نهایی شده که از جمله این عملیات اختصاص وزن به لایه ها و سپس تبدیل به حالت رسنتری را می توان نام برد. سپس اطلاعات پردازش شده با هم تلفیق و محدوده های امیدبخش معرفی گردید.

<sup>۱</sup> - Ore Forming Processing

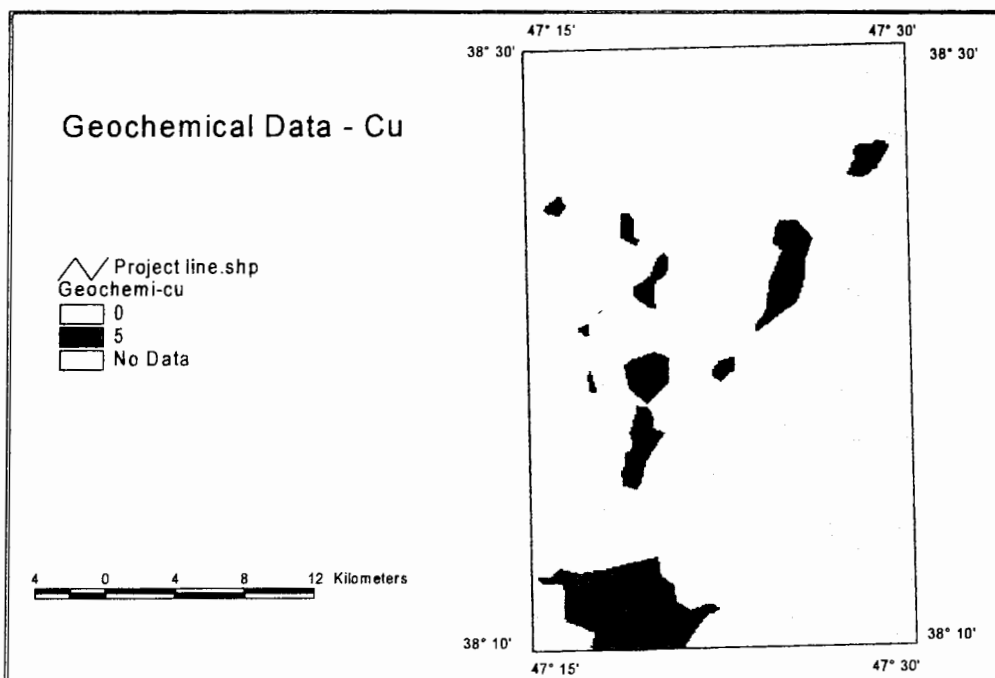
<sup>۲</sup> - Structures

<sup>۳</sup> - Source

#### ۱-۱-۲-۶ - اطلاعات ژئوشیمیایی

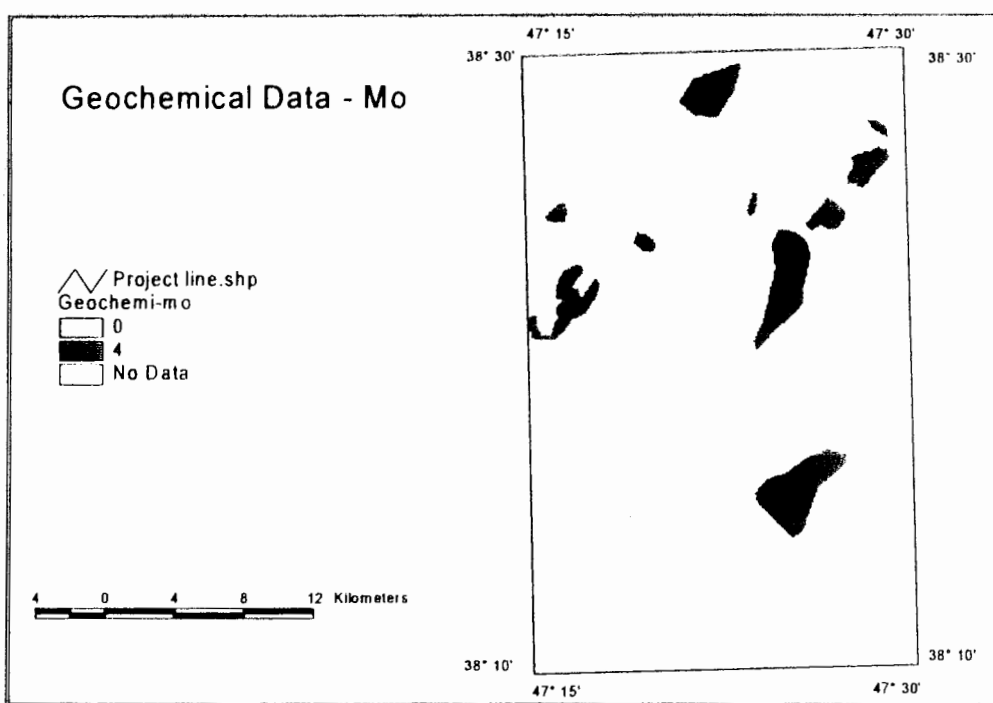
لایه‌های اطلاعاتی ژئوشیمیایی مربوط به چهار عنصر مس، طلا، مولیبدن و نقره جهت مدل‌سازی مس پورفیری انتخاب شدند. سپس در جدول اطلاعاتی فایل‌های مربوطه، یک ستون به نام "رتبه" یا "ارزش"<sup>۱</sup> جهت وزن‌دهی به مناطق آنومال اضافه گردید. به طوری که برای محدوده‌های آنومال مس ارزش ۵، مولیبدن و طلا ارزش ۴ و نقره ارزش ۳ داده شد. در این لایه‌ها به مناطقی که دارای محدوده آنومالی نبودند، ارزش صفر داده شد. تمام لایه‌های مذکور سپس براساس ستون "ارزش" تبدیل به لایه‌های رستری شدند. ارزش دهی به لایه‌های ژئوشیمیایی بر اساس آنومالی‌هایی می‌باشد که این عناصر در مدل‌های مس پورفیری از خود نشان می‌دهند.

شکلهای (۱-۶)، (۲-۶)، (۳-۶) و (۴-۶) لایه‌های ژئوشیمیایی ارزش داده شده را نشان می‌دهند.

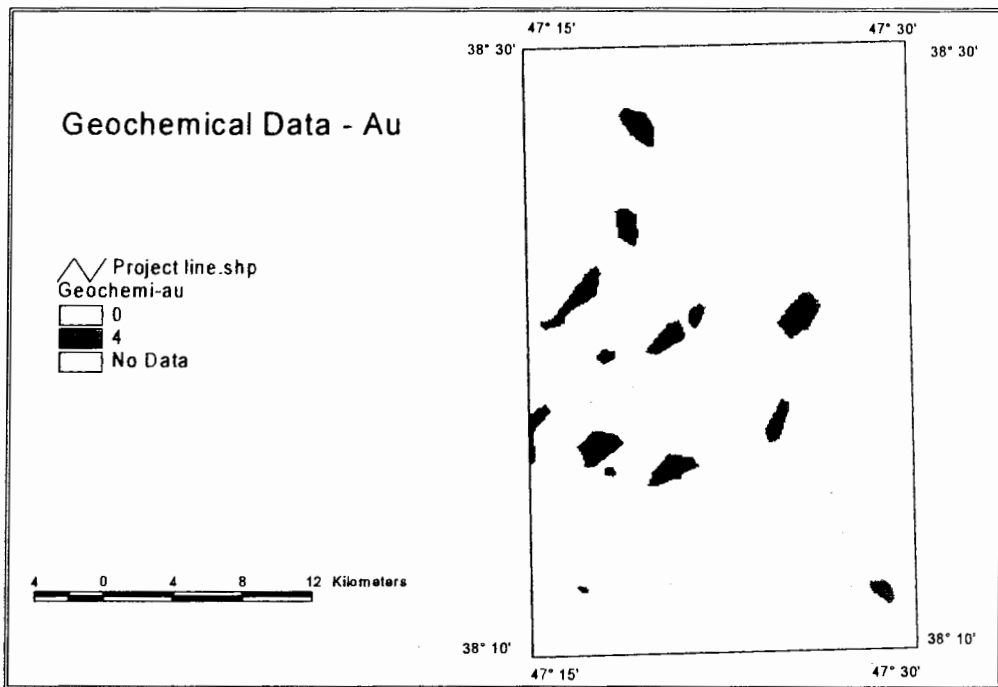


شکل(۱-۶): لایه وزن دار شده ژئوشیمیایی مس

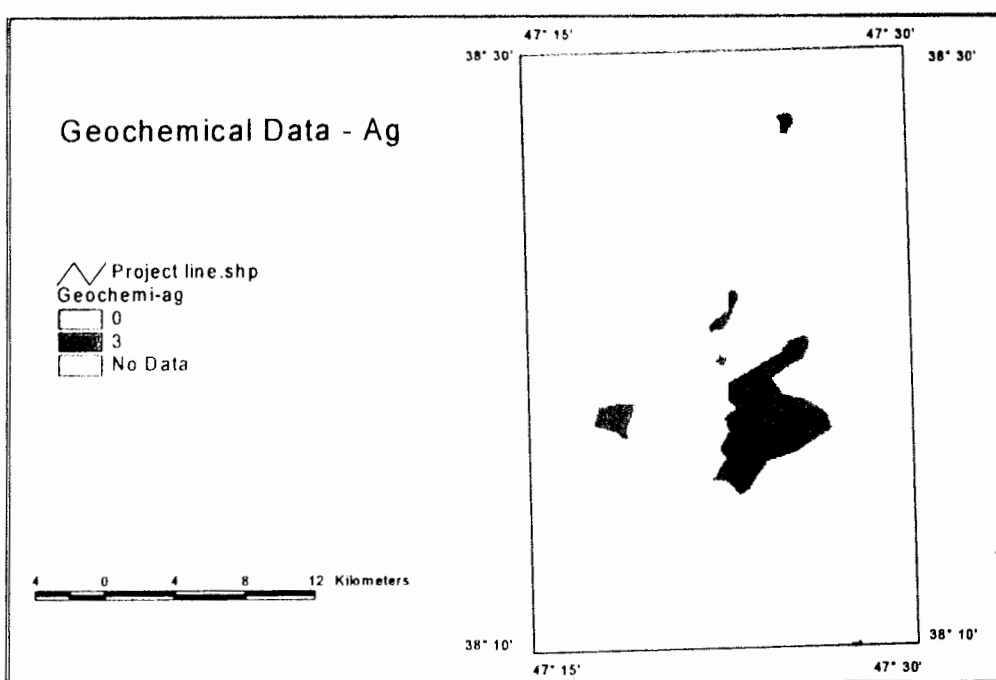
<sup>۱</sup>- Score



شکل (۲-۶): لایه وزن دار شده ژئوشیمیایی مولیبدن



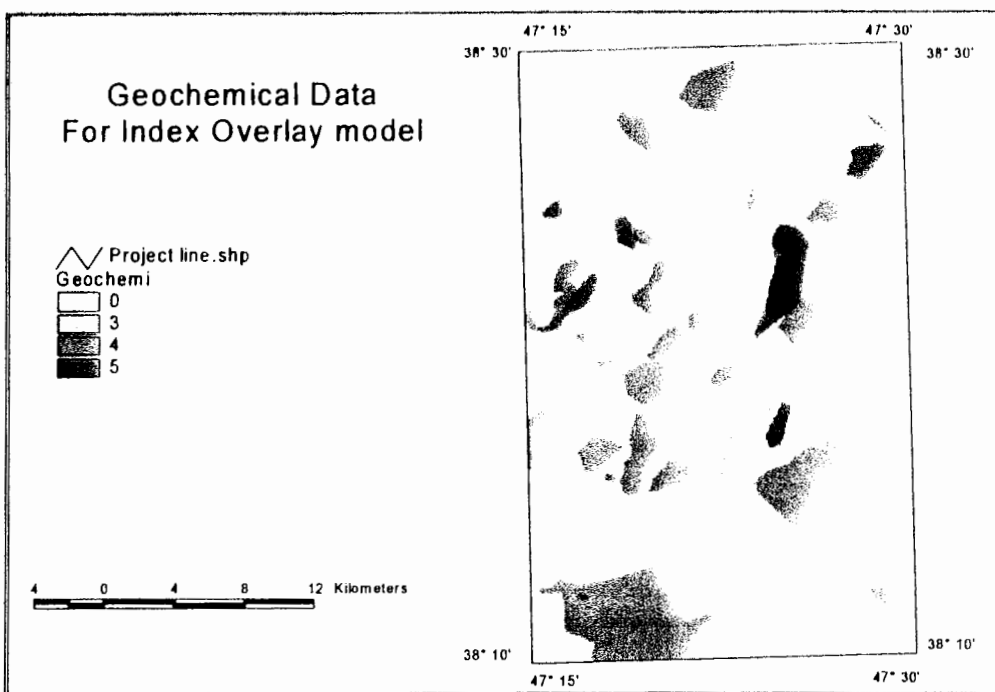
شکل (۳-۶): لایه وزن دار شده ژئوشیمیایی طلا



شکل (۴-۶): لایه وزن دار شده ژئوشیمیایی نقره

تمامی لایه‌های فوق به روش همپوشانی ساده<sup>۱</sup> با هم تلفیق و در نهایت لایه اطلاعاتی بدست آمده با ارزش‌های صفر تا ۵ چنانکه در شکل (۵-۶) دیده می‌شود، دسته‌بندی مجدد گردید. این لایه به عنوان لایه ژئوشیمیائی در تلفیق نهائی می‌باشد.

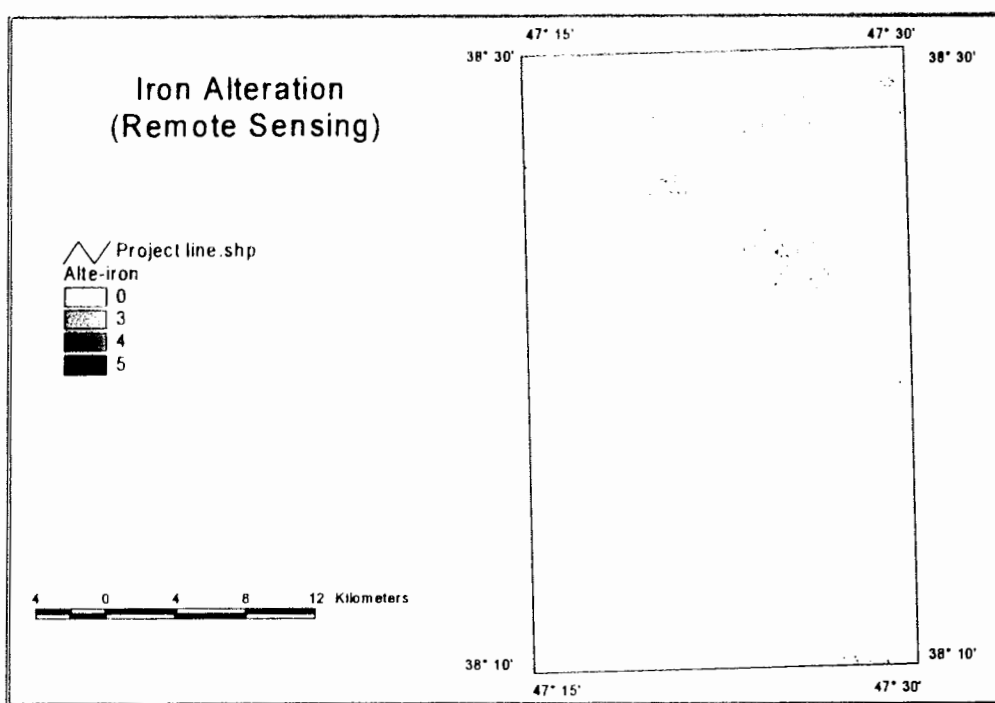
<sup>۱</sup>- Simple Overlay



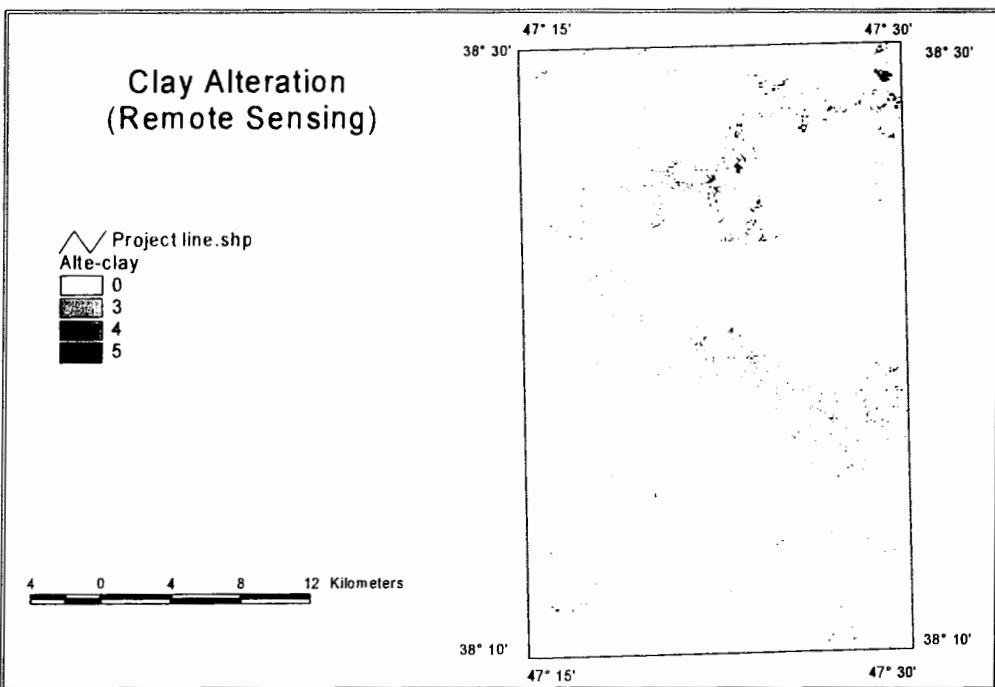
شکل (۵-۶): لایه ژئوشیمیایی نهایی جهت مدل سازی مس پورفیری

#### ۲-۱-۲-۶- آلتراسیون ها

اطلاعات مربوط به آلتراسیون که در مدل سازی مس پورفیری به کار گرفته شده شامل دو بخش آلتراسیون های بدست آمده از تصاویر ماهواره ای و آلتراسیون های هیدروترمالی استخراج شده از نقشه زمین شناسی می باشد. آلتراسیون های اکسید آهن و رسی که بصورت لایه هایی با ۴ کلاس در گروه دورسنجی سازمان زمین شناسی کشور رتبه بندی شده بود، بعد از تبدیل به فایل هایی که در نرم افزار Arcview قابل استفاده باشد، در چهار کلاس ارزش گذاری گردید. بطوری که در جاهایی که احتمال وجود آلتراسیون های مذکور بالا بود ارزش ۵ و به همین ترتیب ارزش های ۴ و ۳ به مناطقی با احتمال کمتر واگذار شد. ارزش صفر نیز به مناطقی از محدوده مطالعاتی که دارای آلتراسیون نبودند، داده شد. شکل های (۶-۶) و (۷-۶) آلتراسیون های اکسید آهن و رسی را نشان می دهد.

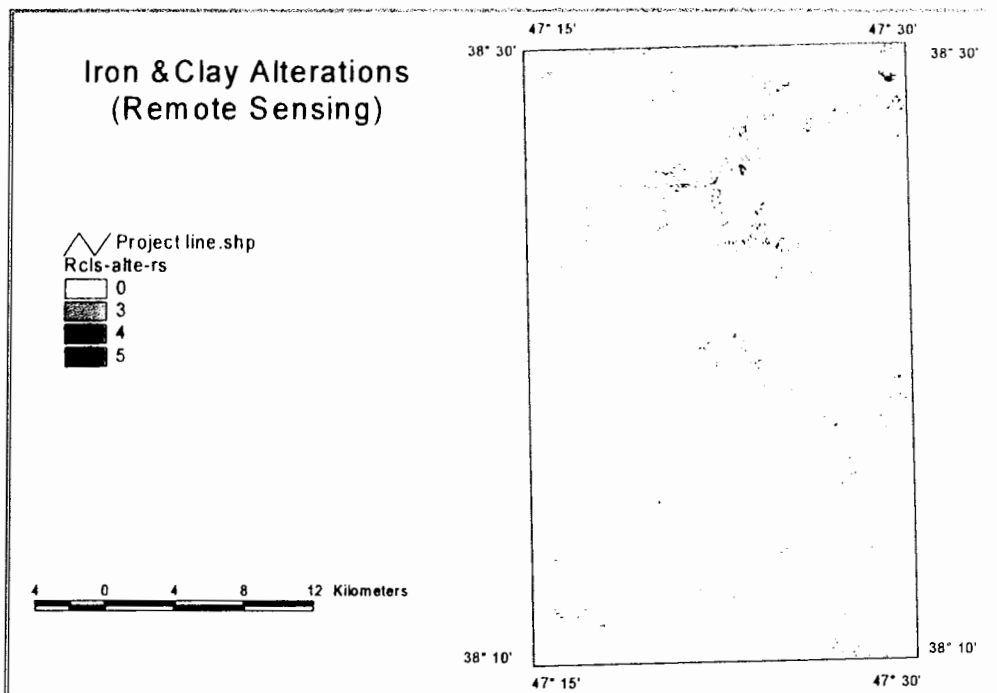


شکل (۶-۶): لایه وزن دار شده آلتراسیون های اکسید آهن



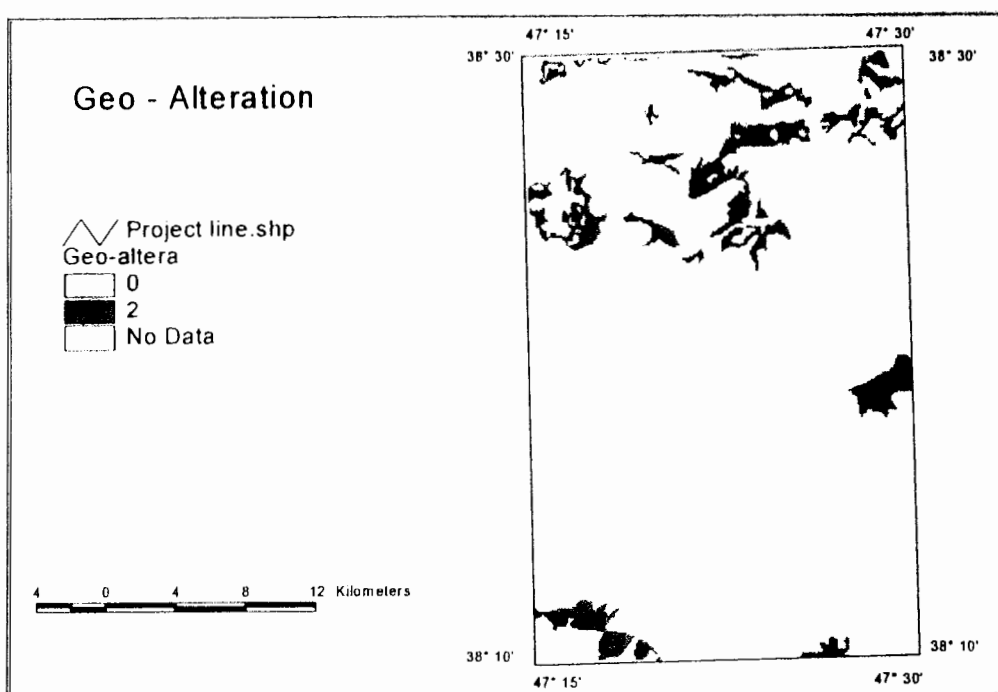
شکل (۷-۶): لایه وزن دار شده آلتراسیون های رسی

سپس دو لایه فوق به روش همپوشانی ساده با هم تلفیق و در نهایت لایه حاصل دسته‌بندی مجدد شده و لایه نهایی به صورت شکل (۸-۶) بدست آمد.



شکل (۸-۶): لایه آلتراسیون دورستجی جهت مدل‌سازی مس پورفیری

آلتراسیون هیدروترمال از نقشه زمین‌شناسی استخراج، سپس بعد از ترکیب (Union) با چند ضلعی محدوده مطالعاتی یک ستون به نام "ارژش" به جدول اطلاعاتی آن افزوده شد. به محدوده‌های آلتراسیون امتیاز ۲ و به سایر نواحی امتیاز صفر واگذار شد. لایه مذکور براساس ستون امتیاز داده شده به لایه رستری تبدیل و برای تلفیق نهایی آماده گردید. شکل (۹-۶) آلتراسیون‌های هیدروترمالی استخراج شده از نقشه زمین‌شناسی منطقه را نشان می‌دهد.



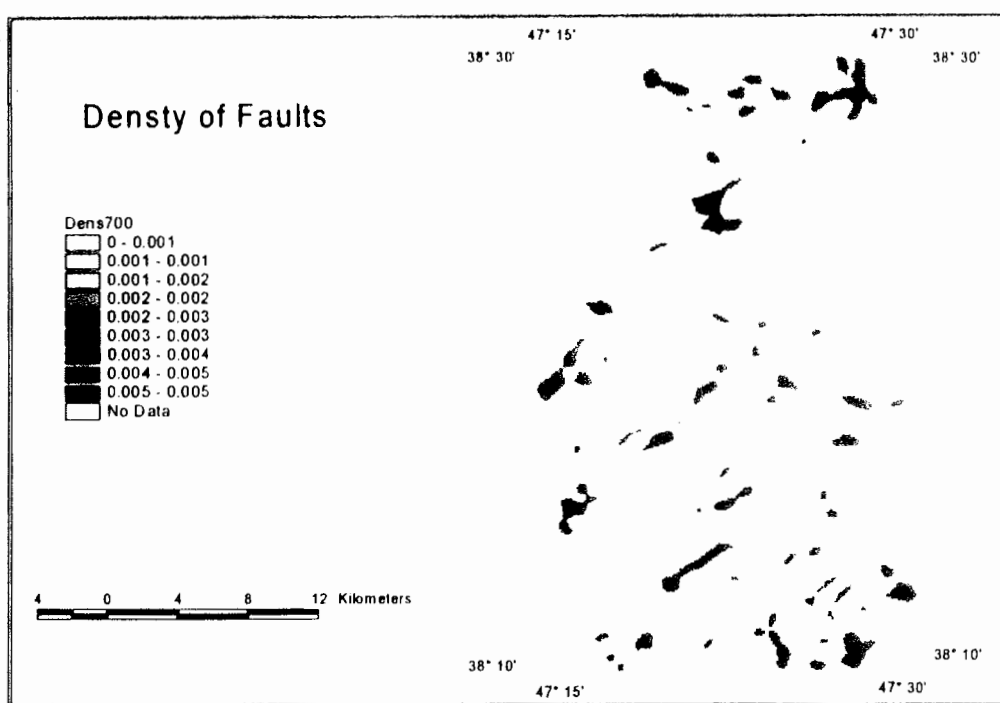
شکل (۹-۶): آلترازیون‌های هیدرولوژیکی حاصل از نقشه زمین‌شناسی

### ۳-۱-۲-۶- ساختارها

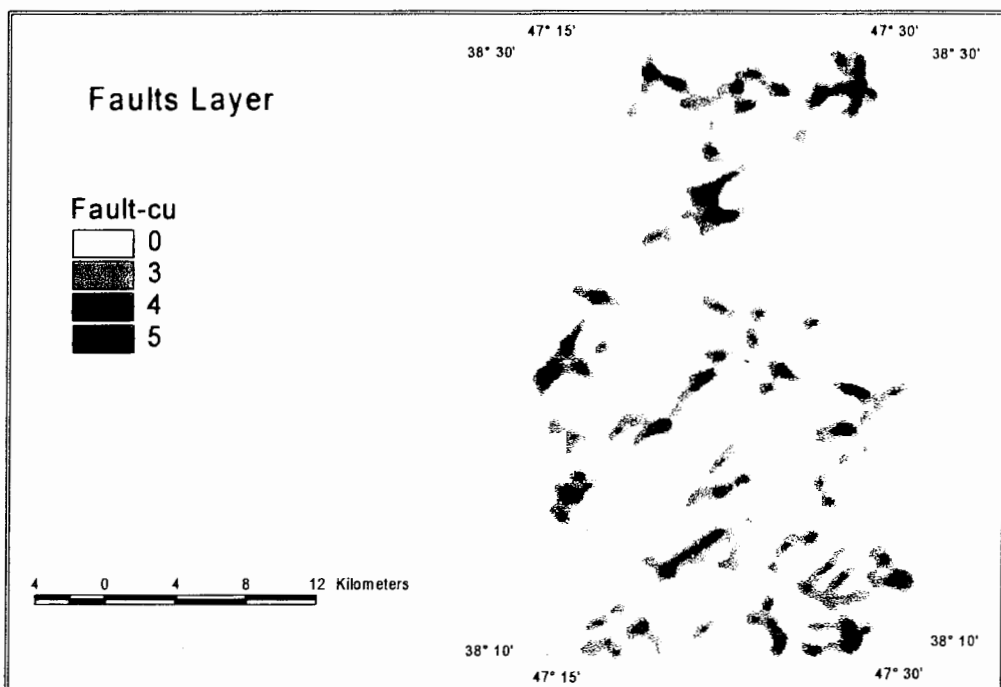
اطلاعات ساختاری شامل لایه گسل‌ها و ساختارهای حلقوی، در تشکیل ذخایر مس پورفیری از اهمیت خاصی برخوردار هستند. جهت استفاده از لایه گسل‌ها برای مدل‌سازی مس پورفیری از دانسیته خطوط گسل‌ها به شعاع ۷۰۰ متری از دستور Density در نرم‌افزار ArcGIS استفاده شد.

شکل (۱۰-۶) نقشه دانستیه گسل‌های محدوده مورد مطالعه را نشان می‌دهد.

نقشه مذکور در چهار گروه دسته‌بندی مجدد گردید بهطوری که به حداقل مقدار دانستیه ارزش ۵ و به ترتیب ارزش‌های ۴ و ۳ به مقادیر پایین‌تر اختصاص داده شد. به مناطق خارج از محدوده ۷۰۰ متری گسل‌ها ارزش صفر در نظر گرفته شد. شکل (۱۱-۶) نقشه گسل‌های منطقه را که برای تلفیق نهایی و مدل‌سازی مس پورفیری آماده شده است را نشان می‌دهد.

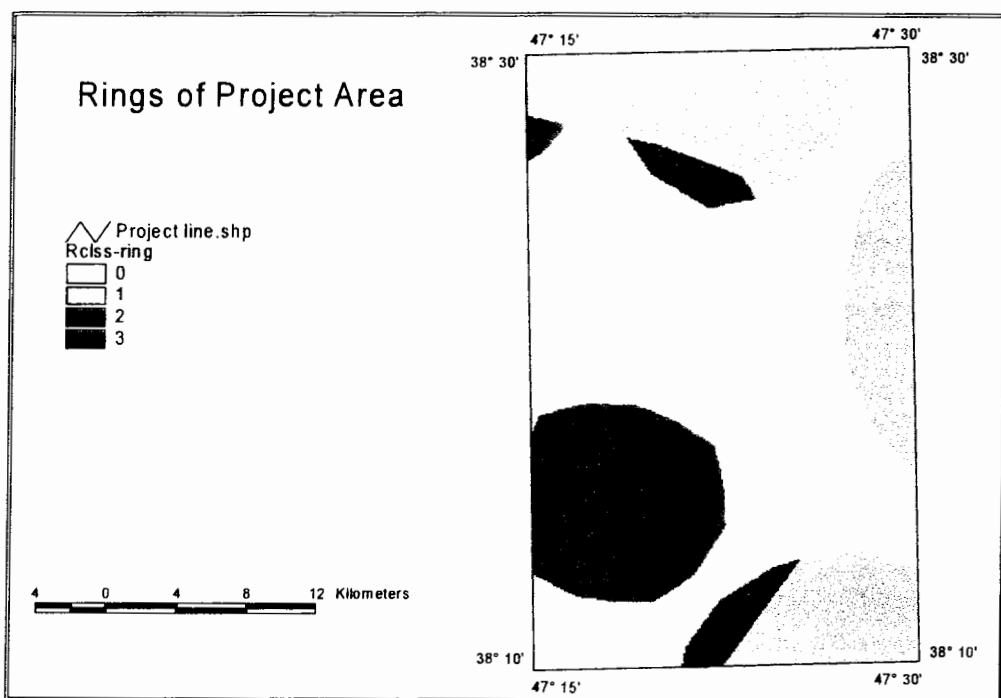


شکل (۱۰-۶): نقشه دانستیه گسل‌های محدوده مورد مطالعه



شکل (۱۱-۶): نقشه نهایی گسل‌های منطقه جهت مدل‌سازی مس پورفیری

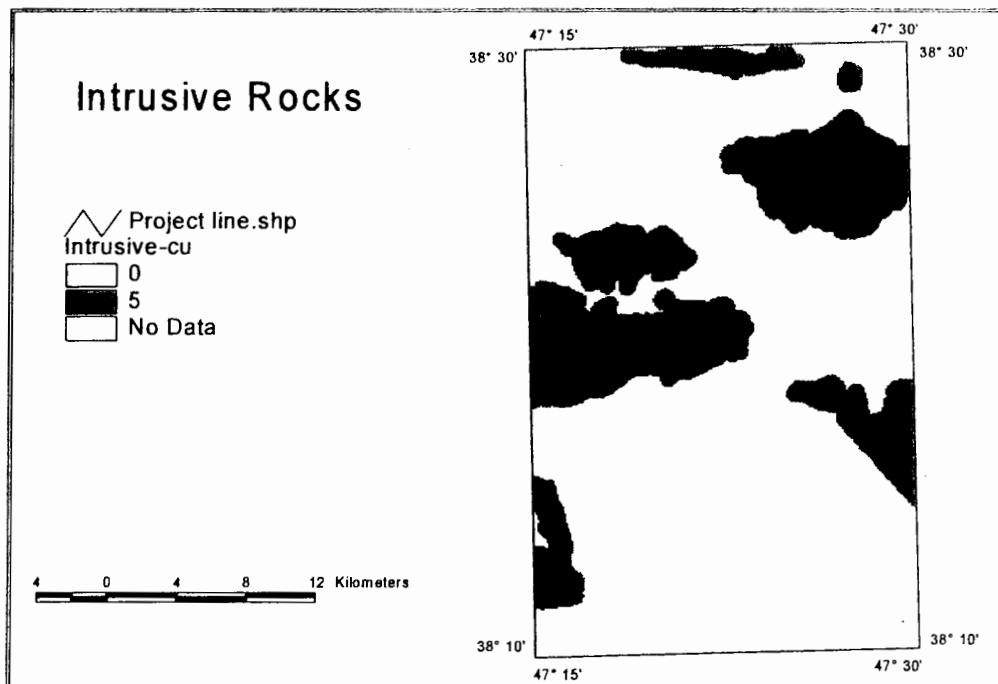
ساختارهای حلقوی بدست آمده از تصاویر ماهواره‌ای نیز چنانکه قبل‌اشاره شد پس از تبدیل به حالت چند ضلعی براساس بزرگی و وسعتشان از هم تفکیک شدند به طوری که بزرگترین آنها ارزش یک به دومی ارزش ۲ و به کوچکترین آنها ارزش ۳ داده شد. پس از تبدیل به حالت رستری سه لایه مذکور به روش همپوشانی ساده با هم تلفیق تا نقاط مشترک امتیاز بالاتری بگیرند. لایه تلفیق شده دوباره دسته‌بندی گردید و به صورت یک لایه چهار کلاسه با ارزش‌های صفر، یک، دو و سه برای تلفیق نهایی جهت مدل‌سازی مس پورفیری بدست آمد (شکل ۱۲-۶).



شکل (۱۲-۶): لایه نهایی ساختار حلقوی منطقه جهت مدل‌سازی مس پورفیری

#### ۴-۲-۴- سنگ های منشا

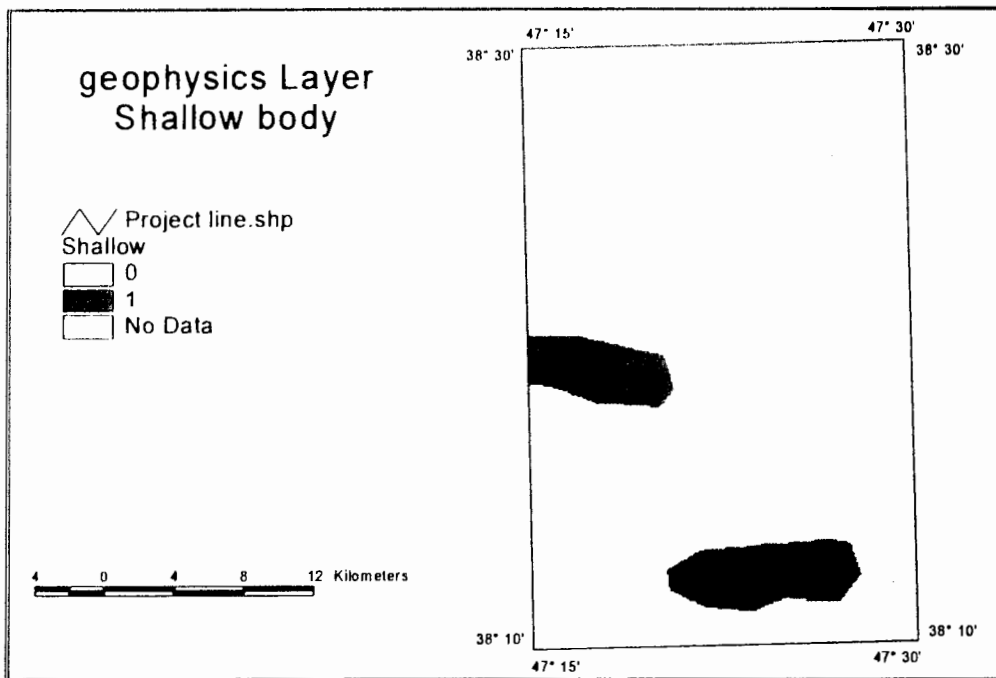
اطلاعات مربوط به داده‌های زمین‌شناسی مؤثر در کانی‌زایی مس پورفیری از نقشه زمین‌شناسی ۱۳-۶ اهر استخراج گردید. توده‌های نفوذی "gr" و "gr<sup>k</sup>" که شامل مونزو-گرانیت، گرانو-دیوریت، گرانیت، بیوتیت گرانیت و مونزونیت می‌باشند جهت کانی‌زایی مس پورفیری به عنوان سنگ‌های میزبان استخراج و تا ۴۰۰ متری بافر شدند. با ایجاد یک ستون ارزش در جدول اطلاعاتی لایه مذکور، ارزش واحدهای نفوذی ۵ در نظر گرفته شد. سپس این لایه اطلاعاتی به حالت رستری تبدیل گردید (شکل ۱۳-۶).



شکل (۱۳-۶): لایه واحدهای نفوذی منطقه جهت مدل‌سازی مس پورفیری

توده‌های نفوذی کم‌عمق نیز که از اطلاعات ژئوفیزیک هوایی بدست آمده، ارزش‌گذاری شد. با توجه به اینکه اطلاعات بدست آمده از داده‌های ژئوفیزیک هوایی در این منطقه از دقت کمتری برخوردار

هستند لذا به واحدهای نفوذی کم عمق حاصل از این داده‌ها، کمترین ارزش یعنی یک اختصاص داده شد و این لایه نیز بعد از تبدیل به حالت رستری برای تلفیق نهایی آماده گردید (شکل (۱۴-۶)).



شکل (۱۴-۶): واحدهای نفوذی کم عمق جهت مدل‌سازی مس پورفیری

#### ۱-۲-۵- تلفیق نهایی لایه‌های اطلاعاتی به روش همپوشانی شاخص - مس پورفیری

روش همپوشانی شاخص بر پایه دانسته‌ها و تجربیات کارشناسی می‌باشد. جهت تلفیق لایه‌های اطلاعاتی از فرمول اصلاح شده عملی زیر که در فصل دوم (رابطه (۳-۲)) بیان گردید، استفاده شد:

$$S = \frac{\sum_{i=1}^n \sum_{j=1}^m S_{ij} W_i}{\sum_{i=1}^n W_i} \quad (1-6)$$

در این رابطه  $S$  امتیاز بدست آمده بعد از ترکیب نقشه‌ها برای هر مکان از محدوده مورد مطالعه می‌باشد،  $W_i$  وزن  $i$  امین نقشه ورودی و  $S_{ij}$  امتیاز  $j$  امین کلاس از  $i$  امین نقشه است.

لایه‌های مربوط به اطلاعات ژنوشیمیایی، التراسیون‌ها، ساختارها و سنگ‌های نفوذی با دادن ارزش‌های متفاوت  $W_i$  به هر یک، تلفیق و چند لایه مختلف نهایی به دست آمد. لایه‌های به دست آمده که معرف نواحی امید بخش کانی‌زایی مس پورفیری می‌باشند، تقریباً نواحی مشابهی را ارائه نمودند (شکل‌های ۱۵-۶) تا (۲۰-۶).

اگر لایه ژنوشیمی را با  $C$ ، التراسیون‌های دورستنجی را با  $A\text{-rs}$ ، التراسیون‌های زمین‌شناسی را با  $A\text{-geo}$ ، گسل‌ها را با  $I$ ، ساختارهای حلقوی را با  $R$ ، سنگ‌های نفوذی را با  $F$  و واحدهای نفوذی کم عمق بدست آمده از اطلاعات ژئوفیزیک هوایی را با  $S$  مشخص کنیم، مدل‌های به دست آمده طبق روابط زیر ایجاد شده‌اند:

$$[1.5(C) + 1.5(I) + A\text{-rs} + F + R + S] / 7 \quad \text{مدل ۱}$$

$$[2.5(C) + 2(I) + 1.5(A\text{-rs}) + 1.5(F) + R + S] / 9.5 \quad \text{مدل ۲}$$

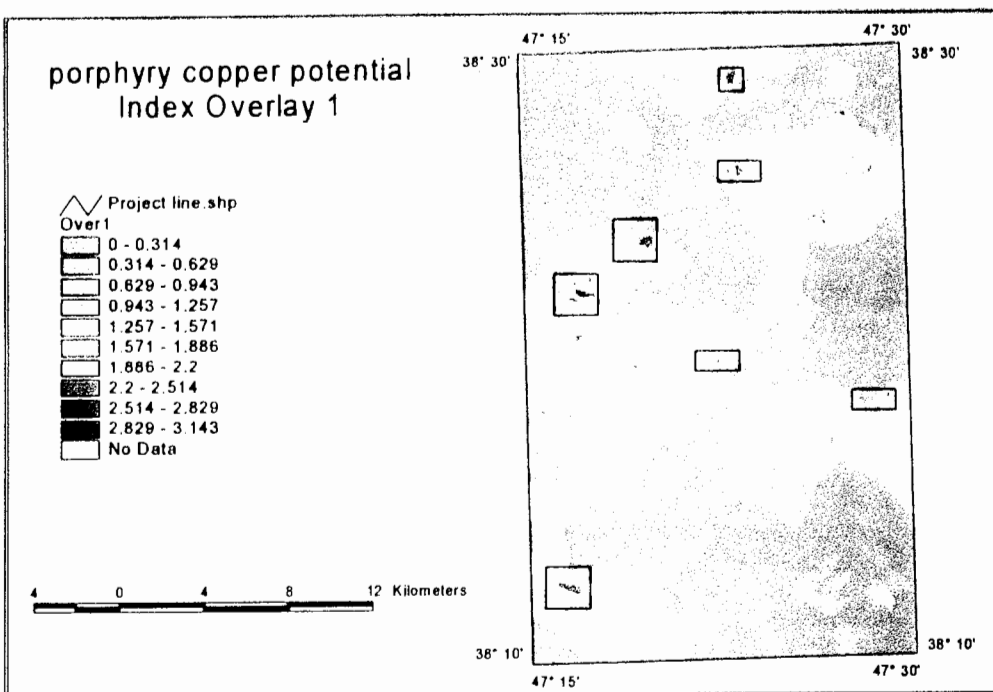
$$C + I + A\text{-rs} + A\text{-geo} + F + R + S \quad (\text{Simple Overlay}) \quad \text{مدل ۳}$$

$$[1.5(C) + 1.5(I) + A\text{-rs} + A\text{-geo} + F + R + S] / 8 \quad \text{مدل ۴}$$

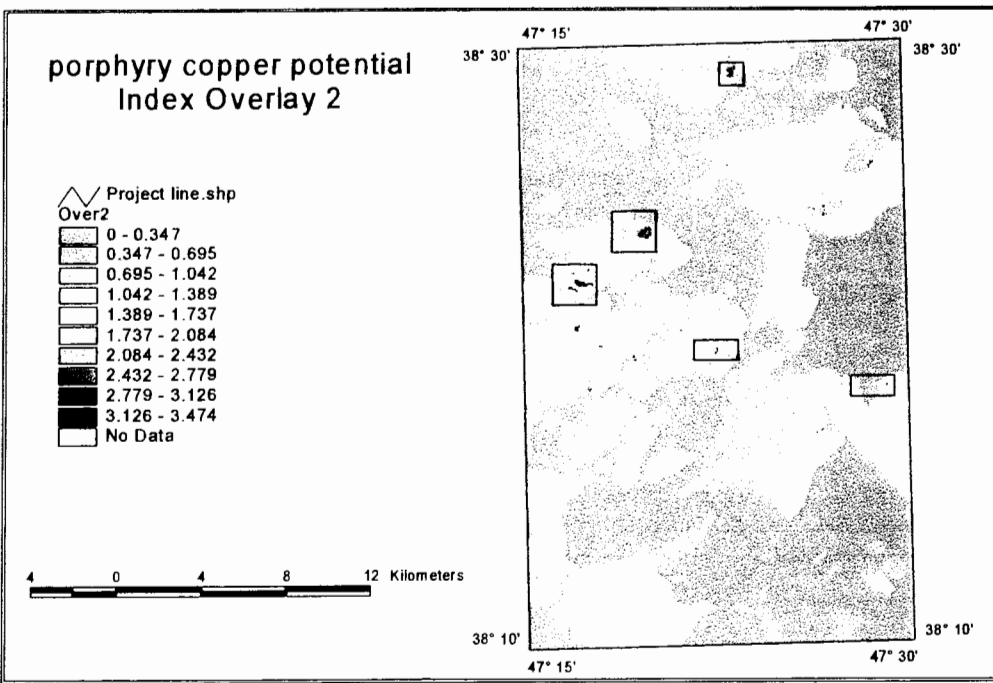
$$[1.5(C) + 1.5(I) + A\text{-rs} + A\text{-geo} + 1.5(F) + R + S] / 8.5 \quad \text{مدل ۵}$$

$$[1.5(C) + 1.5(I) + 1.25(A\text{-rs}) + 1.5(A\text{-geo}) + 1.5(F) + 1.5(R) + 1.5(S)] / 8.5 \quad \text{مدل ۶}$$

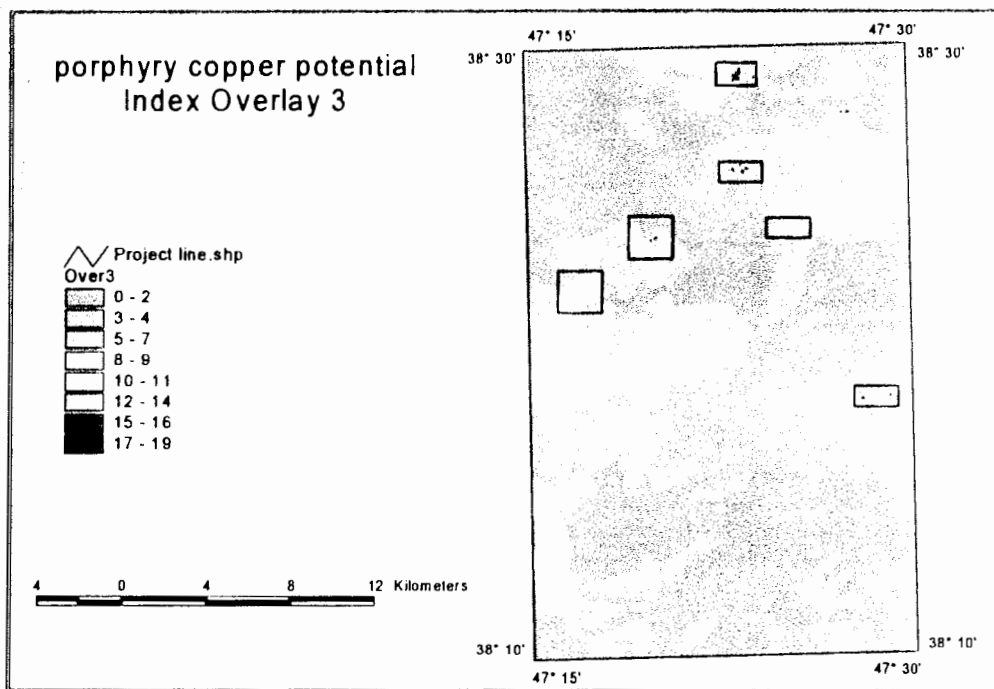
لازم به ذکر است که مدل‌های بیشتری با  $W_i$  های متفاوت برای لایه‌های اکتشافی پردازش شده فوق در نرم‌افزار ساخته شد که به دلیل مشابهت زیاد و یا وجود تفاوت جزئی مدل‌ها با یکدیگر، ۶ مدل فوق در مدل‌سازی مس پورفیری با روش همپوشانی شاخص در نظر گرفته شد. در مدل‌های ارائه شده فوق هر چند وزن‌های تخصیص داده شده برای هر لایه اکتشافی یکسان در نظر گرفته شد ولی مدل‌سازی با وزن‌های متفاوت برای کلاس‌های هر لایه اکتشافی نیز انجام گردید. به علت شباهت زیاد آنها با مدل‌های ارائه شده از تکرار آنها در پایان‌نامه خودداری شد.



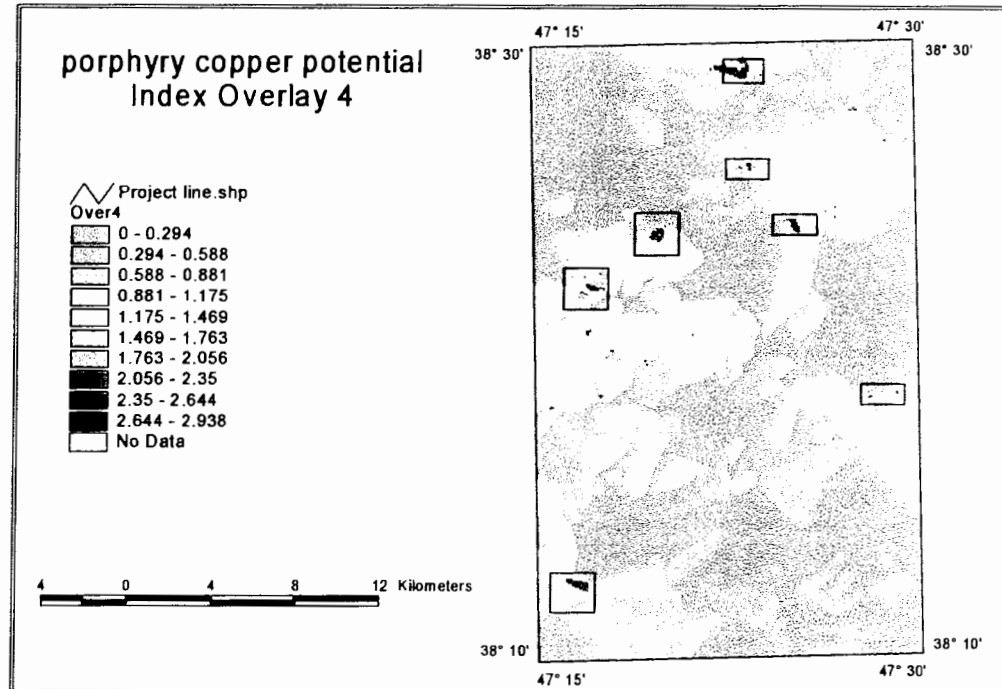
شکل (۱۵-۶): نواحی امید بخش کالنی‌زایی مس پورفیری - مدل ۱



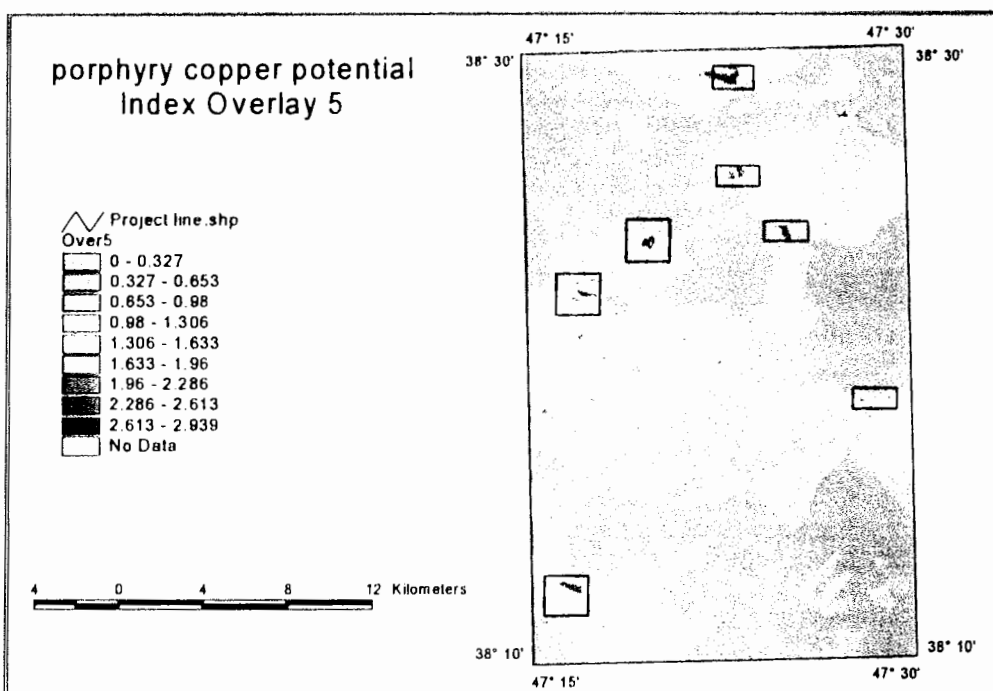
شکل (۱۶-۶): نواحی امید بخش کالنی‌زایی مس پورفیری - مدل ۲



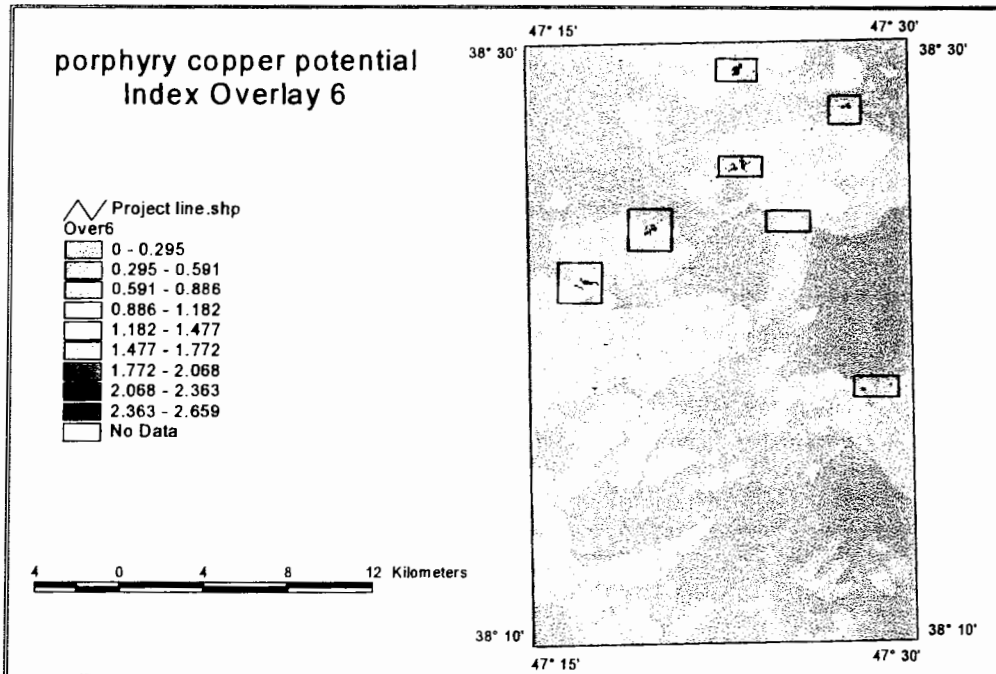
شکل (۱۷-۶): نواحی امید بخش کانی‌زایی مس پورفیری - مدل ۳



شکل (۱۸-۶): نواحی امید بخش کانی‌زایی مس پورفیری - مدل ۴



شکل (۱۹-۶): نواحی امید بخش کانی‌زایی مس پورفیری – مدل ۵



شکل (۲۰-۶): نواحی امید بخش کانی‌زایی مس پورفیری – مدل ۶

## ۶-۲-۲- مدل سازی پتانسیل کانی زایی طلای اپیترمال

جهت مدل سازی کانی زایی طلای اپیترمال در محدوده مطالعاتی تمام اطلاعات مربوطه از جمله ژئوشیمی، آلتراسیون‌ها، اطلاعات ساختاری، سنگ‌های میزبان و منابع حرارتی برای کانی زایی پس از وزن دهنی بر اساس میزان تأثیرشان در تشکیل کاسار، تلفیق و نواحی امید بخش معرفی گردید.

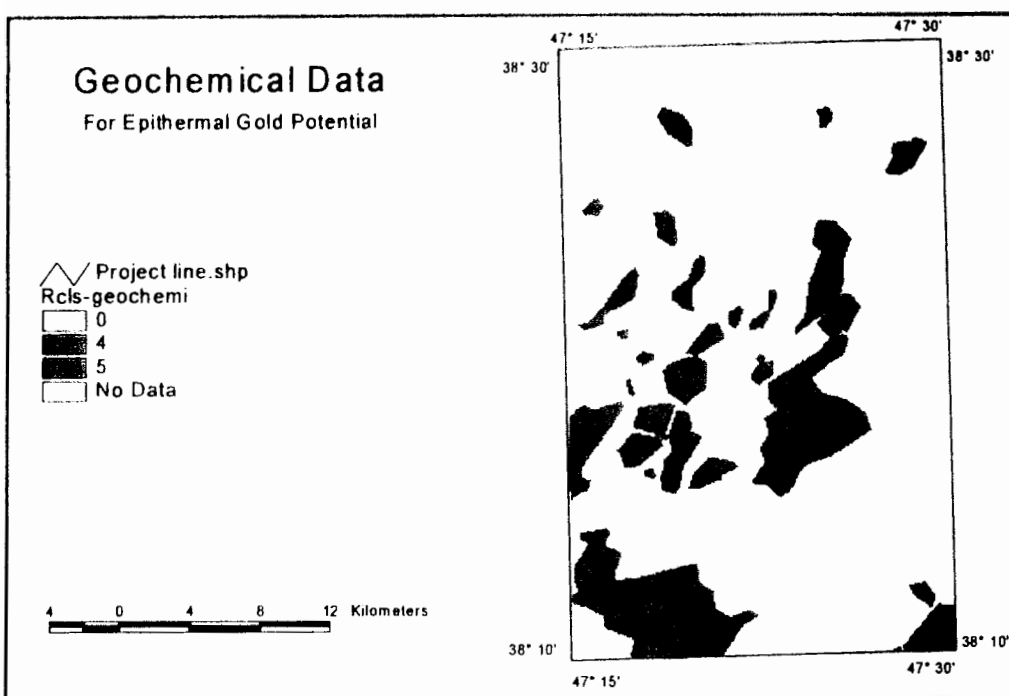
## ۶-۲-۲-۱- اطلاعات ژئوشیمیایی

لایه‌های ژئوشیمیایی مربوط به آنومالی‌های عناصر طلا، مس، نقره، آرسنیک و آنتیموان جهت مدل سازی کانی زایی طلای اپیترمال انتخاب گردید. در اینجا نیز هر یک از لایه‌های آنومالی ژئوشیمیایی بر حسب اهمیت وزن دهنی گردید. برای مناطق آنومالی طلا با توجه به هدف اکتشافی ارزش ۵ و برای دیگر عناصر امتیاز ۴ در نظر گرفته شد.

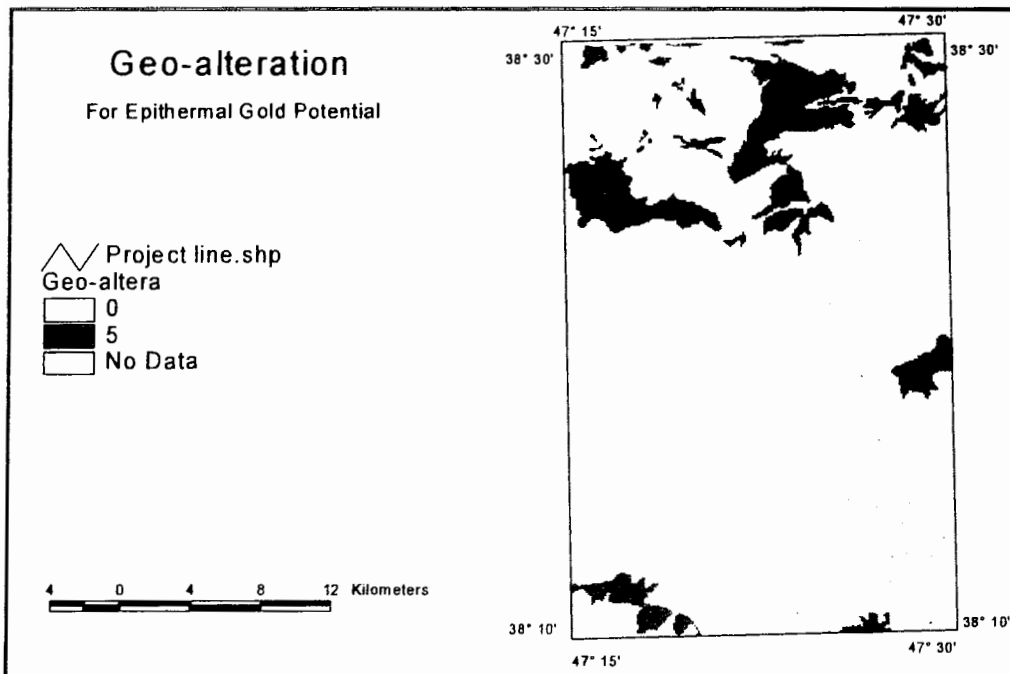
برای به دست آوردن یک لایه واحد ژئوشیمیایی لایه‌های فوق با هم تلفیق و در نهایت با ارزش‌های صفر تا ۵ چنانکه در شکل (۲۱-۶) دیده می‌شود، دسته‌بندی مجدد گردید.

## ۶-۲-۲-۲- آلتراسیون‌ها

پردازش و وزن دهنی اطلاعات مربوط به آلتراسیون‌های استخراج شده از داده‌های دورسنجدی برای مدل سازی مناطق امید بخش کانی زایی طلای اپیترمال مانند کانی زایی مس پورفیری انجام شد. آلتراسیون‌های استخراج شده از نقشه زمین‌شناسی برای کانی زایی طلای اپیترمال شامل آلتراسیون‌های سیلیسی (S) و هیدروترمال (h) می‌باشد. این لایه پس از استخراج از لایه زمین‌شناسی منطقه با حداقل امتیاز ۵ وزن دهنی و به حالت رستری تبدل گردید (شکل (۲۲-۶)).



شکل (۲۱-۶): لایه زمین‌سیابی نهایی جهت مدل‌سازی طلای اپی‌ترمال



شکل (۲۲-۶): آلترازیون‌های حاصل از نقشه زمین‌شناسی

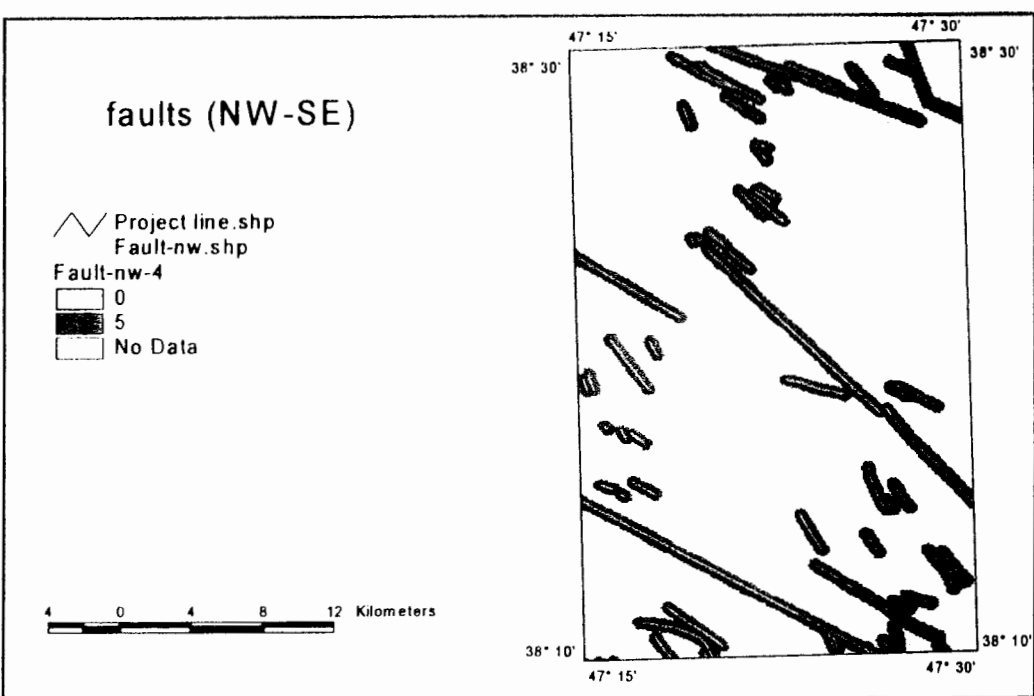
## ۶-۲-۱- ساختارها

یکی از شاخصهای مهم در تشکیل ذخایر طلای اپیترمال وجود گسل‌ها، نوع و امتداد آنها می‌باشد. با

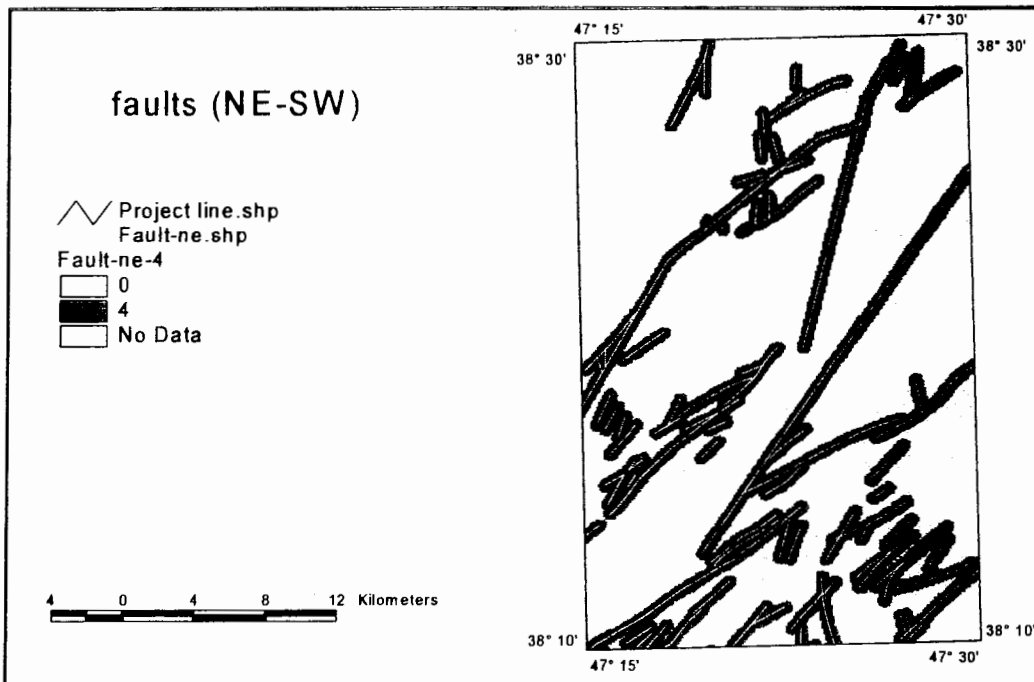
توجه به گزارشات موجود در منطقه و زون ارسیاران گسل‌هایی با امتداد شمال غربی - جنوب شرقی نسبت به روندهای دیگر از اهمیت بیشتری برخوردار هستند. در درجه دوم نیز گسل‌هایی با امتداد شمال شرقی - جنوب غربی اهمیت دارند<sup>[۵]</sup>. لذا برای مدل سازی و تعیین نواحی امید بخش ابتدا توسط نرم افزار ArcView و به کمک نرم‌افزار الحاقی Toolbox آزمیوت گسل‌ها تعیین گردید. سپس گسل‌ها در سه جهت شمال و شمال شرقی - جنوب و جنوب غربی ( $180^{\circ}$  -  $165^{\circ}$ ،  $75^{\circ}$  -  $0^{\circ}$ ) و شرقی - غربی ( $165^{\circ}$  -  $105^{\circ}$ ) و شمال غربی - جنوب شرقی ( $165^{\circ}$  -  $105^{\circ}$ ) به صورت سه لایه مجرزا تفکیک شدند. لایه‌های به دست آمده را تا ۴۰۰ متر بافر نموده و در نهایت پس از ترکیب با چند ضلعی محدوده مطالعاتی، مناطق بافر شده وزن‌دهی گردید. به گسل‌های شمال غربی - جنوب شرقی امتیاز ۵، گسل‌های شمال شرقی - جنوب غربی امتیاز ۴ و شرقی - غربی امتیاز ۳ داده شد.

شکل‌های (۲۳-۶)، (۲۴-۶) و (۲۵-۶) گسل‌های تفکیک شده محدوده مطالعاتی را به صورت بافر و وزن‌دهی شده نشان می‌دهند.

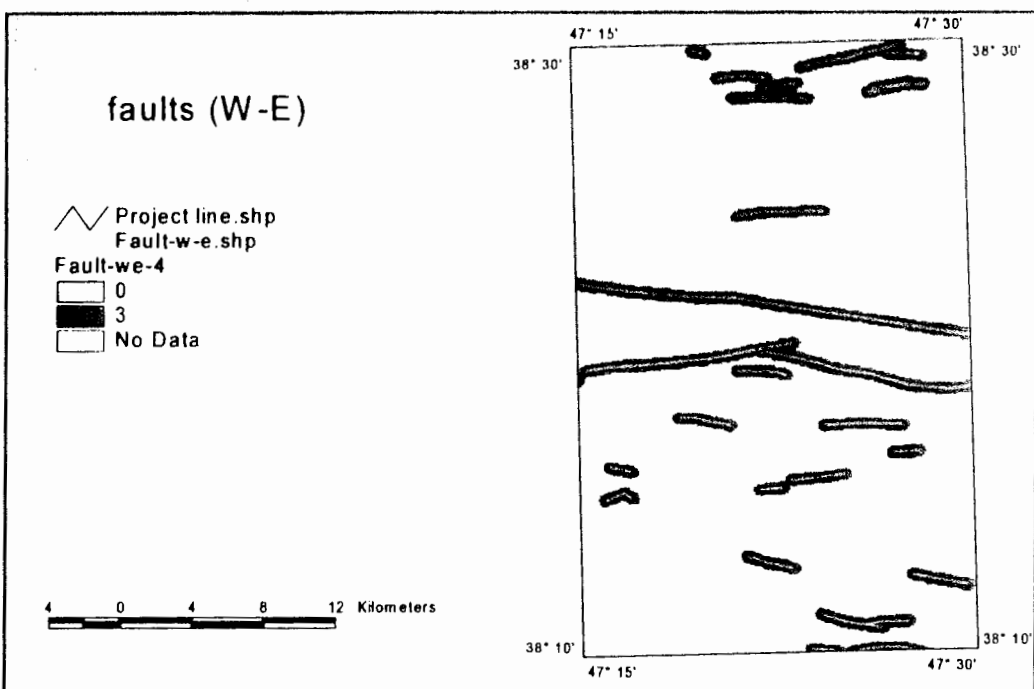
برای بدست آوردن لایه نهایی جهت تهیه نقشه پتانسیل، سه لایه مذکور را به صورت همپوشانی ساده با هم ترکیب می‌نماییم. در این صورت محل تلاقی گسل‌ها که از اهمیت خاصی برخوردار می‌باشند امتیاز بیشتری خواهند داشت. پس از دسته بندی مجدد امتیازها از صفر تا ۵ فایل نهایی به صورت شکل (۲۶-۶) به دست آمد.



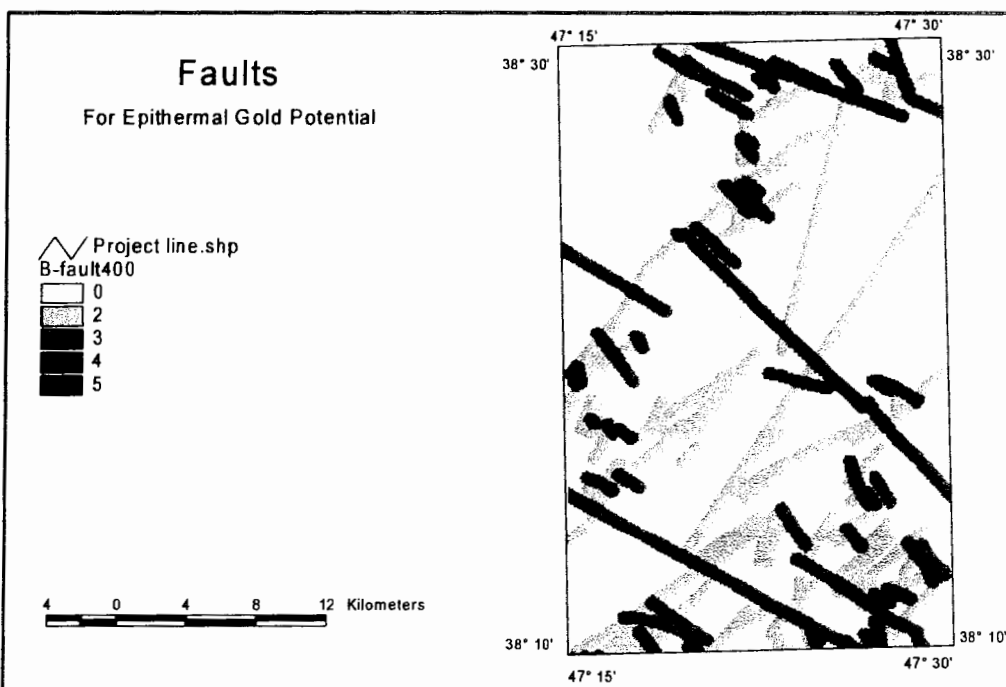
شکل (۲۳-۶): گسل‌های شمال غربی - جنوب شرقی منطقه مطالعاتی



شکل (۲۴-۶): گسل‌های شمال شرقی - جنوب غربی منطقه مطالعاتی



شکل (۲۵-۶): گسل‌های شرقی- غربی منطقه مطالعاتی



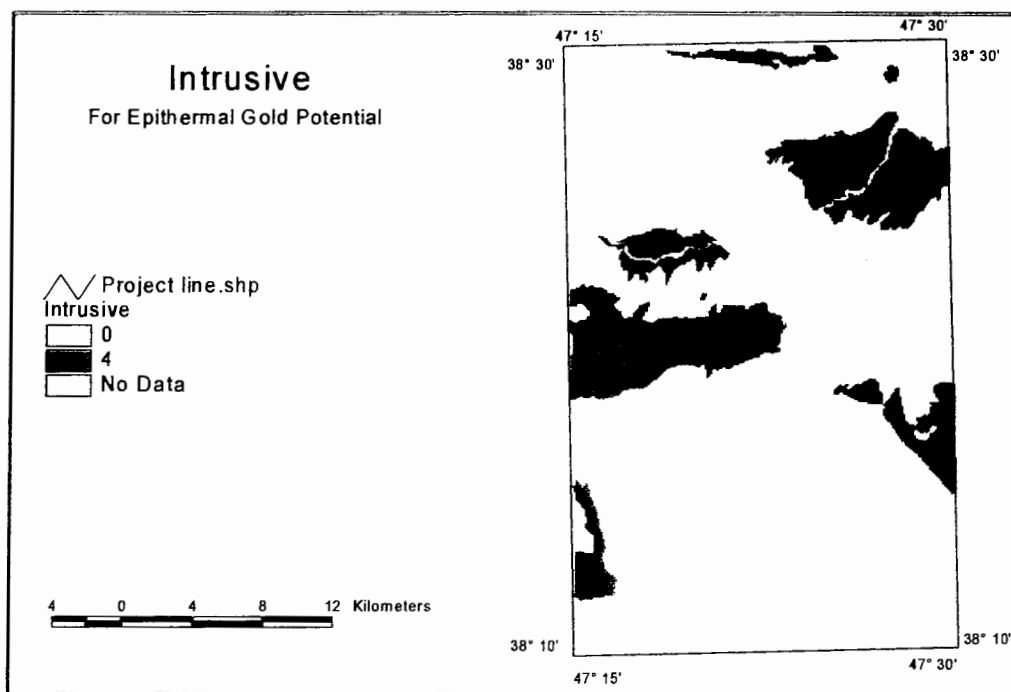
شکل (۲۶-۶): لایه گسل‌های منطقه مطالعاتی جهت مدل‌سازی طلای اپی‌ترمال

پردازش و وزن دهی ساختارهای حلقوی بدست آمده از تصاویر ماهواره‌ای مانند مدل مس پورفیری صورت گرفت.

#### ۴-۲-۲-۶ - سنگ‌های منشأ و میزبان

اطلاعات مربوط به داده‌های زمین‌شناسی مؤثر در کانی‌زائی طلای اپیترمال از نقشه زمین‌شناسی ۱۰۰,...، اهر استخراج گردید. توده‌های نفوذی <sup>۳۷</sup> و <sup>۳۸</sup> که شامل مونزو-گرانیت، گرانودیبوریت، گرانیت، بیوتیت گرانیت و مونزونیت می‌باشند، به عنوان سنگ‌های منشأ و منبع حرارتی انتخاب و پس از ارزش‌دهی با امتیاز ۴ به حالت رستری تبدیل گردید (شکل (۲۷-۶)).

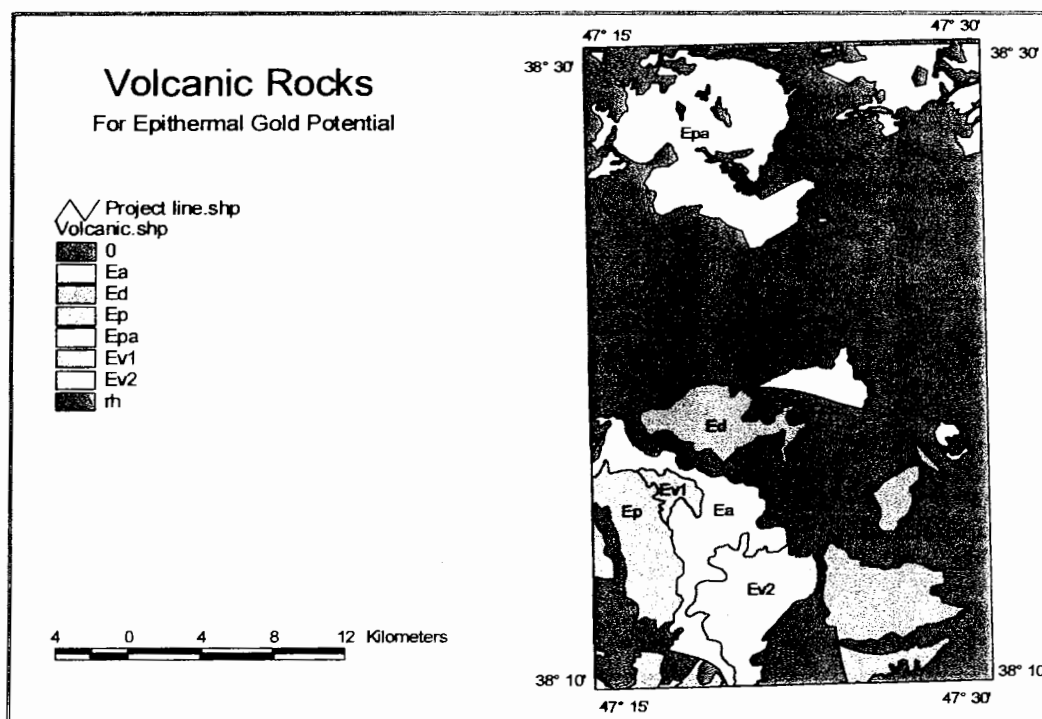
توده‌های نفوذی کم‌عمق نیز که از اطلاعات ژئوفیزیک هوایی بدست آمده، به عنوان یک لایه و منبع حرارتی برای سیستم‌های اپیترمال مانند مدل مس پورفیری وزن دهی شد.



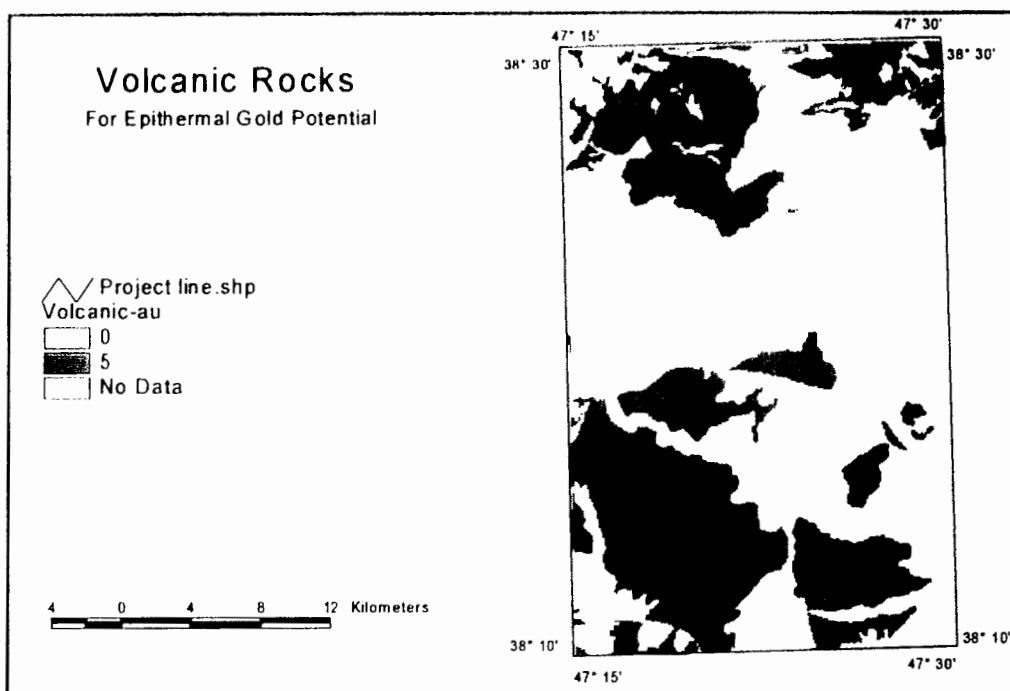
شکل (۲۷-۶): نقشه سنگ‌های منشأ جهت مدل‌سازی طلای اپیترمال

چنانکه قبل اشاره شد، سنگ میزبان اغلب کانسارهای اپیترمال سنگ‌های ولکانیک اسیدی تا حد واسط می‌باشد. لذا تمام واحدهایی که شرایط فوق را در منطقه مطالعاتی داشتند طبق شکل (۲۸-۶) از لایه زمین‌شناسی استخراج شدند.

واحدهای انتخاب شده دارای ترکیبی شامل آندزیت، ریولیت، ریوداسیت و داسیت می‌باشند. جهت استفاده برای مدل سازی و تهیه نقشه پتانسیل، لایه مورد نظر بعد از وزن‌دهی به صورتی که در شکل (۲۹-۶) آورده شده بر اساس وزن داده شده یعنی ۵ به حالت رستری تبدیل گردید.



شکل (۲۸-۶): فهرست واحدهای ولکانیکی انتخاب شده



شکل (۲۹-۶): لایه واحدهای ولکانیکی جهت مدل سازی طلای اپی ترمال

#### ۵-۲-۲-۶- تلفیق نهایی لایه های اطلاعاتی به روش همپوشانی شاخص - طلای اپی ترمال

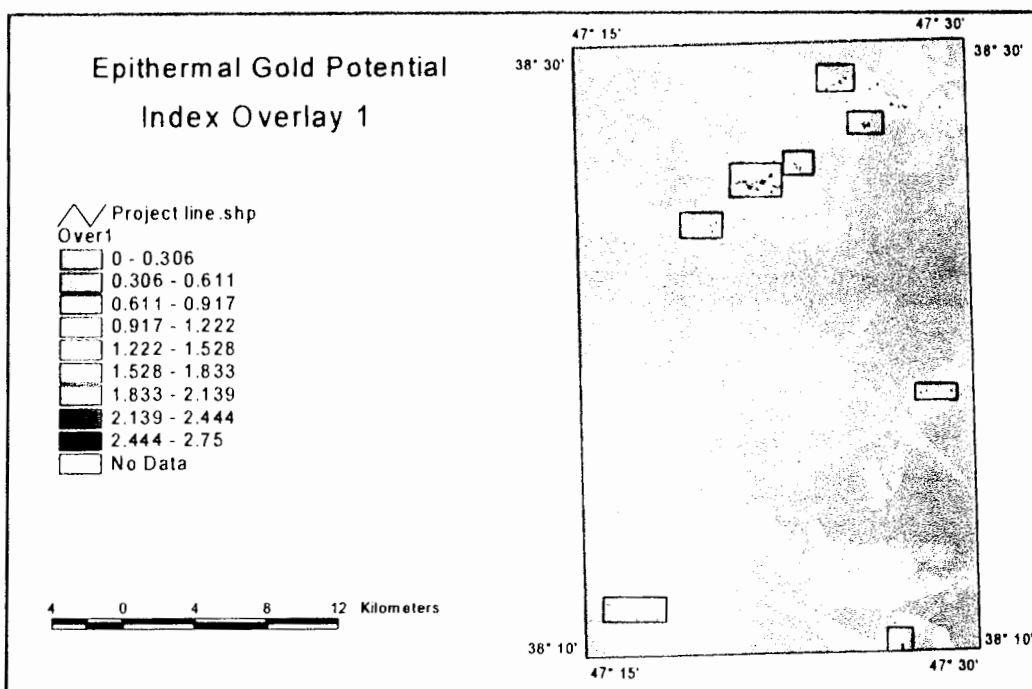
برای مدل سازی نواحی امیدبخش کانی زایی طلای اپی ترمال به روش همپوشانی شاخص مانند کانی زایی مس پورفیری عمل نمودیم. بدین ترتیب که با دادن ارزش های متفاوت  $W_i$  به هر یک از لایه های اکتشافی ذکر شده، چندین مدل متفاوت ساخته شد.

این مدل ها که معرف نواحی امیدبخش برای کانی زایی طلای اپی ترمال می باشند در شکل های (۳۰-۶) تا (۳۵-۶) آورده شده اند.

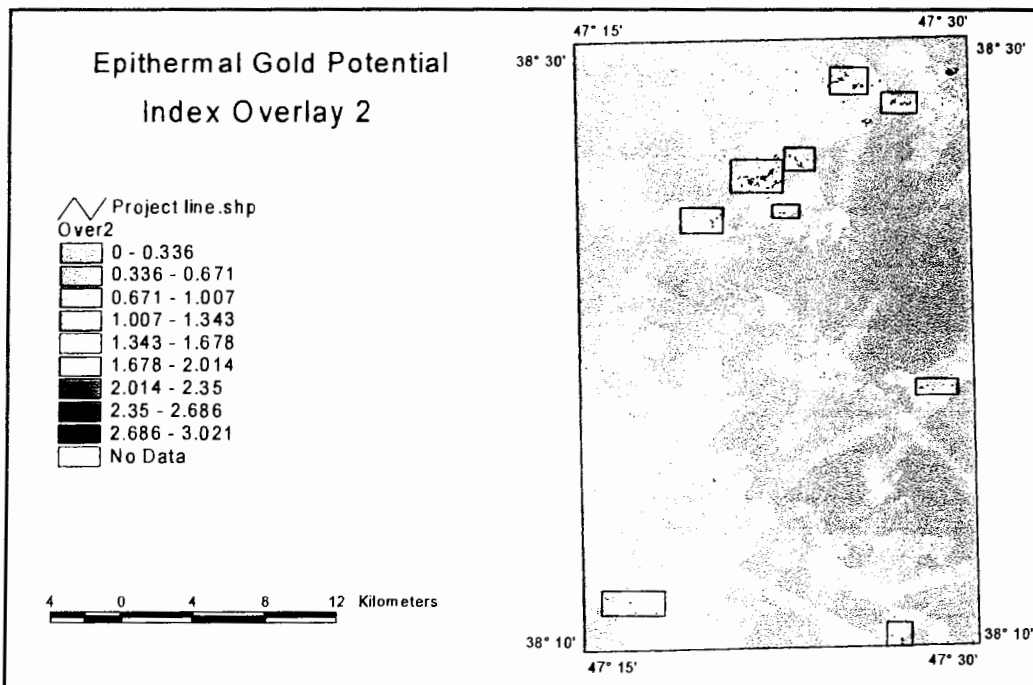
چنانکه در مدل سازی مس پورفیری ذکر شد اگر لایه ژئوشیمی را با C، آلتراسیون های دور سنجی را با A-rs، آلتراسیون های زمین شناسی را با A-geo، گسل ها را با F، ساختارهای حلقوی را با R، سنگ های نفوذی را با I، واحدهای نفوذی کم عمق بدست آمده از اطلاعات ژئوفیزیک هوایی را با S و سنگ های ولکانیکی را با V مشخص کنیم، مدل های معرف کانی زایی طلای اپی ترمال طبق روابط زیر تشکیل شده اند:

$[C + I + V + 2(A-rs) + 1.5(\Lambda-geo) + 1.5(F) + R + S] / 10$	مدل ۱
$[1.25(C) + I + V + 2.5(\Lambda-rs) + 2(\Lambda-geo) + 2(F) + R + S] / 11.75$	مدل ۲
$[C + I + V + 1.5(A-rs) + 2(A-geo) + F + R + S] / 9.5$	مدل ۳
$[2(C) + I + 1.25(V) + 2.5(\Lambda-rs) + 2.25(\Lambda-geo) + 1.25(F) + R + S] / 12.25$	مدل ۴
$[1.25(C) + I + V + 1.75(\Lambda-rs) + 2(\Lambda-geo) + 1.25(F) + R + S] / 10.25$	مدل ۵
$[1.25(C) + I + V + 1.5(A-rs) + 1.5(A-geo) + 1.25(F) + R + S] / 9.5$	مدل ۶

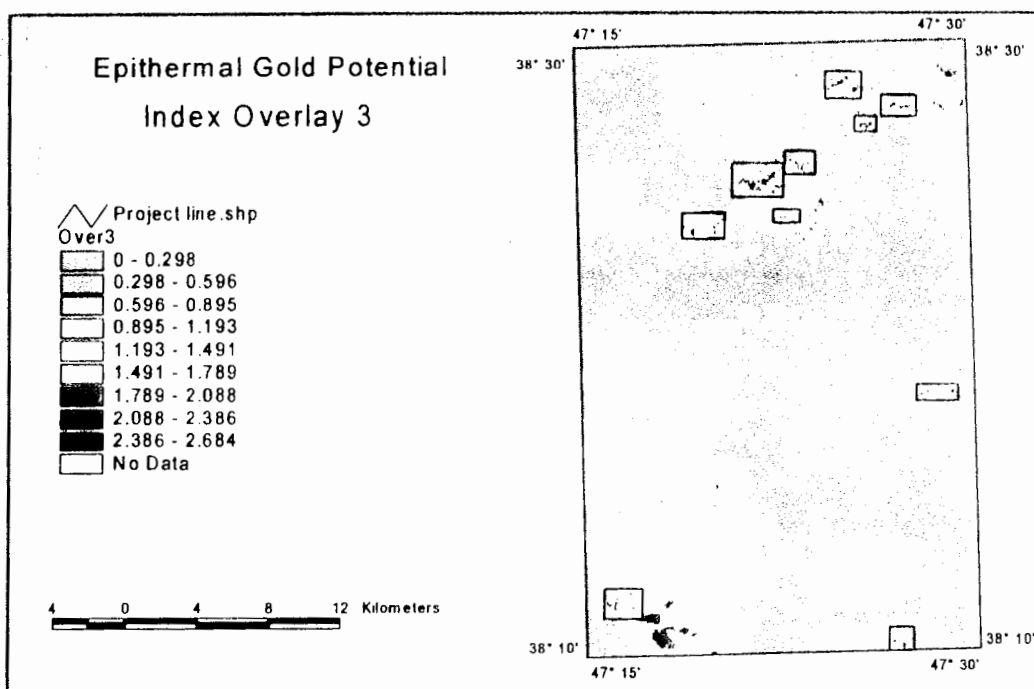
چنانکه مشاهده می‌گردد برای مدل‌سازی مناطق امید بخش کانی‌زایی طلای اپی‌ترمال به روش همپوشانی شاخص ۶ مدل ارائه شده است. البته مدل‌های بیشتری در ابتدا در نظر گرفته شد ولی با توجه به مشابهت بسیاری از مدل‌ها به یکدیگر و یا وجود تفاوت‌های جزئی مدل‌ها با هم، در نهایت ۶ مدل مزبور ارائه گردید. البته مدل‌سازی‌هایی نیز با وزن‌های مختلف برای هر لایه اکتشافی تکرار و آزمایش گردید. با توجه به اینکه وزن‌ها بر اساس پارامترهای کانی‌زایی در منطقه و اهمیت‌شان انتخاب می‌گردند لذا از یک نسبت خاصی نسبت به هم برخوردار می‌باشند. لذا مدل‌های ساخته شده نیز متشابه بودند به همین خاطر وزن‌ها و مدل‌ها به همان صورت ارائه شده در این فصل در نظر گرفته شد.



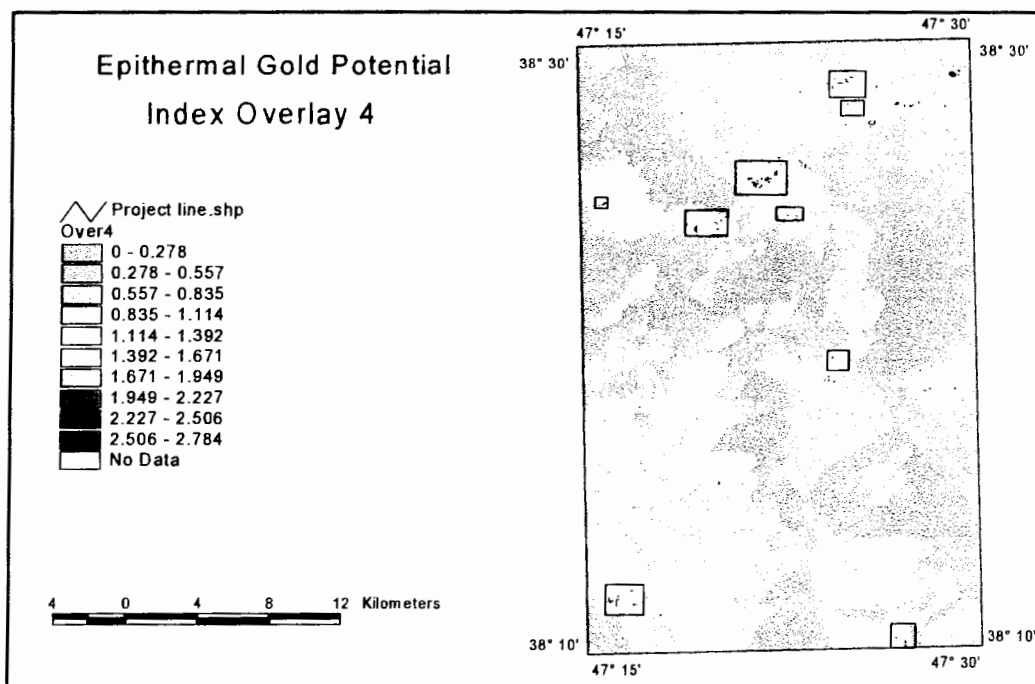
شکل (۳۰-۶): نواحی امید بخش کانی‌زایی طلای اپی‌ترمال – مدل ۱



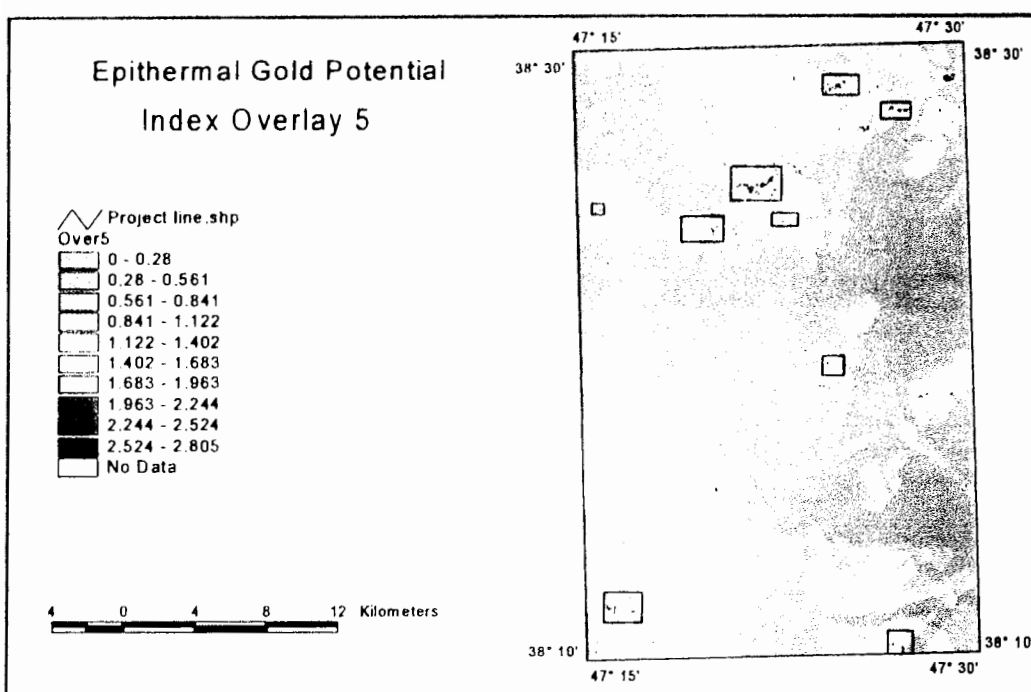
شکل (۳۱-۶): نواحی امید بخش کانی‌زایی طلای اپی‌ترمال – مدل ۲



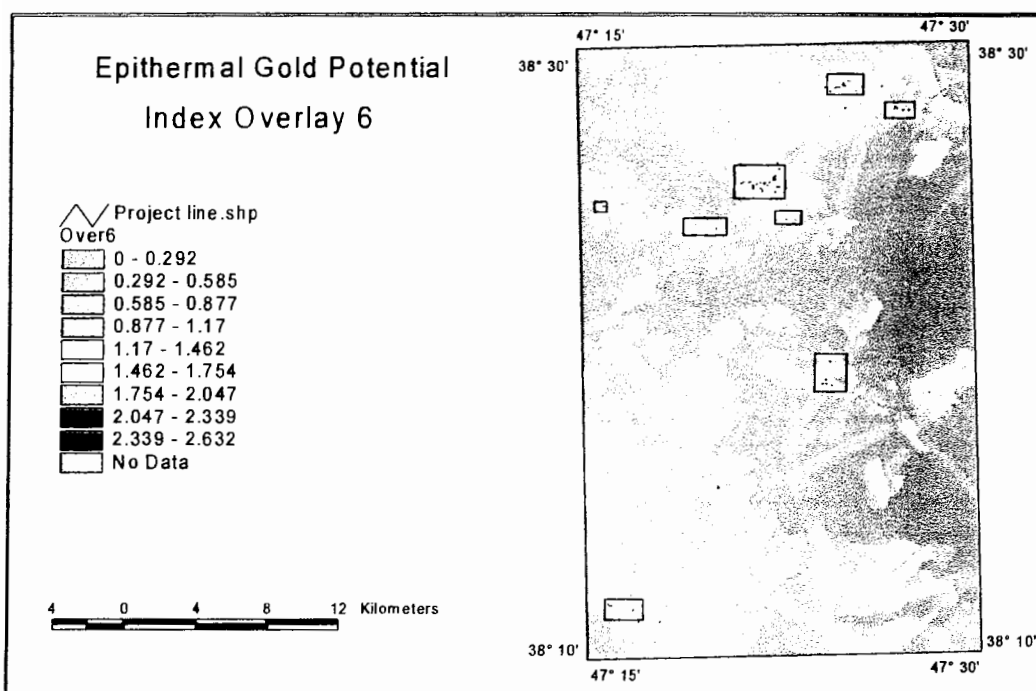
شکل (۳۲-۶): نواحی امید بخش کانی‌زایی طلای اپی‌ترمال – مدل ۳



شکل (۳۳-۶): نواحی امید بخش کانی‌زایی طلای اپی‌ترمال – مدل ۴



شکل (۳۴-۶): نواحی امید بخش کانی‌زایی طلای اپیترمال - مدل ۵



شکل (۳۵-۶): نواحی امید بخش کانی‌زایی طلای اپیترمال - مدل ۶

### **۶-۳- مدل سازی به روش منطق فازی**

یکی دیگر از روش‌های ترکیب لایه‌های اطلاعاتی در GIS استفاده از منطق فازی است که از جهات مختلف شبیه روش همپوشانی شاخص می‌باشد. در این روش لایه‌های اکتشافی وزن‌هایی بین صفر و یک می‌گیرند لذا قوانین ترکیب از انعطاف پیشتری برخوردار است.

در نرم افزار ArcView جهت وزن‌دهی به لایه‌ها از منوی Spatial Data Modeller گزینه Define Fuzzy Membership مورد استفاده قرار می‌گیرد. در این مرحله یک ستون در جدول اطلاعاتی فایل‌های مربوطه به نام Membership تعریف و اضافه شده که شامل وزن‌های اختصاص داده شده به هر یک از کلاس‌های یک لایه اکتشافی است. در نهایت تمام لایه‌های اکتشافی با استفاده از دستور Fuzzy Logic و عملگرهای فازی با هم ترکیب و نقشه مناطق امید بخش معدنی به دست می‌آید [۱۷].

در این پایان نامه از این روش به عنوان روش مکمل و کنترل نتایج روش همپوشانی شاخص استفاده شده است.

### **۶-۳-۱- مدل سازی پتانسیل کانی زایی مس پورفیری**

#### **۶-۳-۱-۱- اطلاعات ژئوشیمیابی**

در این روش نیز مانند روش همپوشانی شاخص از ۴ لایه آنومالی‌های ژئوشیمیابی عناصر مس، طلا، مولیبدن و نقره استفاده گردید. بعد از تبدیل لایه‌های فوق به حالت رستری، آنومالی‌های عناصر فوق بر حسب اهمیت‌شان ارزش‌دهی گردید. چنانکه به مناطق آنومالی مس ارزش ۹۹٪، برای مناطق آنومالی طلا و مولیبدن ارزش ۹٪ و برای مناطق آنومالی نقره وزن ۸۵٪ اختصاص داده شد. در هر یک از لایه‌های فوق به مناطق غیر آنومال ارزش ۱٪ واگذار شد.

بدین ترتیب چهار لایه ژئوشیمی جهت ترکیب با عملگرهای فازی به دست آمد.

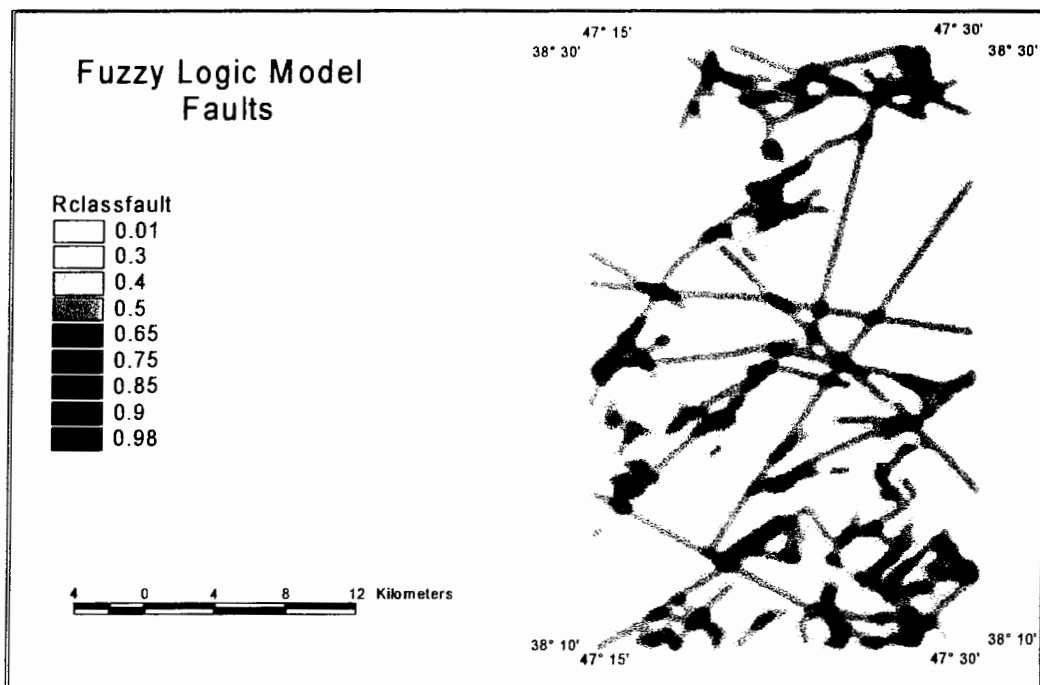
### ۲-۱-۳-۶- آلتراسیون‌ها

آلتراسیون‌های بدست آمده از تصاویر ماهواره‌ای شامل آلتراسیون‌های اکسید آهن و رسی، هر کدام به صورت لایه‌هایی با ۴ کلاس به حالت رستری تبدیل شدند. وزن‌های اختصاص داده شده به کلاس‌های آلتراسیون اکسید آهن به صورت ۰/۰۱، ۰/۰۷، ۰/۰۸ و ۰/۰۹ می‌باشد. به کلاس‌های آلتراسیون رسی وزن‌های ۰/۰۱، ۰/۰۷، ۰/۰۸ و ۰/۸۸ داده شد.

آلتراسیون‌های هیدروترمالی (h) استخراج شده از نقشه زمین‌شناسی نیز پس از تبدیل به حالت رستری و به صورت یک نقشه دو کلاسه ارزش دهی شد. ارزش مناطقی که شامل آلتراسیون‌های هیدروترمالی بودند، ۰/۰۶ و نواحی دیگر محدوده ۰/۰۱ در نظر گرفته شد.

### ۳-۱-۴-۶- ساختارها

جهت استفاده از لایه‌گسل‌ها از نقشه دانسیته خطوط گسل‌ها به شعاع ۷۰۰ متر استفاده گردید. این لایه به صورت ۹ کلاس رتبه بندی شد شکل (۳۶-۶).



شکل (۳۶-۶): لایه‌گسل‌های منطقه با ارزش‌های تعلق یافته بر اساس منطق فازی

ساختارهای حلقوی بدست آمده از تصاویر ماهواره‌ای بر حسب اندازه‌شان، به سه لایه تفکیک شده و هر کدام جداگانه ارزش دهی گردید. به ترتیب از کوچک به بزرگ وزن‌های ۰/۷، ۰/۶ و ۰/۵ به آنها واکذار شد.

سه لایه فوق و لایه گسل‌های منطقه به عنوان لایه‌های ساختاری در مدل‌سازی نهایی توسط عملگرهای فازی ترکیب می‌شوند.

#### ۴-۱-۳-۶- سنگ‌های منشأ

همان واحدهایی که برای مدل‌سازی به روش همپوشانی شاخص انتخاب شده بودند، بعد از تبدیل به حالت رستری بر اساس منطق فازی ارزش دهی شدند. به مناطق دارای توده نفوذی ارزش ۰/۹۹ و به دیگر مناطق محدوده مطالعاتی ارزش ۱/۰ داده شد.

به واحدهای نفوذی کم عمق حاصل از داده‌های ژئوفیزیک هوایی نیز ارزش ۰/۶ واکذار گردید.

#### ۴-۱-۳-۶- تلفیق نهایی لایه‌های اطلاعاتی به روش منطق فازی - مس پورفیری

جهت به دست آوردن نواحی امید بخش معدنی برای کانی‌زایی مس پورفیری بر اساس منطق فازی، لایه‌های اکتشافی موجود طبق عملگرهای فازی ترکیب می‌گردند. عملگرهای جمع جبری فازی، "یا" فازی و گاما نسبت به عملگرهای ضرب جبری فازی و "و" فازی بیشتر مورد استفاده قرار می‌گیرند.

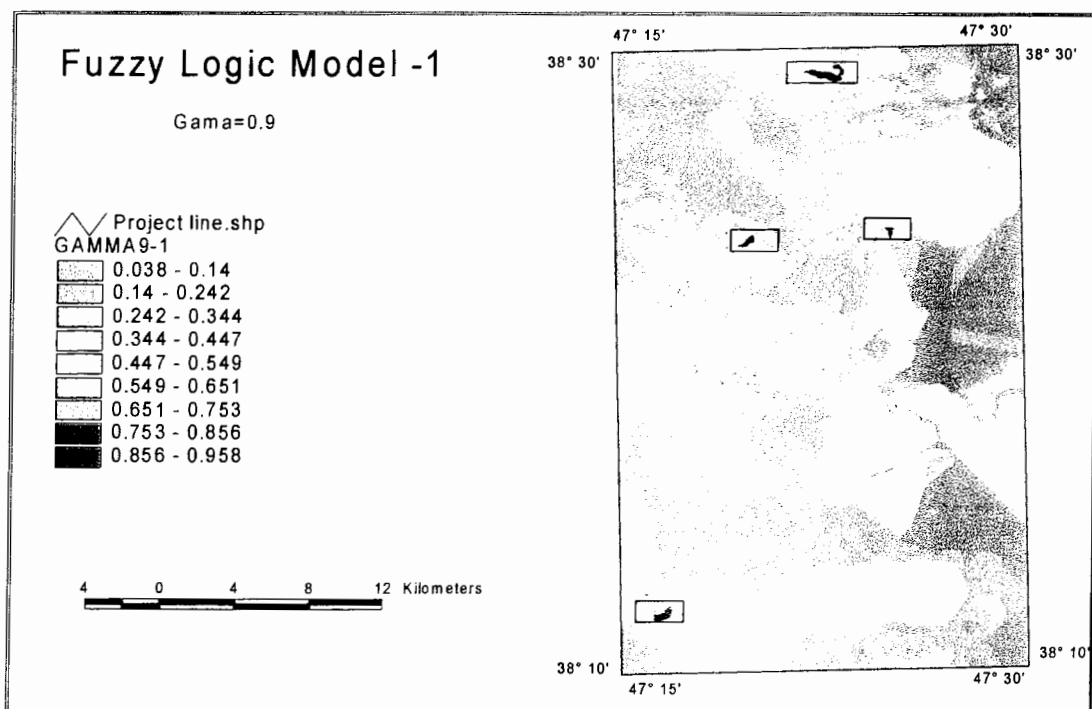
جهت مدل‌سازی، ابتدا تمام اطلاعات موجود که از یک گروه می‌باشند با هم ترکیب می‌شوند. به عنوان مثال تمام لایه‌های آنومالی ژئوشیمیایی عناصر مرتبط با کانی‌زایی با هم ترکیب می‌شوند یا تمامی لایه‌های ساختارهای حلقوی و گسل‌ها باهم ترکیب و لایه ساختاری منطقه تشکیل می‌گردد. ترکیب چنین لایه‌هایی می‌تواند توسط عملگرهای "یا" فازی، "و" فازی یا جمع جبری فازی

صورت گیرد. در نهایت تمام لایه‌های ایجاد شده با عملگر گاما که یک عملگر ترکیبی از جمع جبری و ضرب جبری است ترکیب می‌گردد.

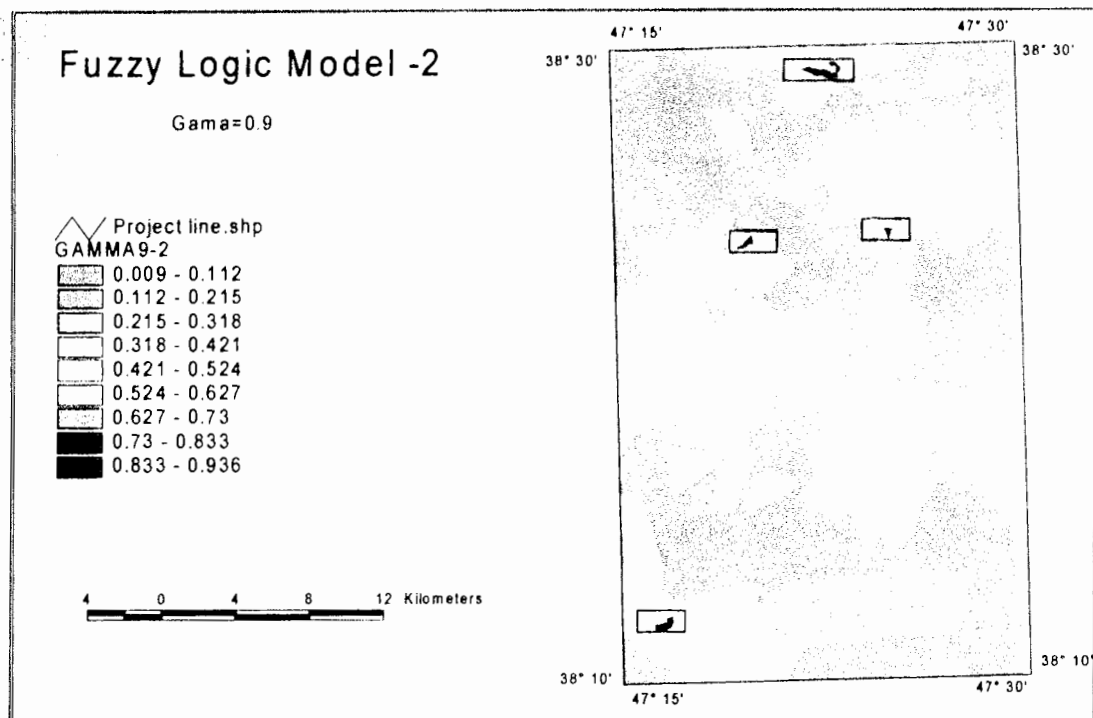
برای تهیه نقشه پتانسیل کانی‌زایی مس پورفیری در منطقه مطالعاتی چندین ترکیب و مدل سازی با اعمال عملگرهای مختلف فازی صورت گرفت. لایه نهایی حاصل از مدل‌سازی‌ها که معرف نواحی امید بخش کانی‌زایی مس پورفیری می‌باشد در شکل‌های (۳۷-۶) تا (۴۳-۶) آورده شده است.

نمودار درختی مدل‌سازی‌های انجام گرفته که گویای نحوه ترکیب لایه‌های مختلف با عملگرهای فازی می‌باشد در شکل‌های (۴۴-۶) تا (۵۰-۶) نمایش داده می‌شود.

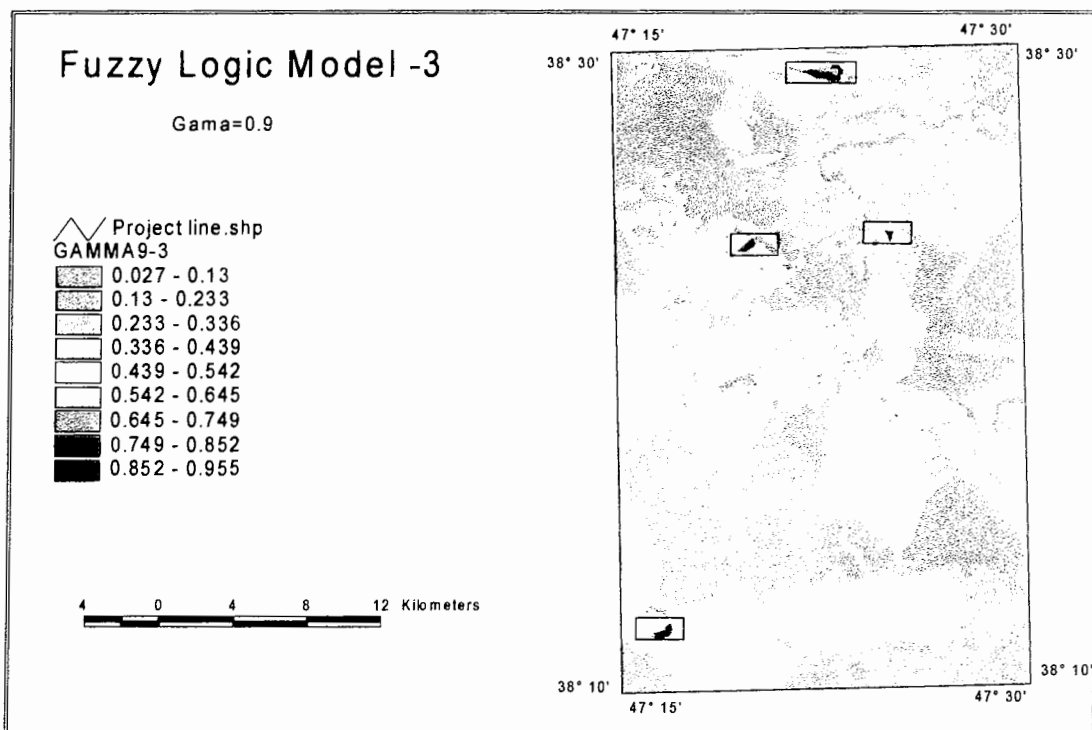
مدل سازی شماره ۴ و ۵ هر کدام دو بار انجام شده (۴a و ۴b - ۵a و ۵b) و تنها تفاوت در انتخاب مقدار گاما در ترکیب لایه‌های نهایی می‌باشد. با انتخاب  $\gamma = 0.85$  ماهیت این عملگر به صورت کاهشی نمود پیدا کرده و مناطق امید بخش محدودتر می‌گردد (شکل‌های (۴۰-۶) تا (۴۳-۶)). البته انتخاب مقادیر کمتر گاما از حد خاصی باعث محو شدن نقاط آنومالی می‌شود.



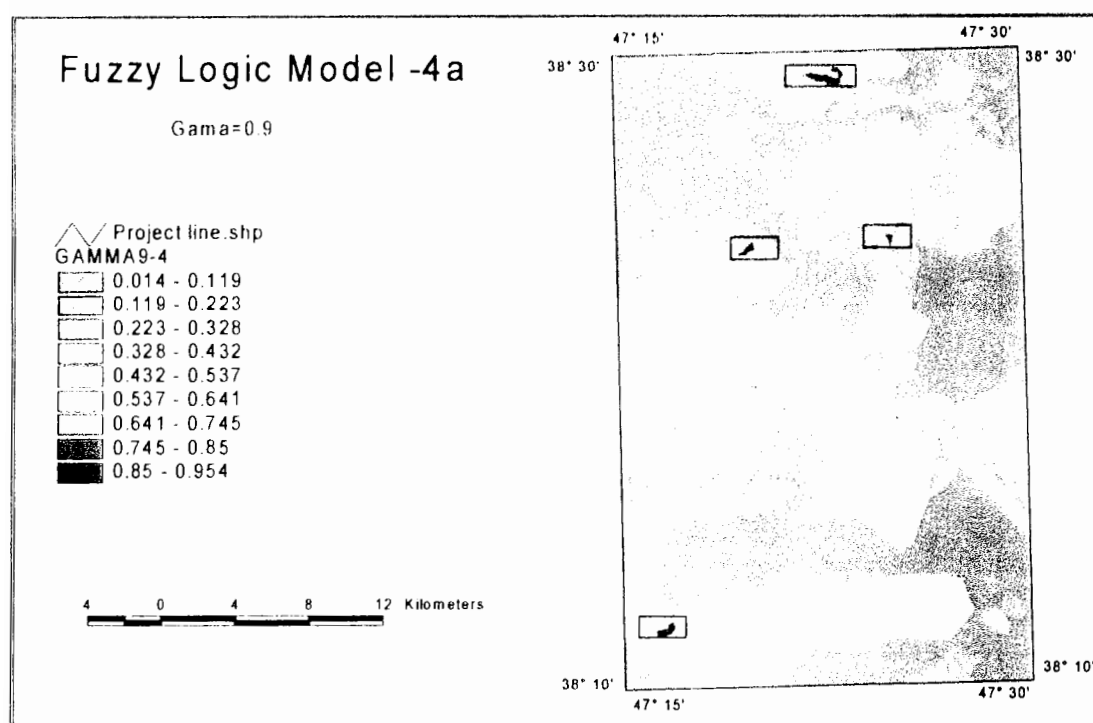
شکل (۳۷-۶): نواحی امید بخش کانی‌زایی مس پورفیری - مدل ۱



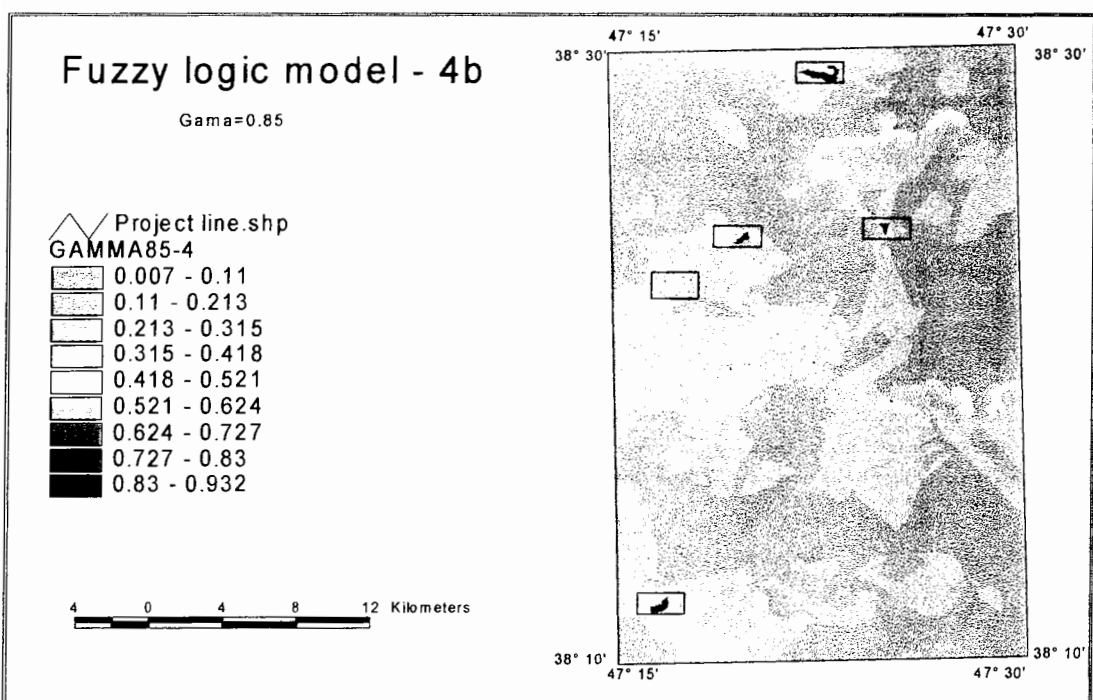
شکل (۳۸-۶): نواحی امید بخش کانی‌زایی مس پورفیری - مدل ۲



شکل (۳۹-۶): نواحی امید بخش کانی‌زایی مس پورفیری - مدل ۳

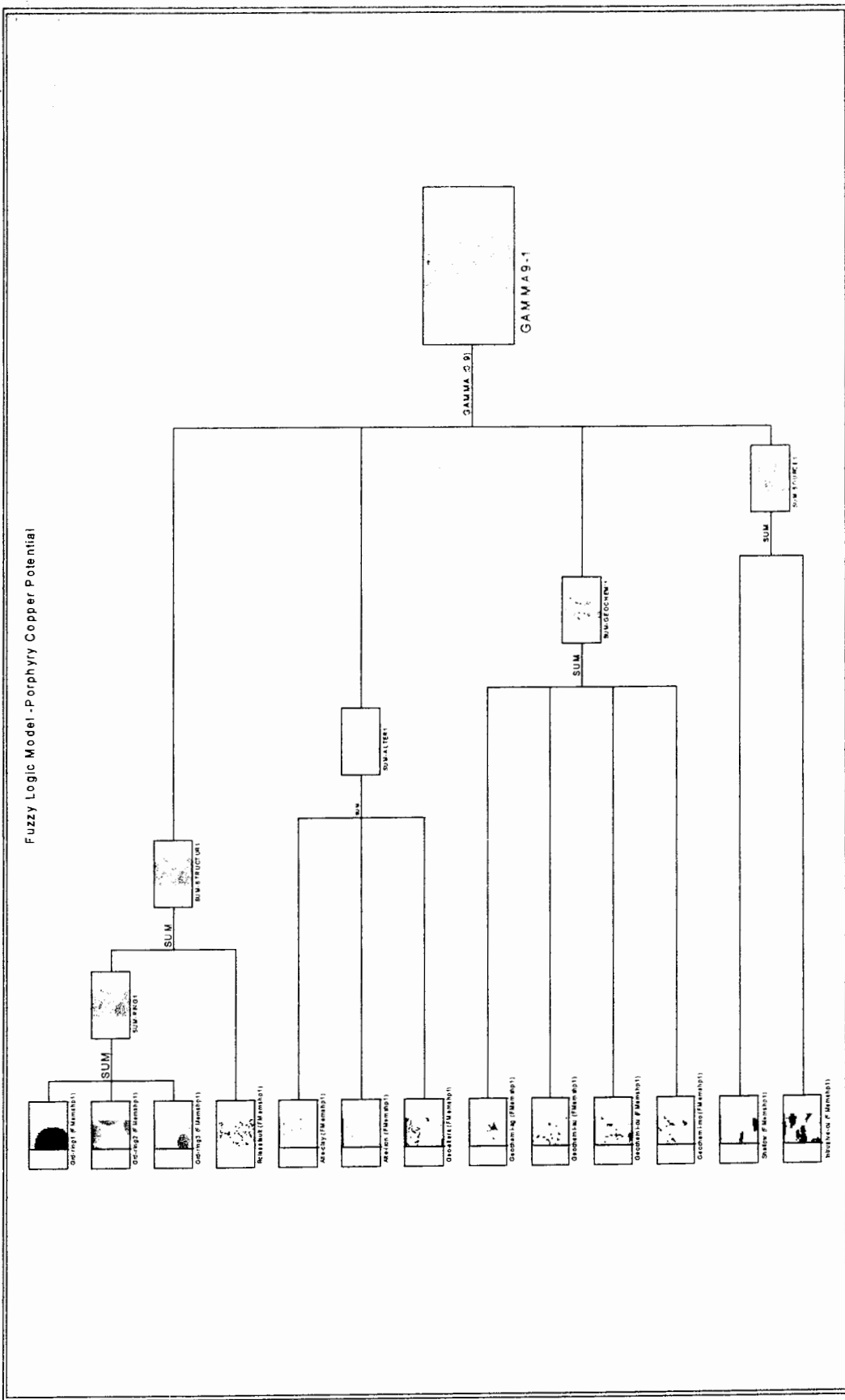


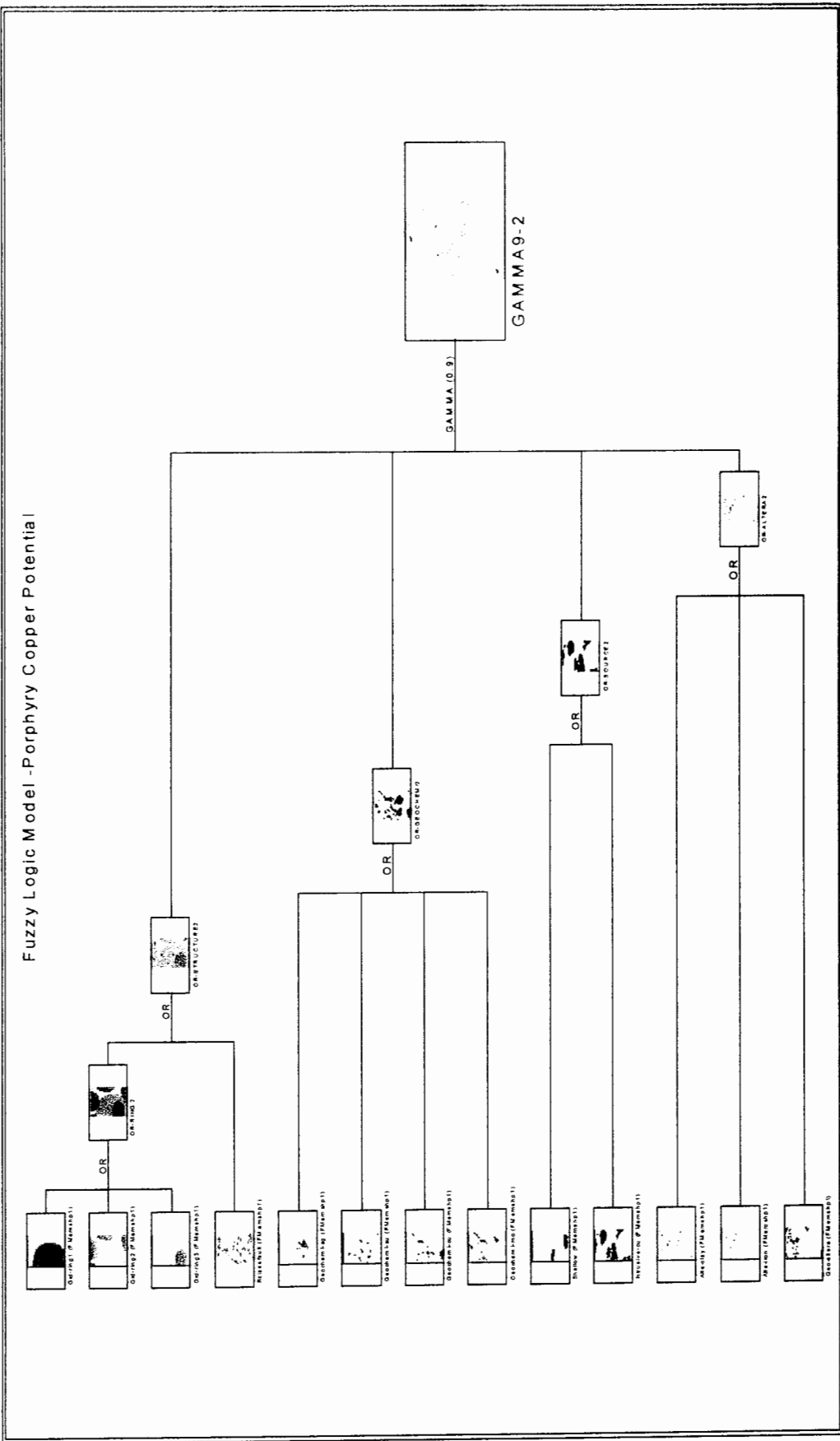
شکل (٤٠-٦): نواحی امید بخش کانی‌زایی مس پورفیری - مدل ٤a



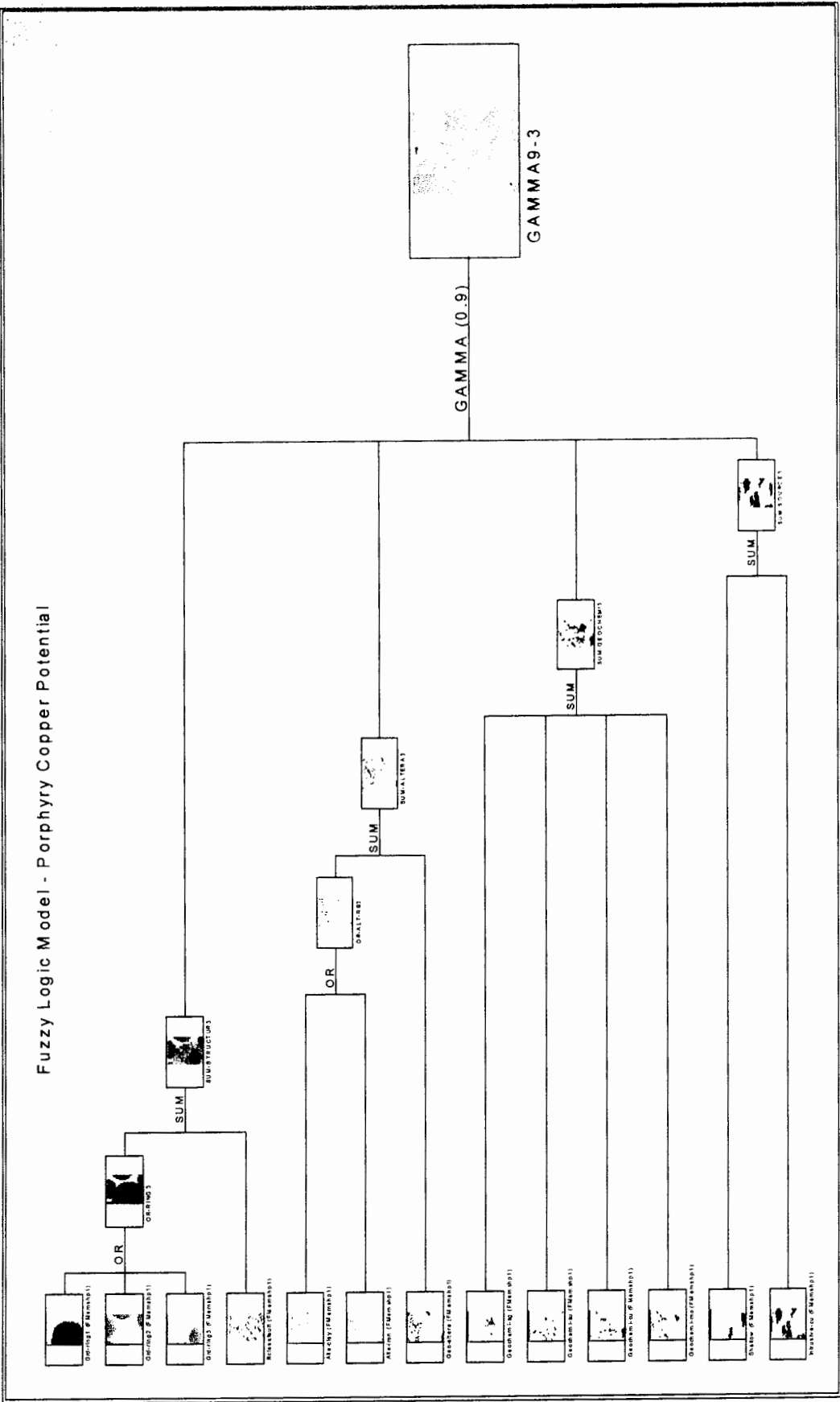
شکل (٤١-٦): نواحی امید بخش کانی‌زایی مس پورفیری - مدل ٤b

شکل (۶-۴۴): نمودار درختی ترکیب و مدل سازی لایه های اکتشافی به روش منطق فازی - مدل ۱

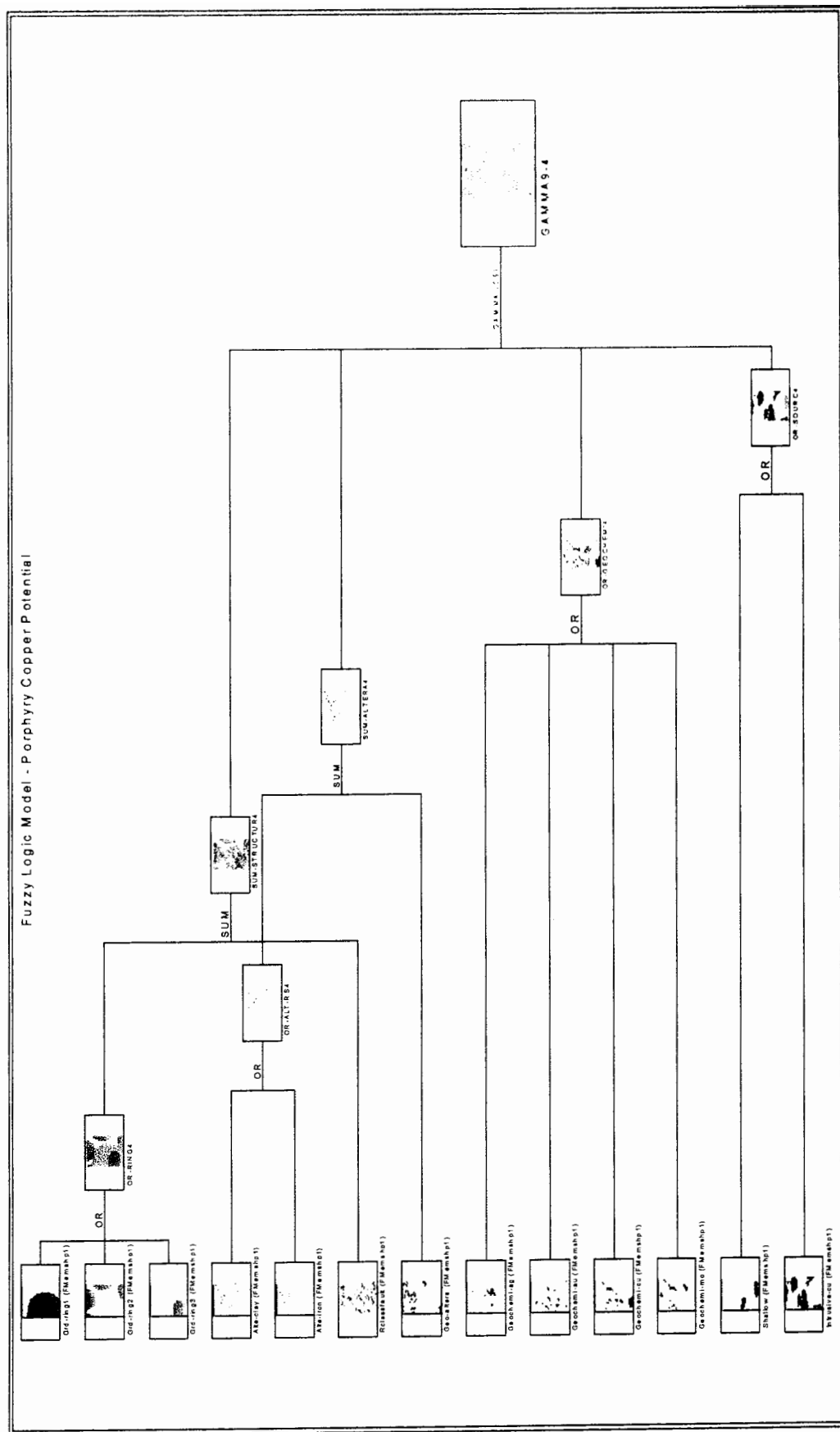




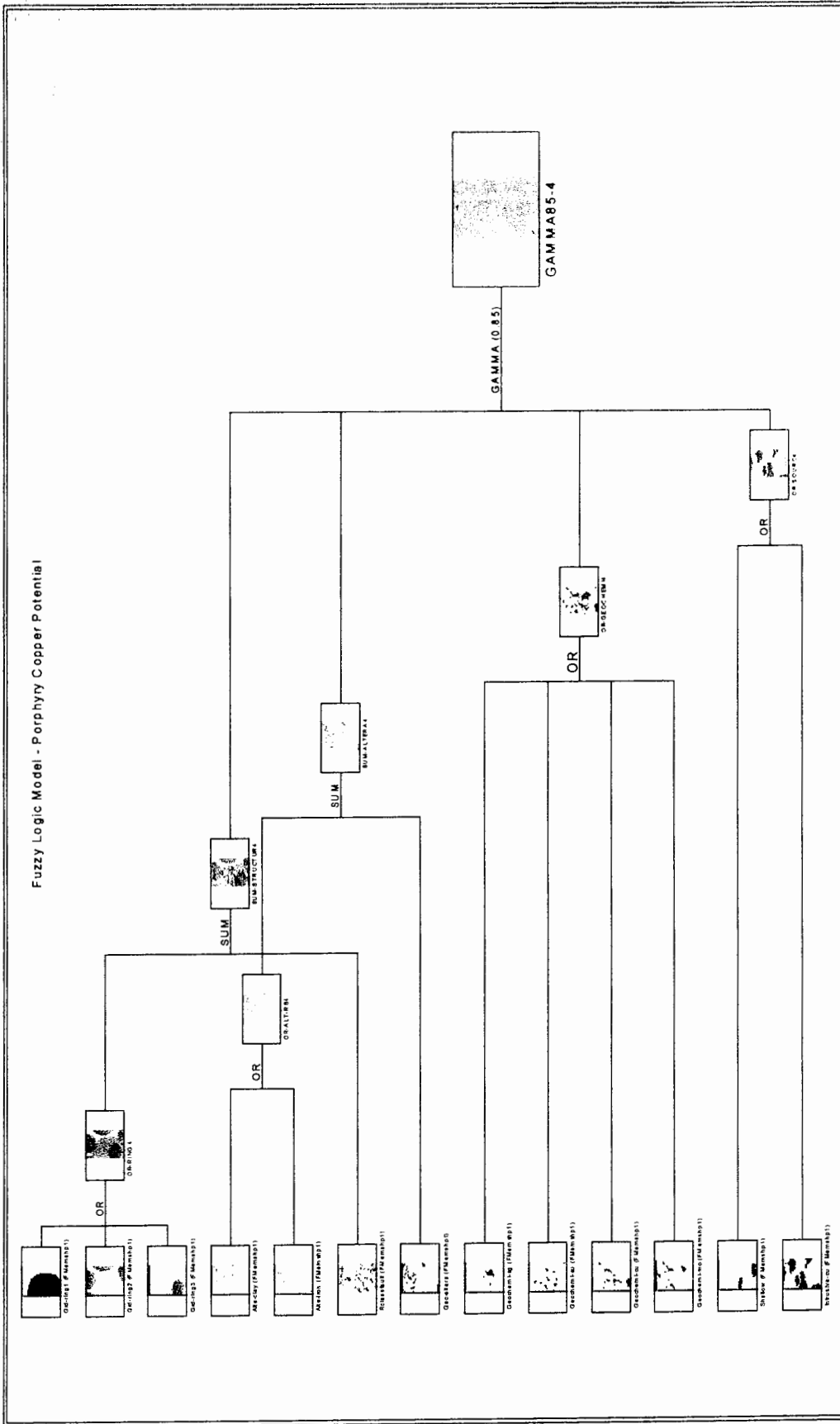
شکل (۶-۵-۴): نمودار درختی ترکیب و مدل سازی لایه های اکتشافی به روش منطق فازی - مدل ۲



شکل (۶-۶۴): نمودار درختی ترکیب و مدل سازی لایه های اکتشافی به روش منطق فازی - مدل ۳

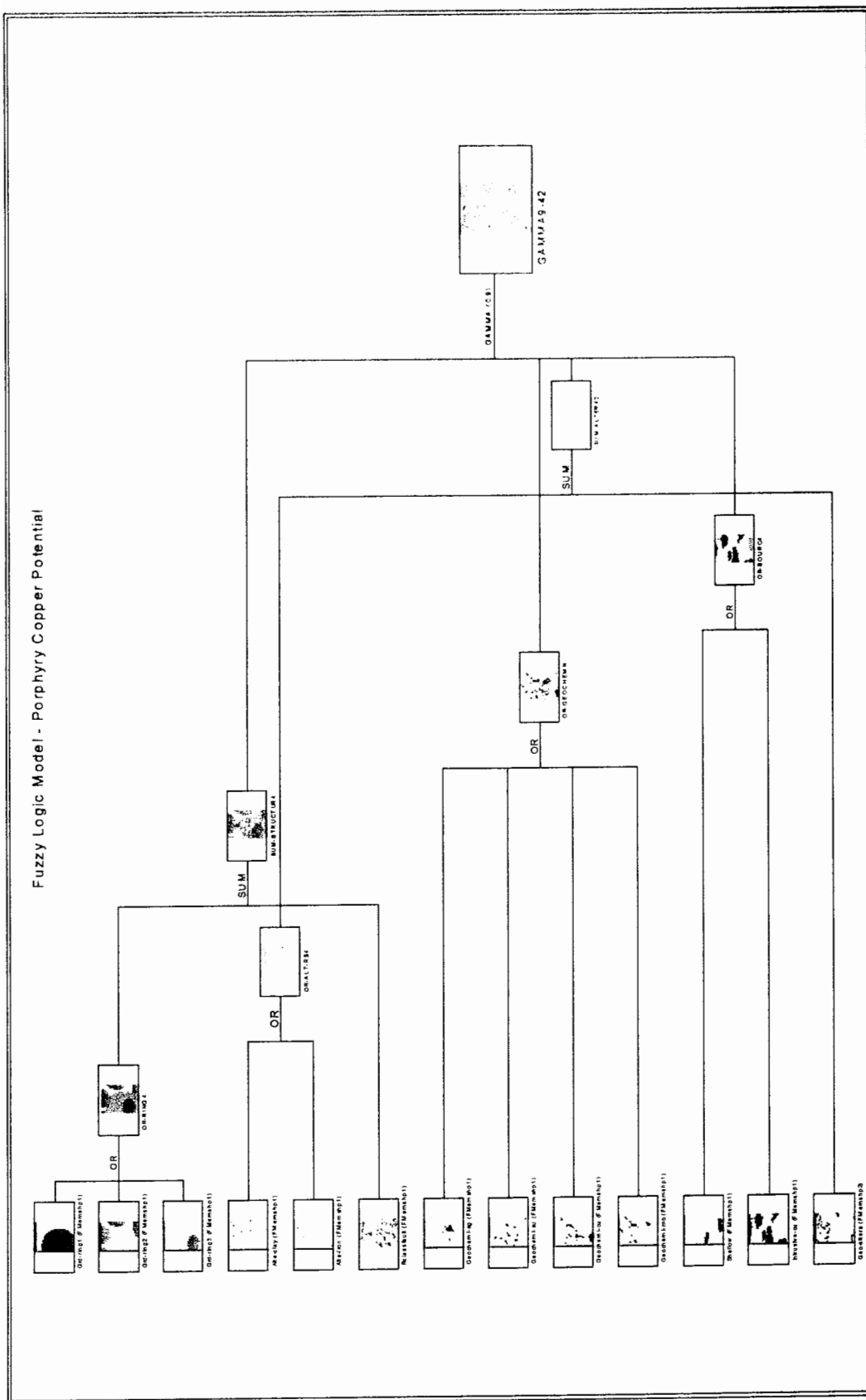


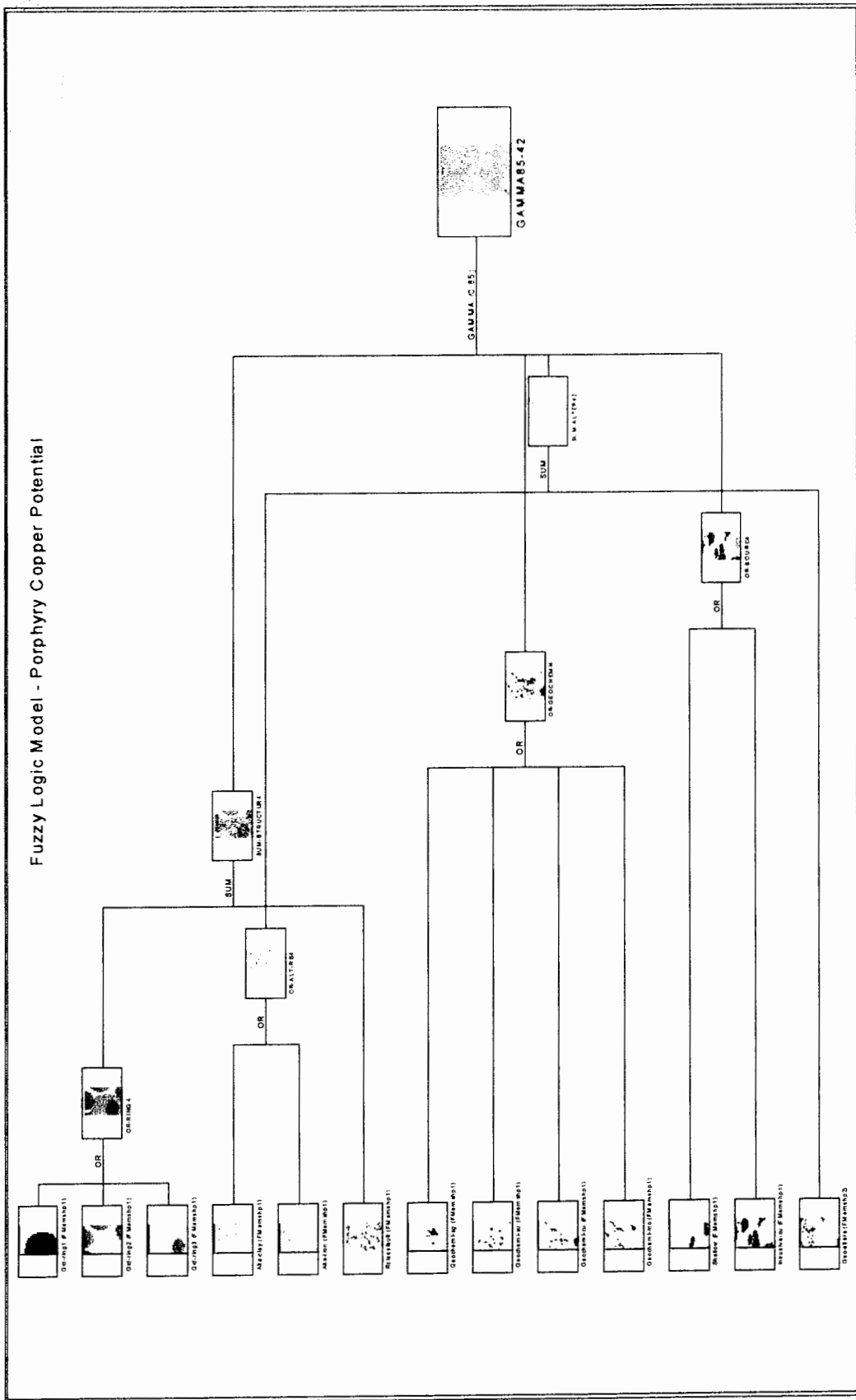
شکل (۶-۷۴): نمودار درختی ترکیب و مدل سازی لایه های اکتشافی به روش منطق فازی – مدل ۴a



شکل (۴-۸-۴): نمودار درختی ترکیب و مدل سازی لایه های اکتشافی به روش منطق فازی - مدل ۹۶

شکل (۶-۹۴): نمودار درختی ترکیب و مدل سازی لایه های اکتشافی به روش منطق فازی - مدل ۵a



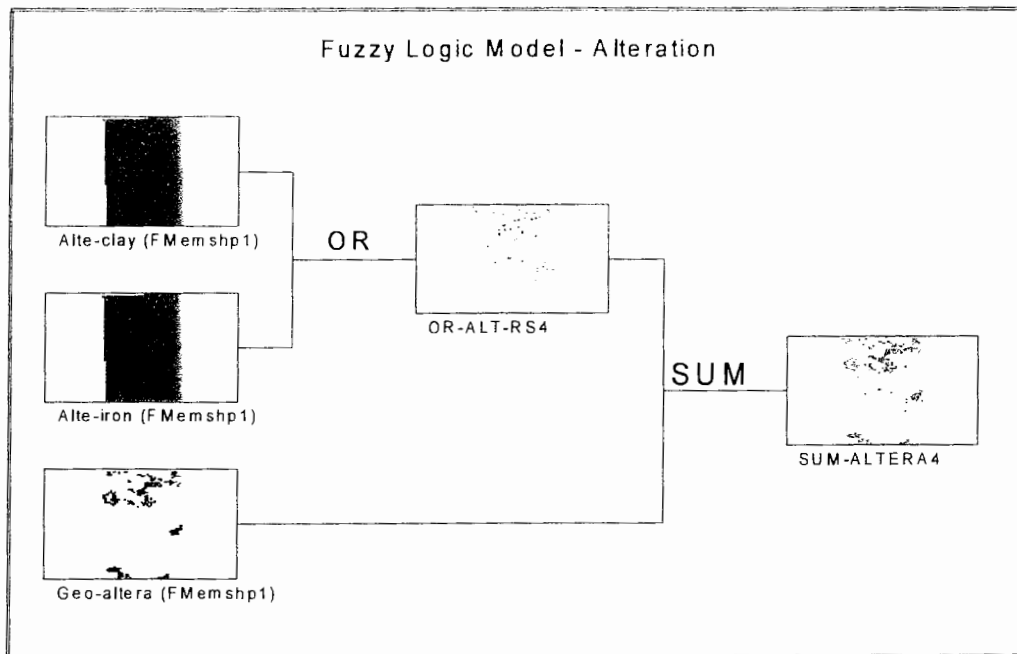


شکل (۶-۰۵): نمودار درختی ترکیب و مدل سازی لایه های اکتشافی به روش منطق فازی - مدل ۶۵

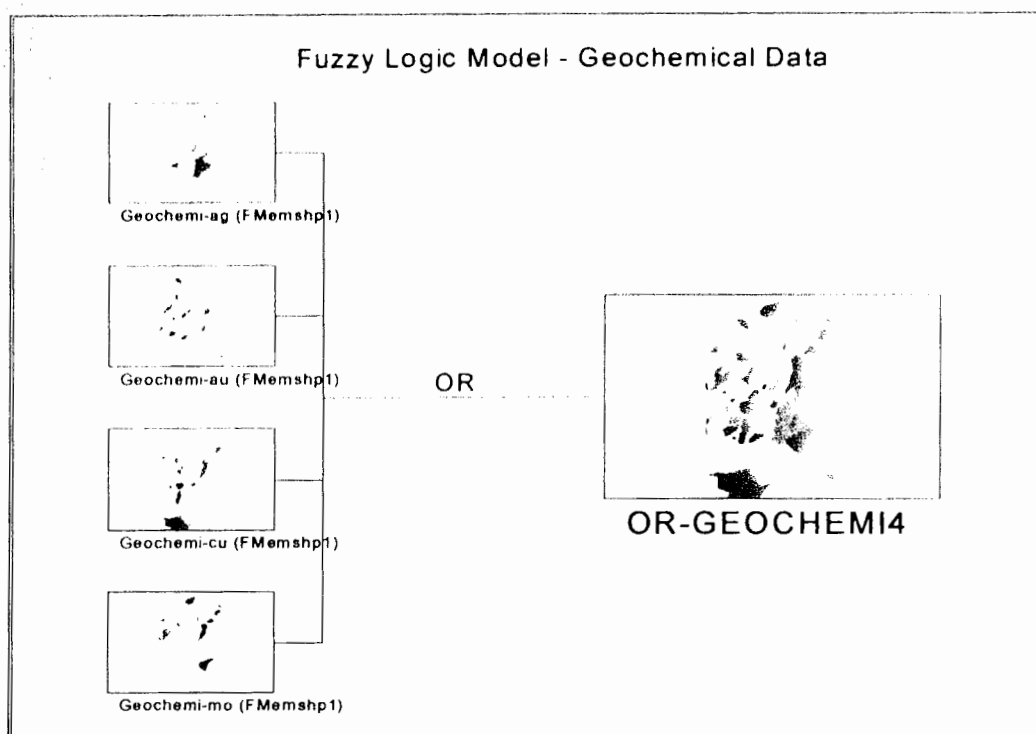
چنانکه در شکل‌های (۳۷-۶) تا (۴۳-۶) به عنوان نواحی مدل‌سازی شده و امید بخش کانی‌زایی مس

پورفیری دیده می‌شود، مناطق معرفی شده جهت کانی‌زایی تقریباً مشابه می‌باشند. کنترل نتایج حاصل از مدل‌سازی با منطق فازی و همپوشانی شاخص همدیگر را تایید می‌کنند.

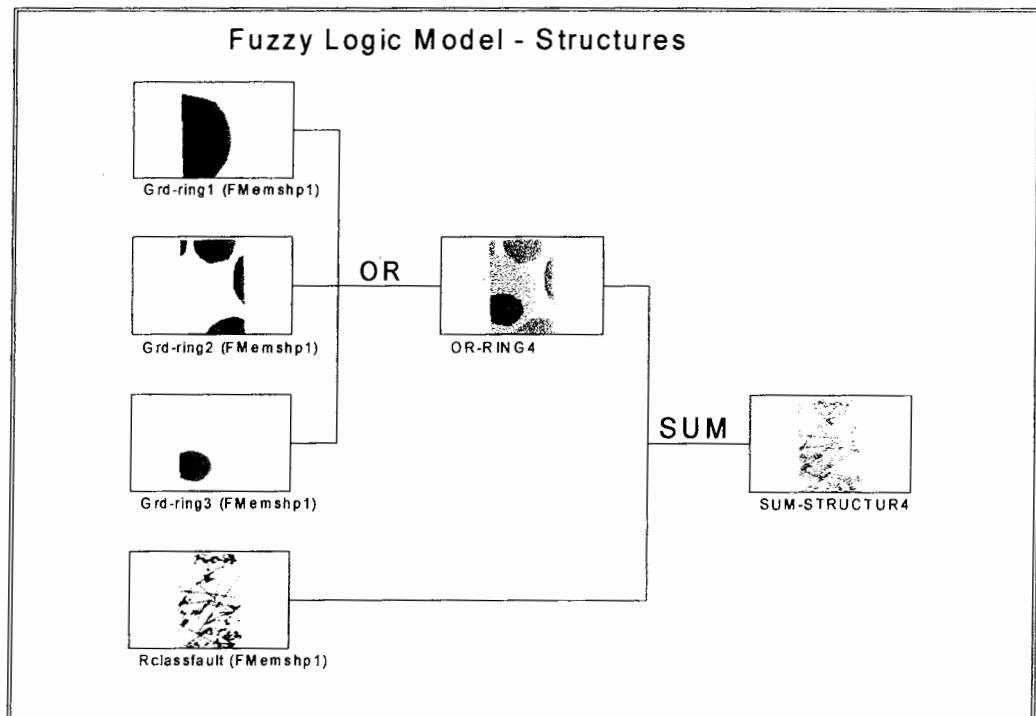
چگونگی تلفیق داده‌های اکتشافی با عملگرهای فازی در شکل‌های (۵۱-۶) تا (۵۴-۶) برای مدل‌سازی شماره ۴ نشان داده شده است. شکل‌های مزبور همان تفکیک شده نمودار درختی مربوط به مدل سازی شماره ۴ می‌باشد. در نهایت چهار لایه بدست آمده در شکل‌های (۵۱-۶) تا (۵۴-۶) که شامل لایه‌های آلتراسیون‌ها، ژئوشیمی، ساختارها و سنگ‌های منشأ می‌باشند با عملگر گاما ترکیب و نقشه نواحی پتانسیل دار معدنی به دست آمد (شکل (۵۵-۶)).



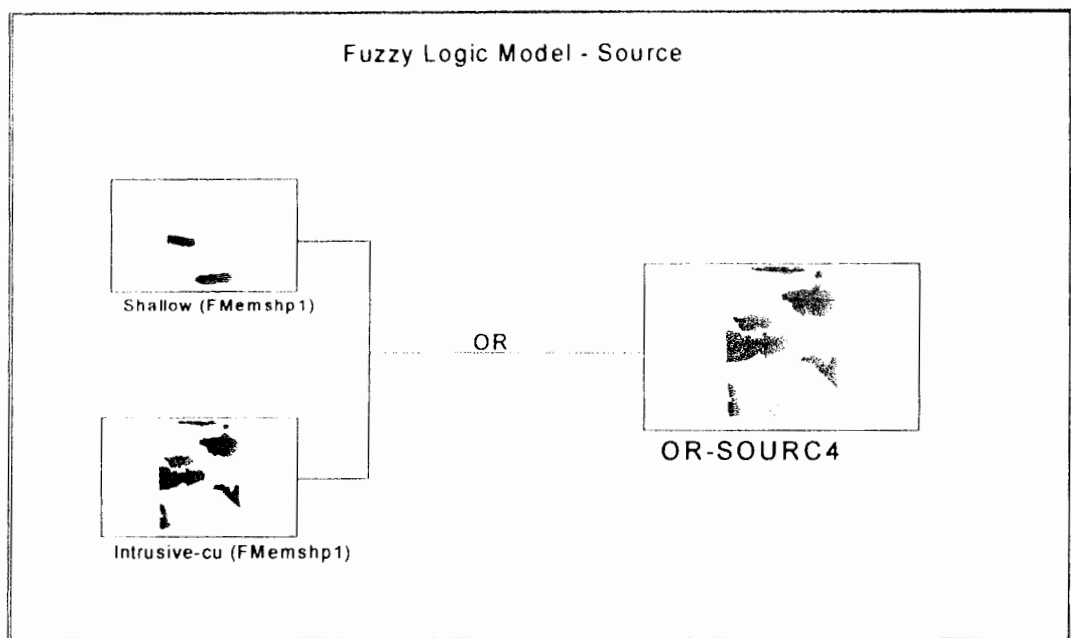
شکل (۵۱-۶): ترکیب لایه‌های آلتراسیون با استفاده از منطق فازی - مدل ۴



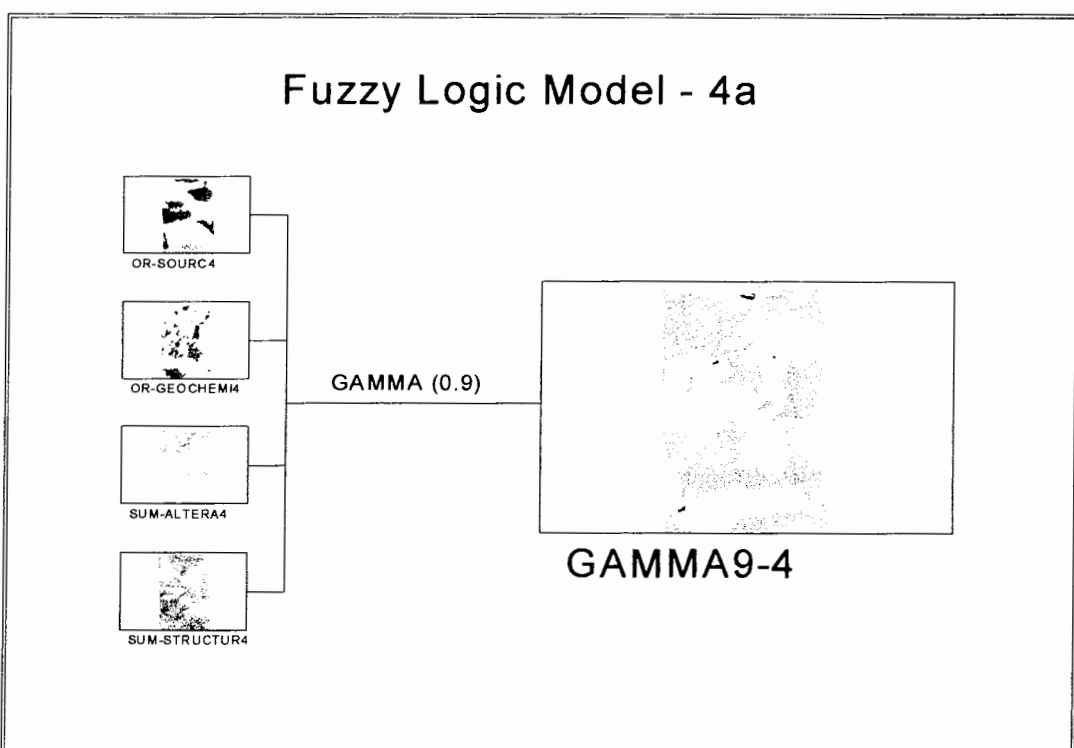
شکل (۵۲-۶): ترکیب لایه های ژئوشیمی با استفاده از منطق فازی – مدل ۴



شکل (۵۳-۶): ترکیب لایه های ساختاری با استفاده از منطق فازی – مدل ۴



شکل (۵۴-۶): ترکیب لایه های منشا با استفاده از منطق فازی - مدل ۴



شکل (۵۵-۶): ترکیب نهایی لایه های اکتشافی با استفاده از منطق فازی - مدل ۴

### ۶-۳-۲- مدل سازی پتانسیل کانی زایی طلای اپی ترمال

#### ۶-۳-۱- اطلاعات ژئوشیمیایی

لایه‌های ژئوشیمیایی مربوط به آنومالی‌های عناصر طلا، مس، نقره، آرسنیک و آنتیموان همچون روش همپوشانی شاخص جهت مدل سازی کانی زایی طلای اپی ترمال انتخاب گردید. مناطق آنومال بر اساس منطق فازی به ترتیب اهمیت‌شان ارزش دهی شد به طوری که برای محدوده‌های آنومالی طلا با توجه به اهمیت و هدف اکتشافی ارزش ۰/۹ و محدوده‌های آنومالی مس، آرسنیک، نقره، آنتیموان ارزش ۰/۸ داده شد.

#### ۶-۳-۲- آلتراسیون‌ها

آلتراسیون‌های رسی حاصل از مطالعات دورسنجی در ۴ کلاس به ترتیب با وزن‌های ۰/۹۷، ۰/۹۹، ۰/۹۵ و ۰/۹۱ و مناطق آلتراسیونی اکسید آهن نیز در ۴ کلاس با وزن‌های ۰/۹۵، ۰/۹۰، ۰/۸۵ و ۰/۹۰ ارزش دهی گردید.

لازم به ذکر است در این مدل سازی مناطق آلتراسیونی موجود بر روی نقشه زمین شناسی در گروه سنگ‌های میزبان آورده شده است. لذا در این گروه از تکرار آنها خودداری شده است.

#### ۶-۳-۲-۳- ساختارها

چنانکه در روش همپوشانی شاخص اشاره شد، لایه گسل‌های منطقه با جهت گسلش متفاوت بر اساس اهمیت‌شان در کانه‌زایی به ۳ دسته تقسیم شدند. هر یک از لایه‌های فوق تا ۶۰۰ متر به صورت سه کلاس ۲۰۰ متری بافر گردید. به طوری که هر لایه دارای ۴ کلاس می‌باشد. ارزش دهی لایه گسل‌های منطقه بر اساس جدول (۱-۶) صورت گرفت.

جدول(۱-۶): جدول ارزش دهی و بافر سه گروه گسل ها در کانی زایی طلای ابی ترمال

نوع گسل ها	میزان بافر	ارزش داده شده
NW- SE	۰ - ۲۰۰	۰/۹۵
	۲۰۰ - ۴۰۰	۰/۹۰
	۴۰۰ - ۶۰۰	۰/۸۵
	>۶۰۰	۰/۰۱
NE-SW	۰ - ۲۰۰	۰/۹۰
	۲۰۰ - ۴۰۰	۰/۸۰
	۴۰۰ - ۶۰۰	۰/۷۰
	>۶۰۰	۰/۰۱
W-E	۰ - ۲۰۰	۰/۷۵
	۲۰۰ - ۴۰۰	۰/۶۵
	۴۰۰ - ۶۰۰	۰/۶۰
	>۶۰۰	۰/۰۱

ساختارهای حلقوی بدست آمده از تصاویر ماهواره‌ای نیز که به صورت سه فایل مجزا تفکیک شده بودند، به ترتیب ابعاد از کوچک به بزرگ ارزش های ۰/۵، ۰/۴ و ۰/۳ اختصاص داده شد.

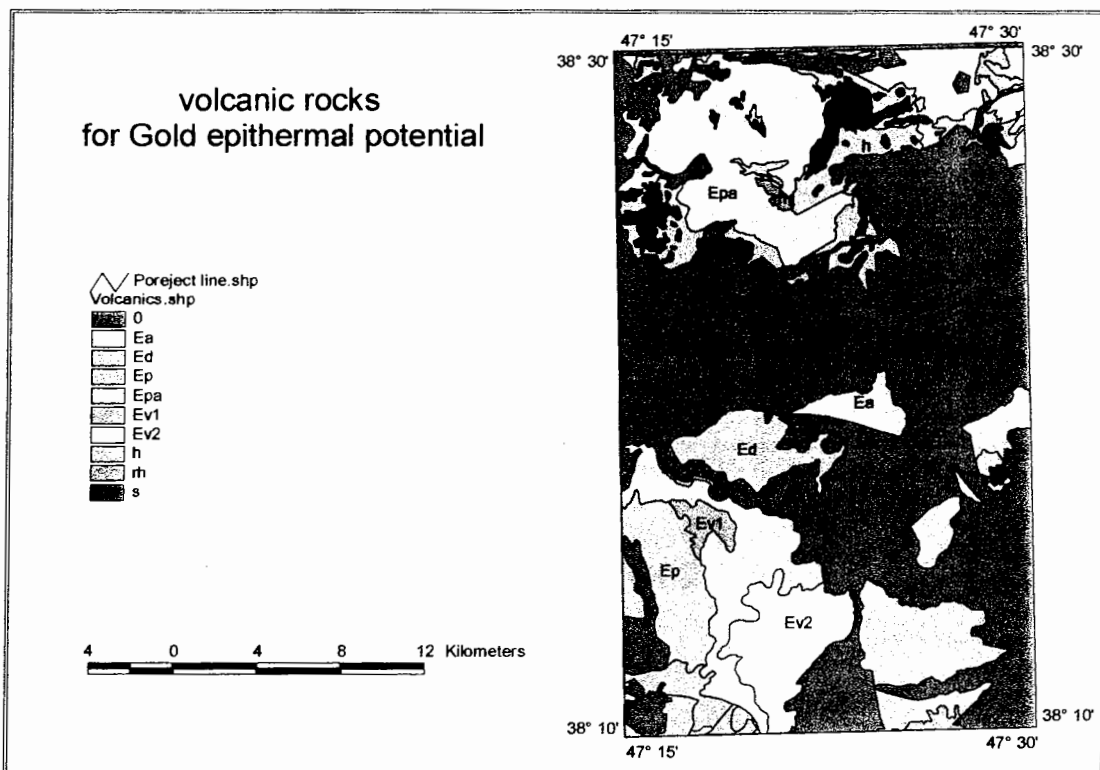
#### ۶-۳-۲-۴- سنگ های منشأ و میزبان

واحدهای نفوذی<sup>gr</sup> و <sup>k</sup>gr که شامل مونزوگرانیت، گرانودیوریت، گرانیت، بیوتیت گرانیت و مونزوونیت می‌باشند، به ترتیب با ارزش های ۰/۸۵ و ۰/۸۰ به عنوان سنگهای منشأ و منبع حرارتی انتخاب و وزن دهی شدند. توده‌های نفوذی کم عمق حاصل از اطلاعات ژئوفیزیکی نیز با امتیاز ۰/۳ مشخص گردید.

واحدهای ولکانیکی منطقه به عنوان سنگهای میزبان کانی زایی طبق شکل (۵۶-۶) انتخاب گردید. واحدهای انتخاب شده دارای ترکیبی شامل آندزیت، ریولیت، ریوداسیت و داسیت می‌باشند. واحدهای زمین شناسی آلترا شده هیدرоторمالی و سیلیسی هم در این قسمت به عنوان سنگهای میزبان با ارزش بالاتر مورد استفاده قرار گرفت. واحدهای ولکانیکی طبق جدول (۲-۶) بر اساس منطق فازی ارزش دهی شدند.

جدول (۲-۶): جدول ارزش دهی سنگ های میزبان در کانی زایی طلای اپی ترمال

نام واحدهای سنگی	علامت اختصاری	ارزش داده شده
اندزیت های سیلیسی شده	s	۰/۹۸
التراسیون هیدروترمال	h	۰/۹۵
ریولیت	rh	۰/۹
اندزیت به همراه گنبدهای ریوداسیتی	Epa	۰/۸۵
اندزیت، تراکی اندزیت پورفیری	Ea	۰/۸
توف داسیتی تا ریوداسیتی	Ed	۰/۸
توف برشی و تراکی اندزیت	Ep	۰/۸
لاوهای اندزیتی و داسیتی	Ev1	۰/۸
لاوهای اندزیتی و داسیتی	Ev2	۰/۸
دیگر واحدهای منطقه	-	۰/۰۱

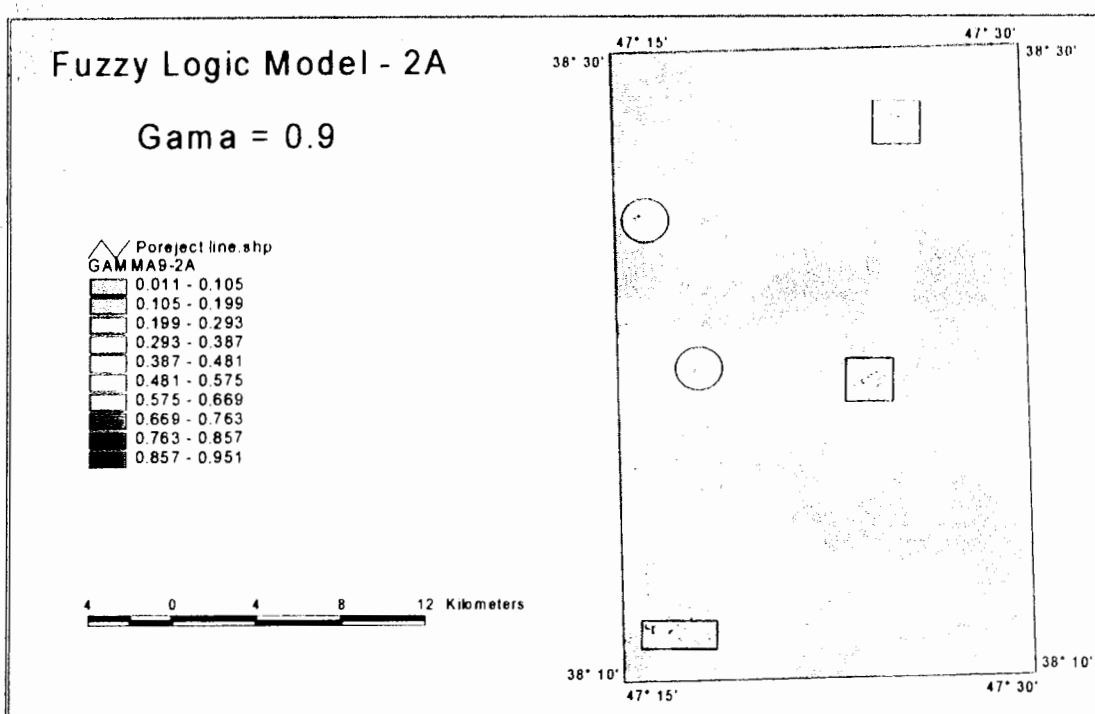


شکل (۵۶-۶): واحدهای ولکانیکی انتخاب شده جهت مدل سازی طلای اپی ترمال

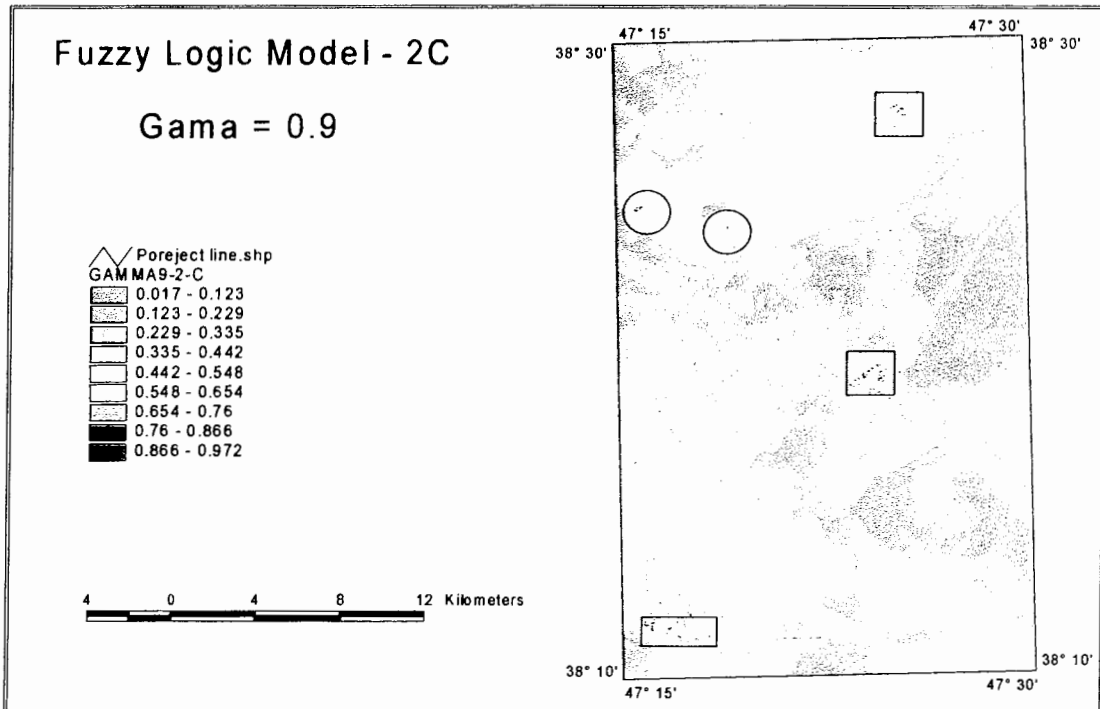
### ۶-۳-۵- تلفیق نهایی لایه‌های اطلاعاتی به روش منطق فازی - طلای اپی ترمال

جهت به دست آوردن نواحی امید بخش معدنی برای کانی‌زایی طلای اپی ترمال، لایه‌های اکتشافی بدست آمده در مراحل قبل با عملگرهای فازی تلفیق گردید.

برای کانی‌زایی طلای اپی ترمال نیز چندین ترکیب و مدل‌سازی با اعمال عملگرهای مختلف صورت گرفت. شکل‌های (۵۷-۶) تا (۶۰-۶) نواحی امید بخش حاصل از این مدل‌سازی‌ها را نشان می‌دهند. نمودار درختی مدل‌سازی‌های انجام گرفته که چگونگی ترکیب لایه‌های مختلف با عملگرهای فازی را نشان می‌دهد، در شکل‌های (۶۱-۶) تا (۶۴-۶) آورده شده است.



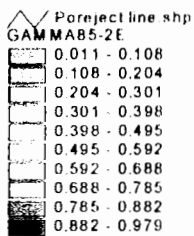
شکل (۵۷-۶): نواحی امید بخش کانی‌زایی طلای اپی ترمال- مدل ۱



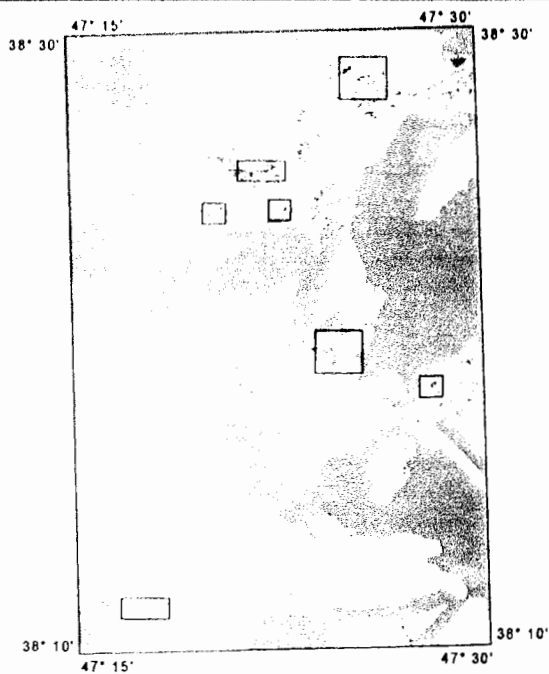
شکل (۵۸-۶): نواحی امید بخش کانی‌زایی طلای اپی ترمال- مدل ۲

### Fuzzy Logic Model - 2E

Gama = 0.85



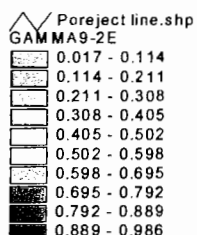
4 0 4 8 12 Kilometers



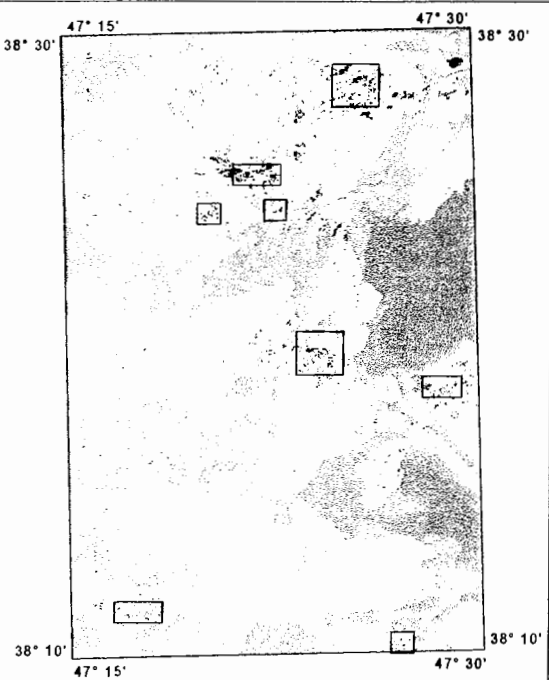
شکل (۵۹-۶): نواحی امید بخش کانی‌زایی طلای اپی ترمال- مدل ۳

### Fuzzy Logic Model - 2E

Gama = 0.9

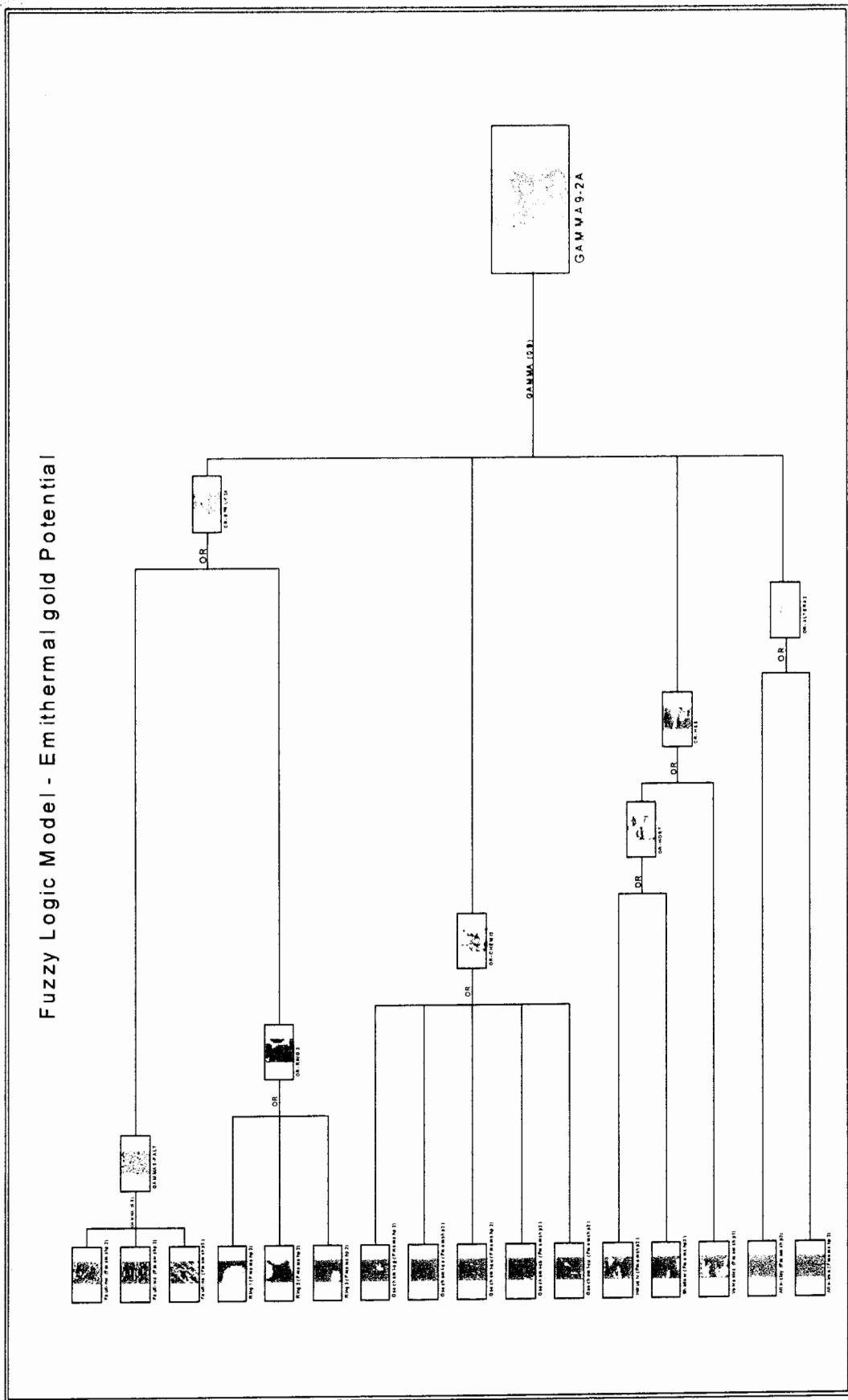


4 0 4 8 12 Kilometers

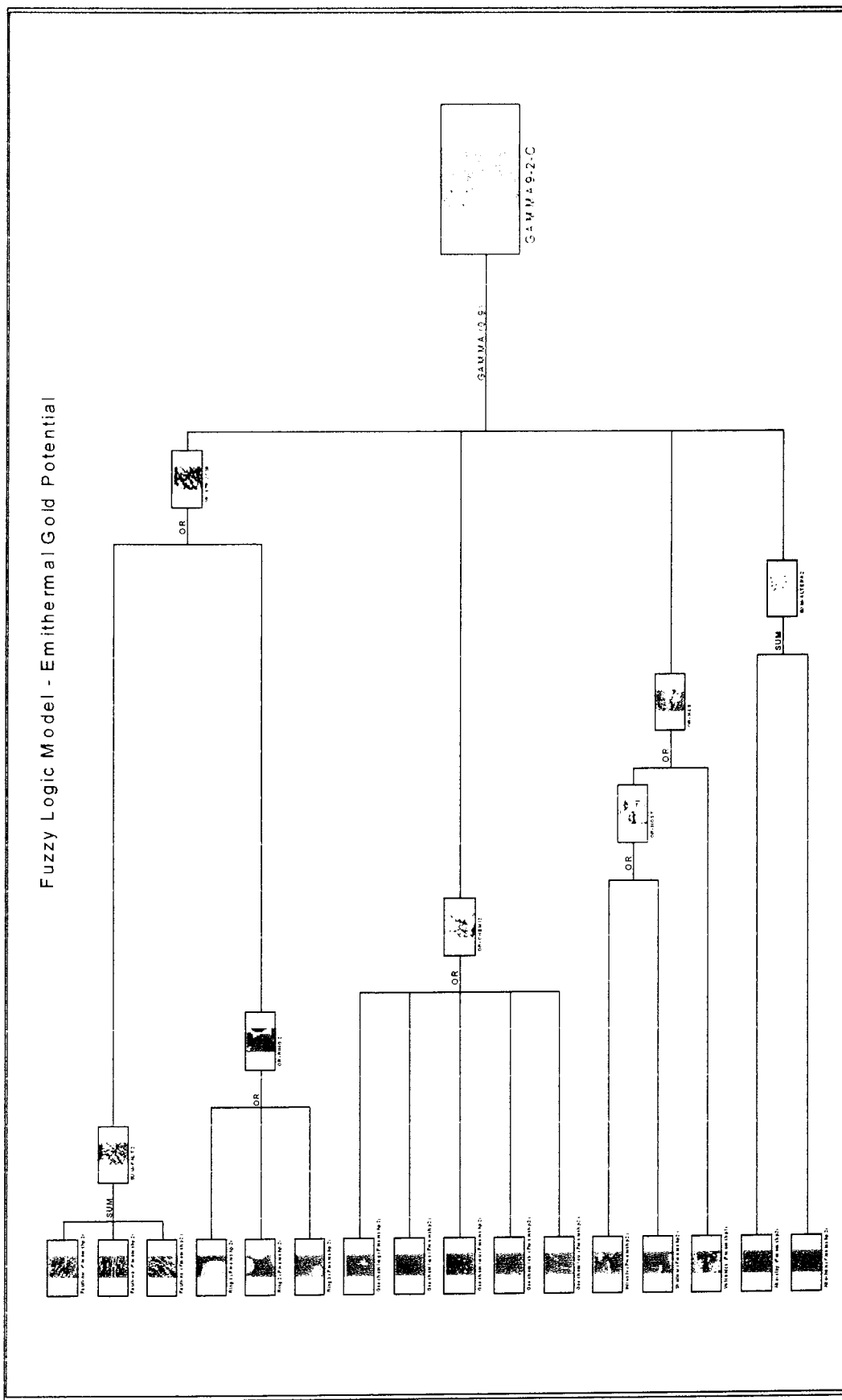


شکل (۶۰-۶): نواحی امید بخش کانی‌زایی طلای اپی ترمال- مدل ۴

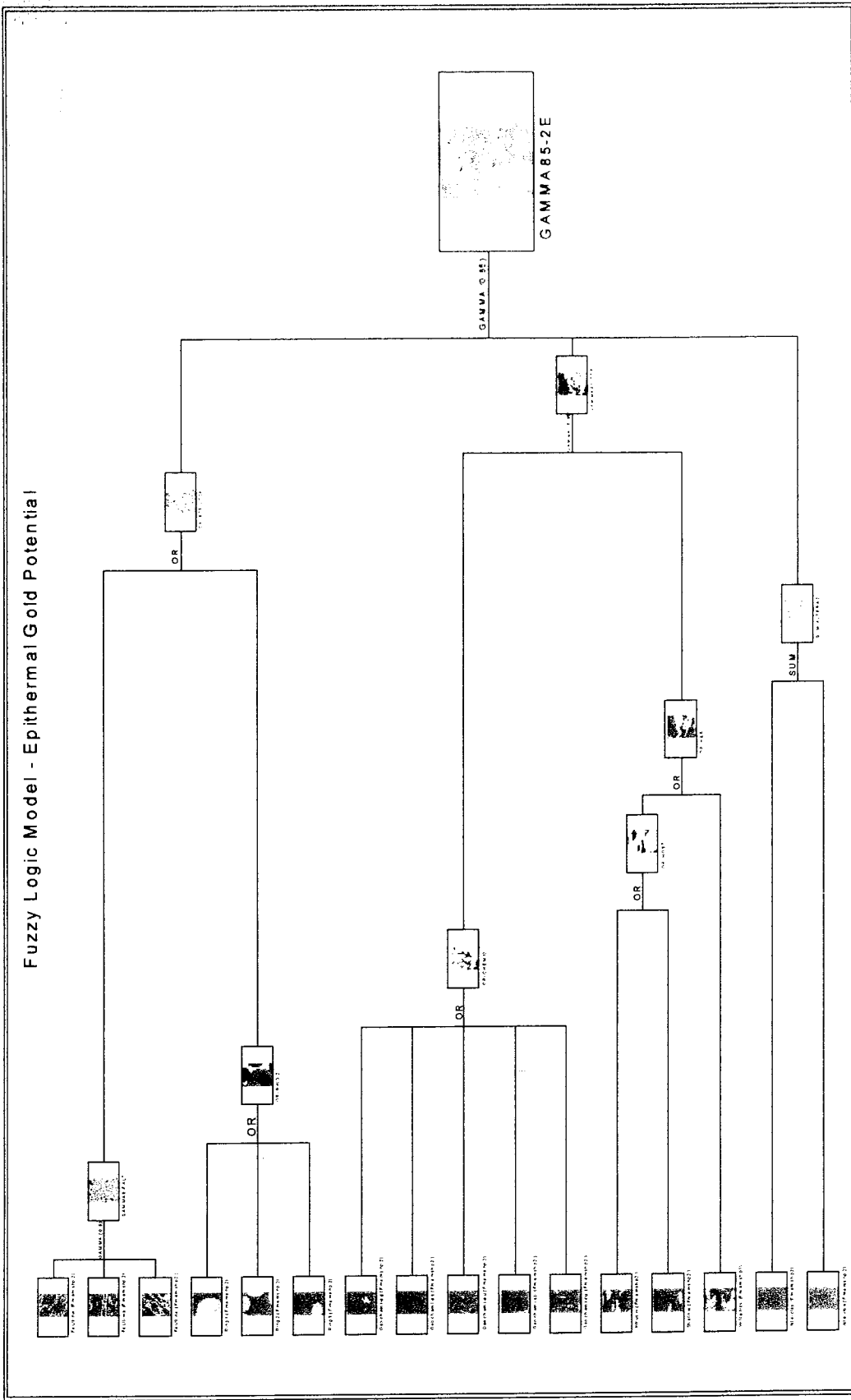
شکل (۶-۱۴): نمودار درختی ترکیب و مدل سازی لایه های اکتشافی به روش منطق فازی - مدل ۱



شکل (۶-۲۶): نمودار درختی ترکیب و مدل سازی لایه های اکتشافی به روش منطق فازی - مدل ۲

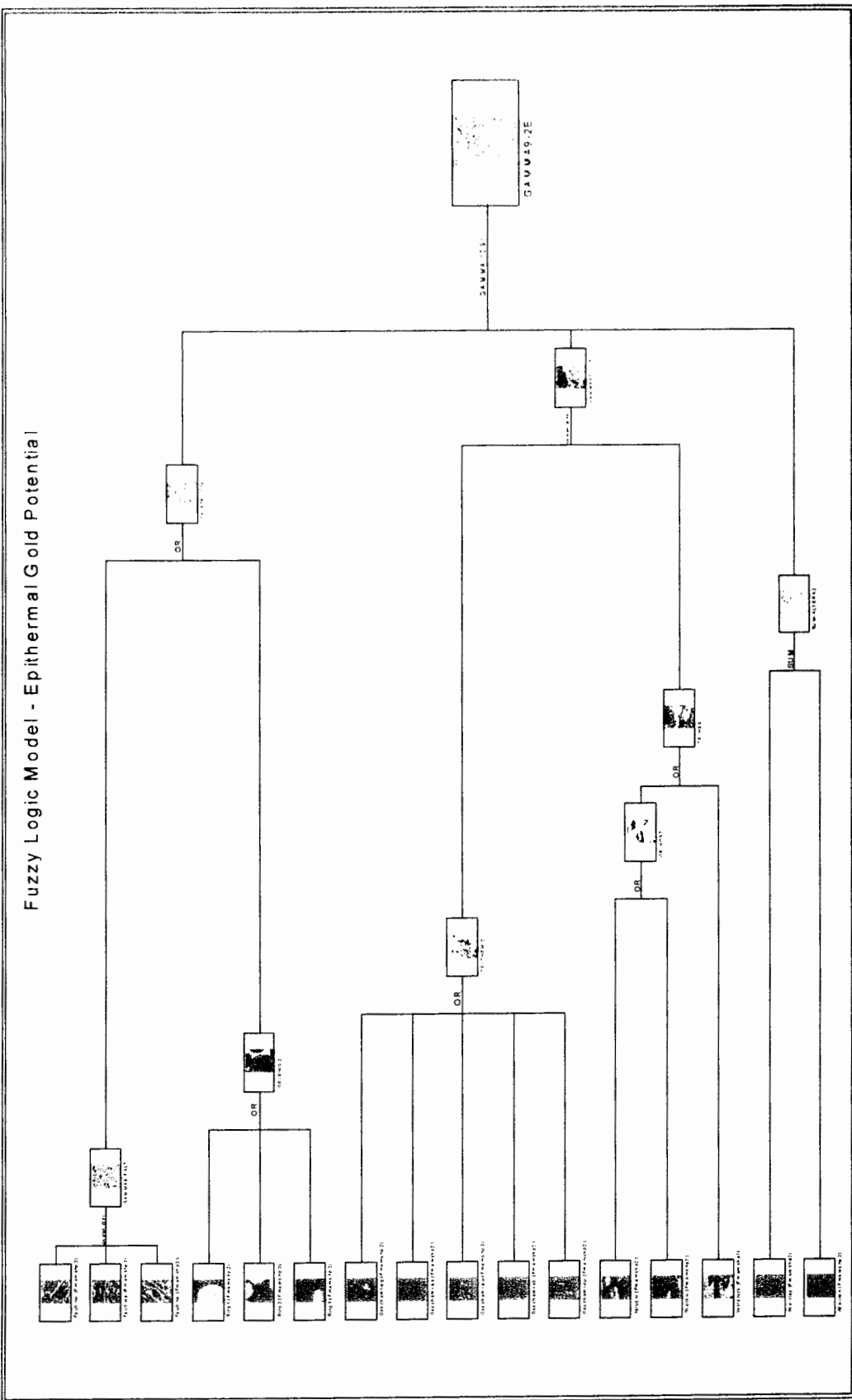


Fuzzy Logic Model - Epithermal Gold Potential



شکل (۶-۳۴) نمودار درختی ترکیب و مدل سازی لایه های اکتشافی به روش منطق فازی - مدل ۳

Fuzzy Logic Model - Epithermal Gold Potential

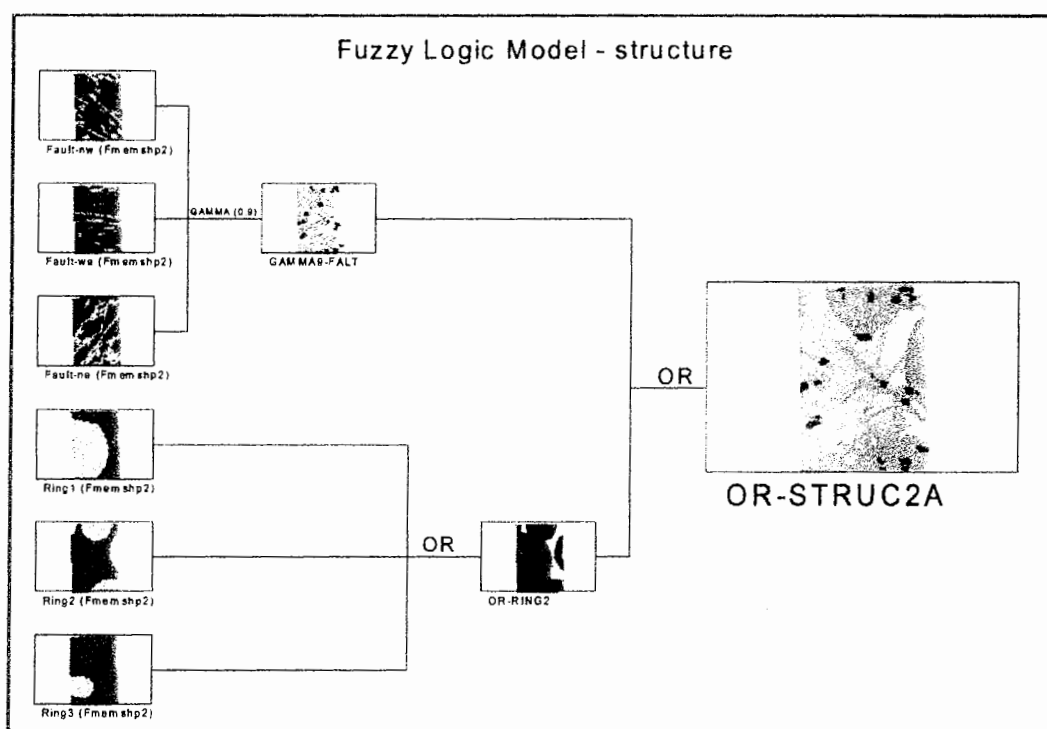


شکل (۶-۴۶): نمودار درختی ترکیب و مدل سازی لایه های اکتشافی به روش منطق فازی - مدل ۴

به عنوان مثال برای تهیه نقشه پتانسیل طلای اپی ترمال در مدل شماره ۴ بدین صورت عمل گردید:  
ابتدا تمام اطلاعات ساختاری طبق شکل (۶۵-۶) باهم توسط عملگرهای فازی مشخص شده ترکیب و در نهایت لایه ساختاری منطقه تشکیل شد شکل (۶۶-۶).

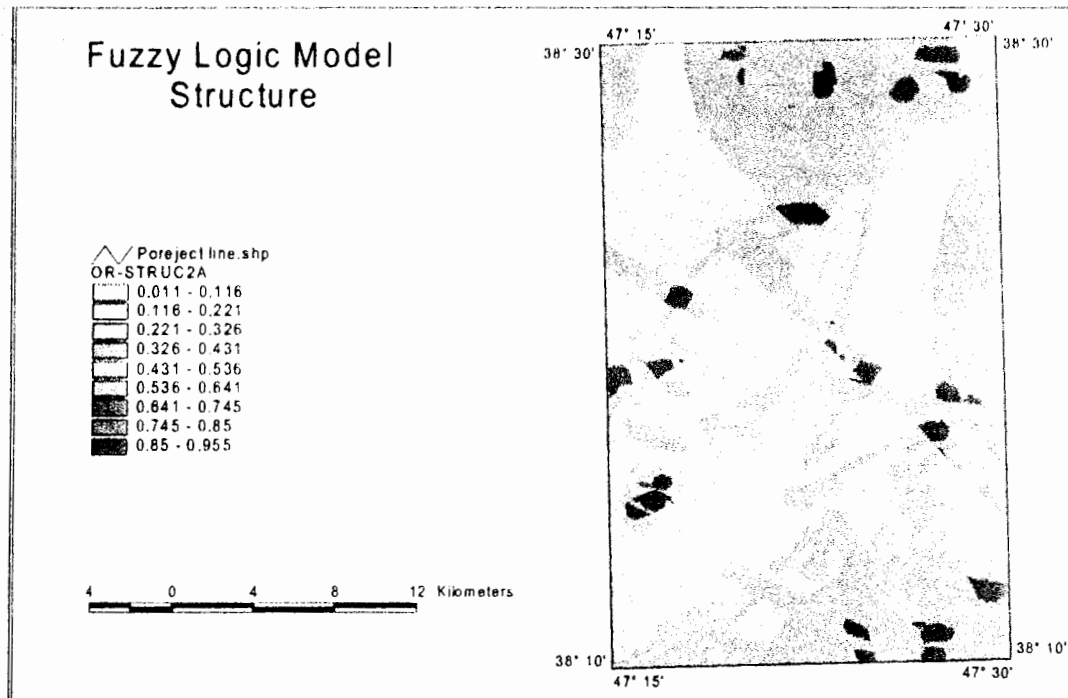
لایه های اکتشافی مربوط به داده های ژئوشیمی و سنگ های منشأ و میربان نیز طبق شکل (۶۷-۶) با عملگرهای فازی ترکیب و لایه کانی زایی (OFP) به صورتی که در شکل (۶۸-۶) دیده می شود، تشکیل گردید.

لایه های آلتراسیون نیز در مدل شماره ۴ با ترکیب آلتراسیون های رسی و اکسید آهن با عملگر جمع جبری فازی طبق نمودار نشان داده شده در شکل (۶۹-۶) تشکیل شد. این لایه در شکل (۷۰-۶) با مقیاس بزرگتری نشان داده شده است.



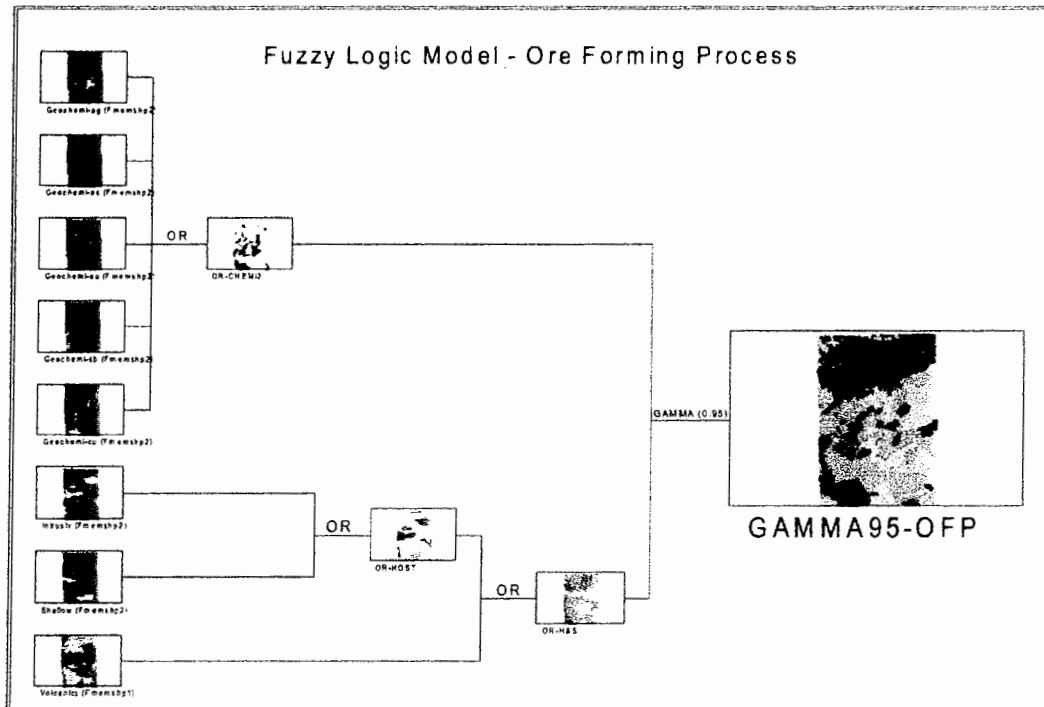
شکل (۶۵-۶): مراحل ترکیب لایه های ساختاری بر اساس منطق فازی- مدل ۴

## Fuzzy Logic Model Structure

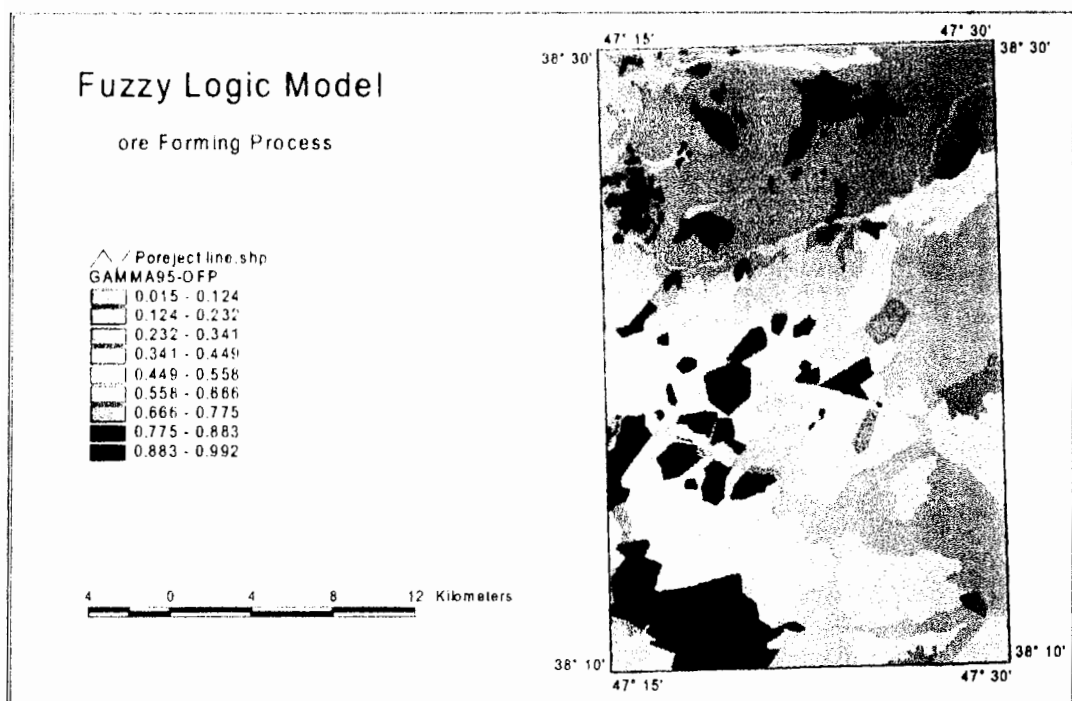


شکل (۶۶-۶): لایه ساختاری بدست آمده از مدل سازی فازی- مدل ۴

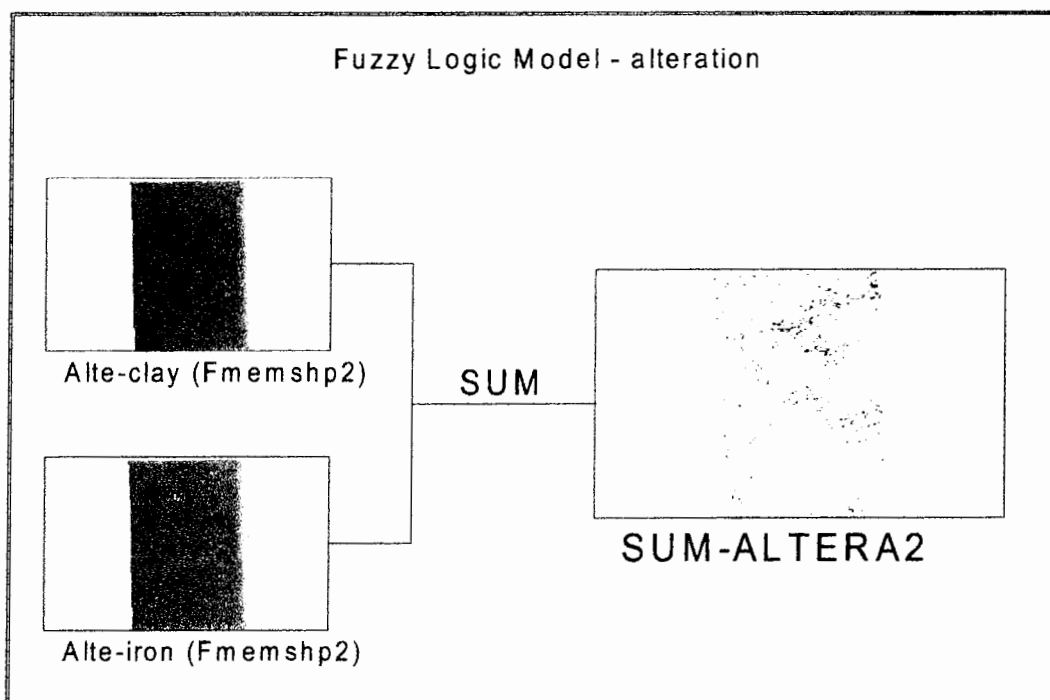
## Fuzzy Logic Model - Ore Forming Process



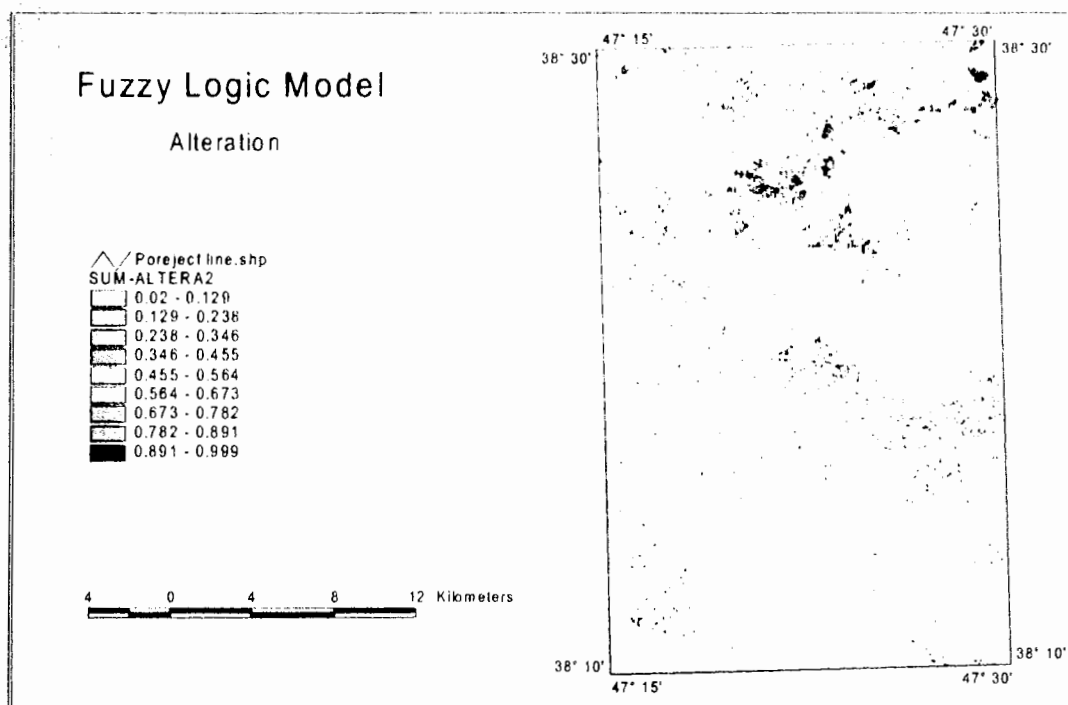
شکل (۶۷-۶): مراحل ترکیب لایه های کانی زایی بر اساس منطق فازی- مدل ۴



شکل (۶۸-۶): لایه کانی زایی بدست آمده از مدل سازی فازی- مدل ۴



شکل (۶۹-۶): مراحل ترکیب لایه های آلتراسیون بر اساس منطق فازی- مدل ۴



شکل (۷۰-۶): لایه آتراسیون بدست آمده از مدل سازی فازی- مدل ۴

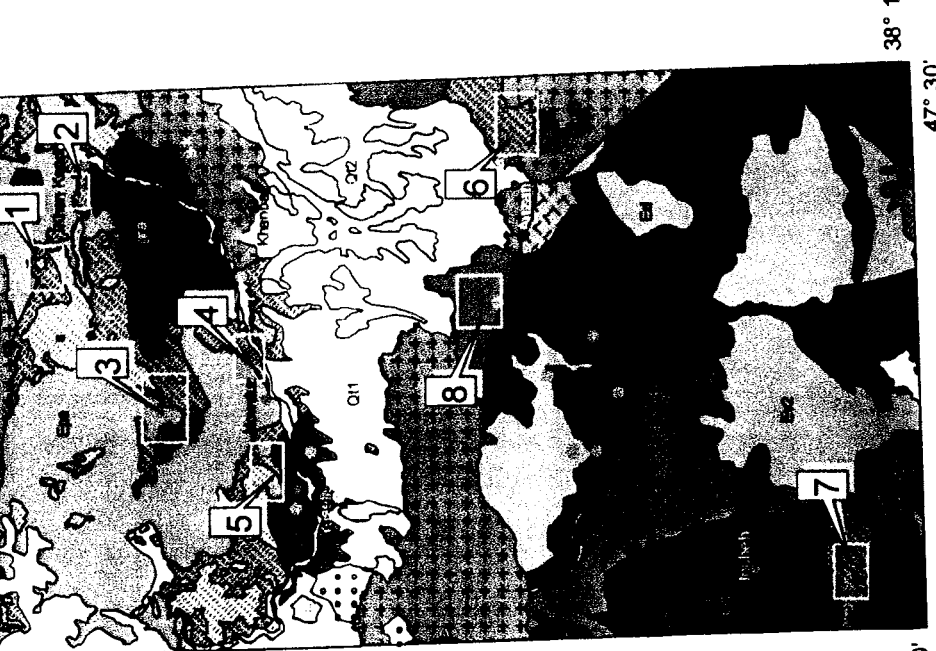
در نهایت با تلفیق سه لایه کانی‌زایی، آتراسیون و ساختارها با عملگر فازی گاما، نواحی پتانسیل دار به صورت مدل ۴ مشخص گردید.

#### ۴-۶- معرفی مناطق امید بخش معدنی و کنترل صحراوی

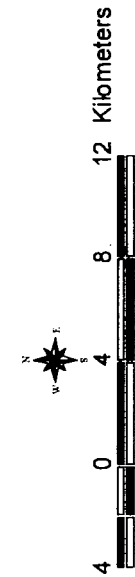
پس از پردازش لایه های اکتشافی موجود در منطقه و مدل سازی آنها با دو روش منطق فازی و همپوشانی شاخص، هشت منطقه جهت کانی زایی طلای اپی ترمال و هفت محدوده برای مس پورفیری معرفی گردید. این محدوده ها به همراه موقعیت اندیس های معدنی موجود در منطقه، در شکل های (۶-۷۱) و (۶-۷۲) نشان داده شده است.

## Epithermal Gold Potential Area

47° 30' 38° 30' 38° 30' 47° 30'



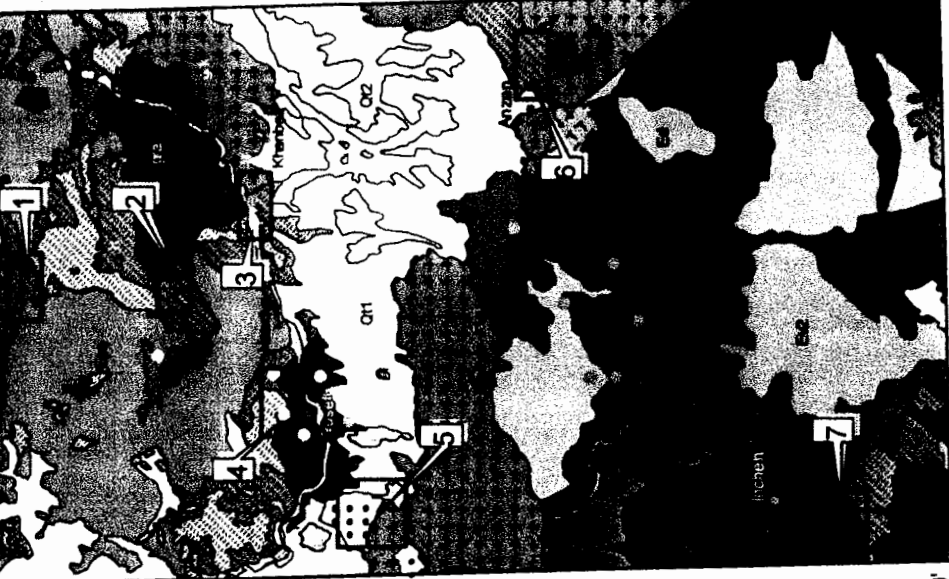
<input checked="" type="checkbox"/> Project line.shp	
Cu.shp	( Indication - Cu )
Au.shp	( Indication - Au )
<b>Geology-pro.shp</b>	
Cul	Cultivated area
Ea	Mega porphyritic to porphyritic andesite and trachyandesite
Eb	Olivine basalt, basaltic andesite, pyroxene bearing andesite
Ed	Dacite to rhyodacite tuff, ignimbrite
Ep	Tuff breccia, ignimbrite and subordinate peroxene andesite to trachyandesite
Epa	Andesitic basalt, pyroxene andesite
Et	Trachyandesite to trachyte bearing pseudomorphosed analcime
Ev1	Volcanosedimentary rocks, andesite and dacite lavas
EV2	Volcanosedimentary rocks, andesite and dacite lavas, limestone lenses
gra	Anzan alkali granite to hornblende biotite granodiorite
grk	Khan Kandi biotite granite to granodiorite
h	Hydrothermally altered zones.
Ngt	Andesite to trachyandesite flows with partly cone like structure
Qal	Recent alluvium
Q1	Landslide
Qplc	Conglomerate and marl
Qt1	Old terraces
Qt2	Young terraces
Qv	Basaltic lava flows
rh	Rhyolitic dome
S	Silicified Eocene andesitic basalt (Epa)



شکل (۶-۱۷): مراتق امید بخش معروف شده برای کاریزای طلای ای ترمال

## porphyry Copper Potential Area

47° 15' 38° 30' 47° 30'



Project line.shp

Cu.shp (Indication - Cu)

Au.shp (Indication - Au)

Geology-pro.shp

Cul

Cultivated area

Ea Megaporphyritic to porphyritic andesite and trachyandesite

Eb Olivine basalt, basaltic andesite, pyroxene bearing andesite

Ed Dacite to rhyodacite tuff, ignimbrite

Ep Tuff breccia, ignimbrite and subordinate peroxene andesite to trachyandesite

Epa Andesitic basalt, pyroxene andesite

Et Trachyandesite to trachyte bearing pseudomorphosed analcime

Ev1 Volcanosedimentary rocks, andesite and dacite lavas

Ev2 Volcanosedimentary rocks, andesite and dacite lavas, limestone lenses

gra Anzan alkali granite to hornblende biotite granodiorite

grK Khan Kandi biotite granite to granodiorite

h Hydrothermally altered zones.

Ngt Andesite to trachyandesite flows with partly cone like structure

Qai Recent alluvium

Q1 Landslide

Qplc Conglomerate and marl

Qt1 Old terraces

Qt2 Young terraces

Qv Basaltic lava flows

Rh Rhyolitic dome

S Silicified Eocene andesitic basalt (Epa)

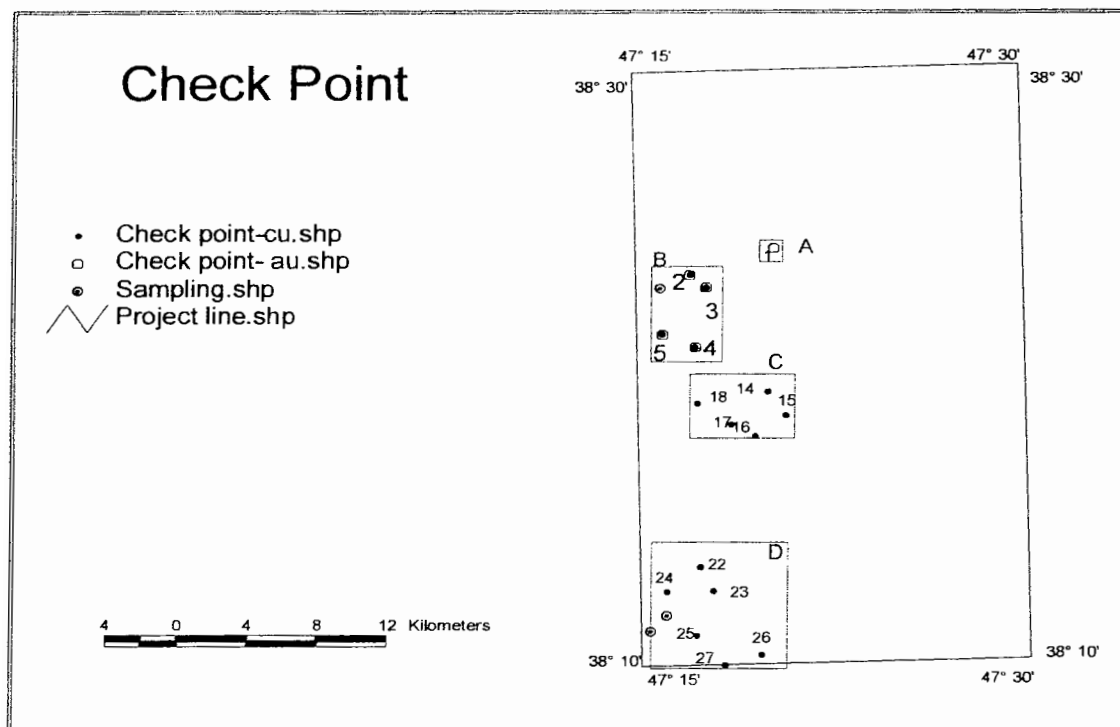


38° 10' 47° 15' 38° 30' 47° 30'

شکل (۶-۷): مناطق امید بخش معرفی شده برای کانی‌زایی مس پورفیری

جهت بررسی مناطق امید بخش معرفی شده کنترل صحرایی از محدوده‌های پتانسیل دار صورت گرفت. شکل (۷۳-۶) محدوده‌های بازدید شده را برای دو نوع کانی‌زایی مس پورفیری و طلای اپی‌ترمال نشان می‌دهد. در محدوده‌های معرفی شده برای بازدید از نقاط خاصی که در شکل (۷۳-۶) به آنها شماره داده شده، بازدید و کنترل صحرایی صورت گرفت. چنانکه از روی شکل مزبور ملاحظه می‌شود، در قسمت شمالی منطقه هیچ نقطه‌ای برای بازدید صحرایی انتخاب نشده است. علت آنکه سه تا از محدوده‌های معرفی شده در شمال منطقه مطالعاتی دقیقاً منطبق بر مناطقی هستند که اکتشافات نیمه تفصیلی در آن نقاط انجام شده و یا در حال اجرا می‌باشد. این می‌تواند دلیل خوبی برای صحت مدل‌سازی‌های انجام شده باشد.

در ادامه به تفکیک خصوصیات مناطق امید بخش معرفی شده که دارای کانی‌زایی از نوع طلای اپی‌ترمال و مس پورفیری می‌باشند و بخصوص مناطقی که بازدید و کنترل صحرایی از آنها به عمل آمده، توضیح داده می‌شود.



شکل (۷۳-۶): محدوده‌های انتخاب شده برای کنترل صحرایی

چنانکه ملاحظه می کردد محدوده A منطبق بر کانی زایی شماره ۵ طلای اپیترمال و ۴ مس پورفیری است. محدوده B منطبق بر کانی زایی شماره ۵ مس پورفیری و محدوده D منطبق بر کانی زایی شماره ۷ طلای اپیترمال و مس پورفیری می باشد. محدوده C به علت آنکه آنومالی خوب ژنوشیمیابی و نیز در بعضی از مدل سازی ها آنومالی نشان داده، جهت بازدید صحرایی انتخاب شد.

#### ۶-۱-۴-۶- محدوده های امید بخش کانی زایی طلای اپیترمال

##### ۶-۱-۱- محدوده شماره ۱ و ۲

این مناطق در شمال شرقی محدوده مطالعاتی و نیز در شمال - شمال غرب روستای خانکندی واقع شده است. مهمترین واحدهای زمین شناسی این منطقه آندریت های به شدت آلتره شده از نوع سیلیسی و هیدروترمالی می باشد که در مجاورت دو توده نفوذی خانکندی و قوری چای واقع شده است. این منطقه با توجه به وجود گسل های فراوان بسیار تکتونیزه می باشد. وجود رگه و رگجه های سیلیسی و سولفیدی در منطقه گزارش گردیده است [۵].

محدوده شماره یک با طول جغرافیایی "۴۵' ۴۵' ۲۴' ۴۷' تا "۵۹' ۲۵' ۴۷' و عرض جغرافیایی "۶' ۲۸' ۳۸' تا "۵۴' ۳۸' ۲۸' و محدوده شماره دو با طول جغرافیایی "۵۶' ۲۶' ۴۷' تا "۵۳' ۲۷' ۴۷' و عرض جغرافیایی "۳۰' ۳۰' ۲۷' ۳۸' تا "۹' ۲۸' ۳۸' مشخص شده است.

این مناطق با توجه به داده های اکتشافی موجود، پتانسیل کانی زایی طلای اپیترمال و نیز مس پورفیری را دارا می باشد. از این محدوده ها به دلیل نبود زمان کافی بازدید صحرایی انجام نگردید.

##### ۶-۱-۲- محدوده شماره ۳

این منطقه در محدوده طول جغرافیایی "۳۸' ۲۰' ۲۸' ۴۷' تا "۲۲' ۴۷' و عرض جغرافیایی "۳۶' ۲۵' ۳۸' تا "۳۷' ۲۶' ۳۸' در شمال روستای زایلیک واقع شده و یکی از مناطق مهم محدوده

مطالعاتی می‌باشد. این منطقه با توجه به وجود آثار معدنکاری قدیمی مورد توجه مهندسین اکتشاف بوده در حال حاضر نیز اکتشاف نیمه تفصیلی برای کانی‌زایی طلای اپیترمال از سوی سازمان زمین شناسی و اکتشافات معدنی کشور در حال اجرا می‌باشد. لازم به ذکر است هنوز گزارش آن چاپ نشده است.

از لحاظ واحدهای زمین شناسی، سنگ‌های میزبان اندرزیت التره شده و ریولیت می‌باشد. کانی‌زایی در رگه‌های سیلیسی طلا دار و مس دار صورت گرفته است.

از این محدوده به دلیل انجام کارهای اکتشافی نیمه تفصیلی که وجود آنومالی را اثبات می‌نماید بازدید صحراوی انجام نگرفت. بر طبق مدل سازی‌های انجام شده، این محدوده معرفی شده، در نتیجه بر طبق این امر صحت مدل‌سازی انجام شده در معرفی این محدوده را تأیید می‌نماید.

#### ۶-۱-۴-۳- محدوده شماره ۴

این محدوده با طول جغرافیایی "۱۲° ۲۲' ۲۵" تا "۴۷° ۲۳' ۴۷" و عرض جغرافیایی "۵۹° ۲۳' ۳۸" تا "۳۸° ۲۴' ۳۸" در کنار جاده اهر - مشکین شهر در نزدیکی روستای نقدوز واقع شده است. این محدوده نیز از لحاظ زمین شناسی شبیه محدوده ۳ می‌باشد. این محدوده با توجه به قرارگیری آن در کنار جاده از نزدیک مورد بررسی واقع شد. آلتراسیون‌های کائولینیتی و آلونیتی به صورت وسیع در این محدوده مشاهده می‌شد. رگه‌های سیلیسی به صورت گسترده رخنمون نداشت ولی شامل کانی‌های سولفیدی بودند. این منطقه به عنوان محدوده‌ای با کانی‌زایی ضعیف شناسایی گردید.

#### ۶-۱-۴-۴- محدوده شماره ۵

این محدوده در مجاورت روستای نقدوز و یوسفلو با طول جغرافیایی "۵۵° ۱۸' ۳۴" تا "۴۷° ۲۰' ۳۴" و عرض جغرافیایی "۳۸° ۲۳' ۲۴" تا "۳۸° ۲۳' ۱۹" از دیگر محدوده‌های مهم در منطقه می‌باشد. به

طوری که چندین پژوهه تحقیقاتی و طرح اکتشافات نیمه تفصیلی برای ذخایر طلای اپیترمال موجود در منطقه انجام شده است. این محدوده با توجه به اهمیت آن مورد بازدید صحرایی قرار گرفت. واحدهای سنگی تشکیل دهنده منطقه، سنگ‌های نفوذی با ترکیب حد واسط اسیدی تا اسیدی (مونزو-گرانیت - گرانیت) و سنگ‌های اتشفسانی (آندزیت - ریولیت) می‌باشد. این واحدها به شدت دگرسان شده‌اند. التراسیون‌ها از نوع سیلیسی، کالولینیتی و آلونیتی بودند. کانی‌زایی به صورت رگه‌های سیلیسی سولفیددار دیده می‌شود. طول این رگه‌ها بین ۲۵ تا ۵۰۰ متر و ضخامت آنها بین ۰/۲ تا ۲ متر متغیر می‌باشد. رایج‌ترین کانی فلزی همراه طلا در رگه‌های مذکور پیریت می‌باشد. ضمن اینکه اکسیدهای آهن و کانی‌های مس‌دار (کالکوپیریت و بورنیت) نیز مشاهده گردید. نمونه‌هایی که توسط سازمان زمین‌شناسی و اکتشافاتمعدنی کشور برداشت شده، عیار طلا را در این منطقه حداقل  $17 \text{ ppm}$ ، مس  $9960 \text{ ppm}$  و مولیبدن  $346 \text{ ppm}$  نشان می‌دهد گزارش‌های ارائه شده در این محدوده، نشان می‌دهد که کانی‌سازی طلا در این منطقه از نوع اپیترمال اسید سولفات (آلونیت-کوارتز) یا سولفید بالا می‌باشد. همچنین در بخش‌هایی شباهت قابل توجهی با ذخایر طلای مرتبط با توده‌های نفوذی دیده می‌شود. لازم به ذکر است که همبستگی بالای عناصر مس و طلا در بیشتر مقاطع لیتوژئوشیمیایی عمود بر رگه‌ها گزارش شده است [۶]. با توجه به بازدید صحرایی انجام شده و مطالعه گزارش‌های موجود، این محدوده دارای پتانسیل کانی‌زایی از نوع طلای اپیترمال و کانی‌زایی مس و مولیبدن پورفیری می‌باشد.

#### ۶-۱-۵- محدوده شماره ۶

این محدوده در شرق محدوده مطالعاتی و نزدیکی روستای انزان با طول جغرافیایی  $53^{\circ} 27' 47''$  تا  $34^{\circ} 29' 47''$  و عرض جغرافیایی  $18^{\circ} 59' 38''$  تا  $18^{\circ} 38'$  واقع شده است. در این محدوده یک اندیس کانی‌زایی پلی‌متال گزارش شده است [۸]. از نظر ترکیب واحدهای زمین‌شناسی شامل

سنگ‌های نفوذی از نوع کرانودیوریت و سنگ‌های آتشفسانی آندزیتی التره شده می‌باشد. این منطقه با توجه به شرایط زمین‌شناسی مذکور و تکتونیک موجود جهت کانی زایی طلای ایترمال و مس پورفیری می‌تواند مورد بررسی بیشتر قرار گیرد. از این محدوده نیز به علت کمبود وقت بازدید نگردید.

#### ۶-۱-۶- محدوده شماره ۷

این محدوده با طول جغرافیایی "۴۹° ۱۵' ۴۷" و عرض جغرافیایی "۲۱° ۱۱' ۳۸" تا "۸° ۱۲' ۳۸" در جنوب غرب منطقه مطالعاتی و در جنوب روستای اینچه واقع شده است. رخنمون‌های سنگی منطقه شامل سنگ‌های نفوذی از نوع آلکالی گرانیت، مونزوگرانیت و بیوتیت گرانیت و سنگ‌های آتشفسانی اغلب توف برشی و آندزیت بود. محدوده نسبتاً وسیعی (محدوده D در شکل (۷۳-۶)) مورد بررسی صحراوی قرار گرفت. برای دسترسی به محدوده مورد نظر از شهر هریس پس از عبور از روستاهای خانقاوه و هیق از جاده پر پیج و خمی که اهالی منطقه آن را جاده معدن مس می‌نامیدند حرکت کردیم. در مسیر حرکت چندین محدوده با آلتراسیون کائولینیتی مشاهده گردید. در منطقه‌ای با مختصات UTM،  $X=697466$  و  $Y=4229163$  دارای آلتراسیون شدید، یک گمانه دیده شد که به گفته اهالی برای معدن مس حفر شده است. با این حال هیچ گونه آثاری از مس در این نقطه مشاهده نگردید. در ادامه مسیر با دگرسانی شارپی از کائولن مواجه شدیم که دارای موفولوژی خشن با رگه‌های فلدسپاتی سیلیسی شده بود. ولی به مفهوم واقعی رگه‌ای با ضخامت بیش از ۱۰ سانتی‌متر از سیلیس مشاهده نشد. اکثر رگه‌های سیلیسی به صورت رگچه به همراه سولفیدهای ریز اکسید شده در داخل فلدسپات‌ها دیده می‌شد.

در ادامه مسیر و در محدوده روستای اسماعیل کندی و سوناجیل کندی آثاری از معدن قدیمی مس مشاهده شد. در چند کیلومتری سوناجیل کندی به گفته اهالی یک سری فعالیت اکتشافی از سوی

شرکت مس در چند سال اخیر انجام شده است. با توجه به تاریکی هوا این محدوده مورد بررسی واقع نشده.

#### ۸-۱-۴-۷- محدوده شماره ۸

این منطقه در شمال غرب روسیه از ان و در مرکز منطقه مطالعاتی با طول جغرافیایی "۲۲' ۲۳' ۴۷" تا "۱۹' ۳۸" ۴۸" و عرض جغرافیایی "۵۳' ۵۴' ۲۴' ۴۶" واقع شده است. رخنمونهای سنگی منطقه شامل آندزیت و تراکی آندزیت با بافت پورفیری که در مجاورت توده نفوذی با ترکیب گرانوودیوریت می‌باشد. وجود آلتراسیونهای شدید در منطقه و یک اندیس مس پتانسیل کانی‌زایی در این منطقه را افزایش می‌دهد. از این محدوده نیز بازدید به عمل نیامد.

#### ۶-۴-۲- محدوده های امید بخش کانی‌زایی مس پورفیری

##### ۱-۴-۲-۶- محدوده شماره ۱

این منطقه در شمال محدوده مطالعاتی و در محدوده طول جغرافیایی "۵۲' ۵۳' ۲۳' ۴۷" تا "۴۲' ۴۳' ۲۳' ۴۷" و عرض جغرافیایی "۳۴' ۳۵' ۳۸" تا "۴۷' ۴۸' ۲۸" واقع شده است. از واحدهای نفوذی از نوع بیوتیت گرانیت تا گرانوودیوریت تشکیل شده که به داخل سنگ‌های آتشفسنای از نوع آندزیتی نفوذ کرده و باعث تشکیل آلتراسیونهای شدیدی در اطراف آن شده است. از این محدوده نیز بازدید صحرایی صورت نگرفت.

#### ۶-۴-۲-۲- محدوده شماره ۲

این محدوده در نزدیکی محدوده شماره ۲ طلای اپیترمال با طول جغرافیایی "۶۰' ۶۱' ۴۷" تا "۵۲' ۵۳' ۴۷" و عرض جغرافیایی "۴۴' ۴۵' ۲۵" تا "۳۸' ۳۸" ۲۶' ۲۵" واقع شده است. با توجه به شرایط

زمین‌شناسی ارائه شده این منطقه می‌تواند به عنوان یک محدوده احتمالی جهت کانی‌زایی مس پورفیری مورد بررسی قرار گیرد. از این محدوده به انجام اکتشافات نیمه تفصیلی بازدید صحرایی صورت نگرفت.

#### ۳-۲-۴-۶ - محدوده شماره ۳

از دیگر مناطق معرفی شده در این پایان‌نامه است که توسط افراد مختلفی به عنوان محدوده‌ای با پتانسیل کانی‌زایی مس پورفیری شناسایی و معرفی گردیده است. این محدوده در طول جغرافیایی  $۵۱^{\circ} ۲۳' ۲۳''$  تا  $۴۷^{\circ} ۴۳' ۴۷''$  و عرض جغرافیایی  $۲۴^{\circ} ۳۸' ۴۲''$  تا  $۲۴^{\circ} ۳۸' ۳۸''$  واقع شده است. از جمله طرح‌های اجرا شده در این منطقه می‌توان به طرح اکتشاف کانی‌های پلی‌متال استان اردبیل اشاره کرد. این طرح در سال ۱۳۷۸ توسط اداره کل معدن و فلزات استان اردبیل صورت گرفت. از این محدوده نیز بازدید صحرایی صورت گرفت.

عيار بالاي مس و موليبدن و محدود بودن آن به سيسitem‌های درزه و شکستگی، وجود زون‌های برشی در داخل توده نفوذی به همراه کانی‌زایی‌های مس (عمدتاً آزوریت و مالاکیت) و وجود یک چشمۀ فصلی با آبی به رنگ قهوه‌ای (حاکی از تخرب کانی‌های سولفیدی در عمق می‌باشد) در محدوده روستای خانباز یا همان محدوده شماره ۳ نشان دهنده پتانسیل منطقه جهت کانی‌زایی مس و موليبدن پورفیری می‌باشد.

همچنین چندین آندیس معدنی در منطقه نیز گزارش گردیده است.

#### ۴-۲-۴-۶ - محدوده شماره ۴

این محدوده منطبق بر محدوده شماره ۵ طلای اپی‌ترمال می‌باشد. چنانکه قبل اشاره شد این منطقه از مناطق پتانسیل دار منطقه اهر می‌باشد که مورد بازدید صحرایی قرار گرفت.

#### ۴-۶-۵- محدوده شماره ۵

در قسمت جنوب غرب توده نفوذی نقدوز با حلول جغرافیایی "۴۲° ۱۵' ۴۷° ۳۲' تا "۴۷° ۱۷' ۳۲" و عرض جغرافیایی "۲۲° ۲۱' ۴۸° ۲۲' ۳۸° واقع شده است. با توجه به اینکه هیچ اندیس معدنی در این ناحیه جهت تأیید کار ما گزارش نشده بود لذا مورد بازدید صحراوی قرار گرفت. با توجه به صعبالعبور بودن منطقه فقط قسمتی از منطقه‌ای که در شکل (۷۳-۶) به عنوان محدوده B مشخص گردیده، کنترل صحراوی انجام گرفت. وجود آثار معدنی و سرباره‌های کوره‌های ذوب قدیمی از نکات قابل توجه در این محدوده بود. سنگ‌های منطقه به شدت آلتره شده و حاوی میکاهای برنزی بودند که به نظر می‌رسید سنگ میزبان گرانیت بوده است. از طرف دیگر سنگ‌های موجود حاوی اکسید آهن فراوان بودند.

لازم به ذکر است نتایج اکتشافات ژئوشیمیایی انجام شده در این منطقه، وجود آنومالی‌های طلا و مولیبden را تأیید نموده است.

#### ۴-۶-۶- محدوده شماره ۶

این محدوده دقیقاً منطبق بر محدوده شماره ۶ طلای اپیترمال می‌باشد. چنانکه قبل نیز اشاره گردید این منطقه می‌تواند دارای پتانسیل کانی‌زایی مس پورفیری باشد.

#### ۴-۶-۷- محدوده شماره ۷

این محدوده نیز منطبق بر محدوده شماره ۷ طلای اپیترمال می‌باشد. با توجه به بازدید از این منطقه، کانی‌زایی به صورت ضعیف تشخیص داده شد. ولی با توجه به وجود شرایط زمین شناسی مستعد، آنومالی‌های ژئوشیمیایی عناصر مس، طلا، آرسینیک و آنتیموان و کارهای اکتشافی انجام شده در منطقه از جمله یک سری حفاری‌ها، این منطقه نیاز به بررسی‌های بیشتر دارد.

## **فصل هفتم**

**بحث و نتیجه‌گیری و پیشنهادات**

## فصل هفتم

### بحث و نتیجه گیری و پیشنهادات

#### ۷-۱- بحث و نتیجه گیری

چنانکه اشاره گردید روش‌های مدل‌سازی در GIS بر پایه دو روش، مدل متکی بر داده‌ها و مدل متکی بر دانش استوار است. به دلیل آماری بودن روش اول و نبود اطلاعات معنی‌صحيح از منطقه انجام مدل سازی به روش اول خروجی صحیحی را ارائه نمی‌داد. لذا در این پایان نامه جهت مدل‌سازی نواحی امید بخش معنی‌افزاری از روش متکی بر دانش یا همان نظر کارشناسی استفاده گردید. از منطق فازی جهت کنترل خروجی‌های روش همپوشانی شاخص برای مدل‌سازی استفاده گردید. با توجه به فرمول عملی در روش همپوشانی شاخص فرمول ارائه شده در کتب مرجع به شکل زیر اصلاح گردید.

$$S = \frac{\sum_{i=1}^n \sum_{j=1}^m S_{ij} W_i}{\sum_{i=1}^n W_i} \quad (1-7)$$

در این رابطه  $S$  امتیاز بدست آمده بعد از ترکیب نقشه‌ها برای هر مکان از محدوده مورد مطالعه می‌باشد،  $W_i$  وزن آمین نقشه ورودی و  $S_{ij}$  امتیاز زمین کلاس از آمین نقشه است. بر اساس گزارشات موجود و چندین طرح انجام شده در محدوده مطالعاتی و زون اهر- ارسباران همچنین شرایط متالوژنی منطقه، احتمال وجود کانی‌زایی مس پورفیری و طلای اپی‌ترمال در منطقه تشخیص داده شد.

بر مبنای پارامترهای موثر در کانی‌زایی منطقه و مدل‌های اکتشافی موجود، لایه‌های اکتشافی پس از رقومی، پردازش و وزن‌دهی بر اساس اهمیت‌شان در کانی‌زایی مورد نظر در نرم افزارهای ArcView و

ArcGIS، توسط روش‌های همپوشانی شاخص و منطق فازی جهت معرفی مناطق امید بخش ترکیب و تلفیق گردید.

با توجه به وزن‌های اختصاص داده شده به لایه‌های اکتشافی و کلاس‌های مربوط به هر لایه، مدل‌سازی‌های نسبتاً زیادی برای دو نوع کانی‌زایی مس پورفیری و طلای اپیترمال توسط روش همپوشانی شاخص انجام گردید. مدل‌های بدست آمده به جز در مواردی کاملاً مشابه بودند. این امر به سبب نحوه امتیاز دهی لایه‌ها و کلاس‌های آنها بر اساس و اهمیت پارامترهای کانی‌زایی در منطقه می‌باشد. امتیاز دهی غیر واقع بینانه برای کلاس‌های لایه‌ها و همچنین لایه‌های اکتشافی در رابطه (۷) جوابهای متفاوتی را در مدل‌سازی‌های مختلف در بر خواهد داشت.

مدل‌سازی به روش منطق فازی علاوه بر تأیید مدل‌سازی همپوشانی شاخص، مناطق کوچکتری را برای محدوده‌های امید بخش معرفی نمود به این علت که قوانین ترکیب در روش منطق فازی نسبت به روش همپوشانی شاخص انعطاف پذیرتر می‌باشد. همچنین مشکل ماهیت افزایشی و خطی مدل همپوشانی شاخص در این روش اصلاح شده است.

بعد از بررسی نتایج به دست آمده از مدل‌های مختلف به عنوان مناطق امید بخش برای کانی‌زایی مس پورفیری و طلای اپیترمال، در نهایت هشت محدوده جهت کانی‌زایی طلای اپیترمال و هفت محدوده برای کانی‌زایی مس پورفیری معرفی گردید.

جهت کنترل محدوده‌های امید بخش معرفی شده، از منطقه مورد مطالعه بازدید و کنترل صحرایی به عمل آمد. محدوده بازدید شده A منطبق بر محدوده شماره ۴ معرفی شده به عنوان محدوده کانی‌زایی مس پورفیری و محدوده شماره ۵ معرفی شده به عنوان محدوده کانی‌زایی طلای اپیترمال بوده که آثار کانی‌زایی برای هر دو نوع کانی‌زایی مشاهده گردید.

محدوده کنترل شده صحرایی B، منطبق بر محدوده شماره ۵ معرفی شده برای کانی‌زایی مس پورفیری می‌باشد. نشانه‌های معدنکاری قدیمی و آثار کانی‌زایی در این محدوده نیز مشاهده شد.

در محدوده کنترل شده صحرایی<sup>(۷)</sup> که در بعضی از مدل سازی ها دیده شد، کانی زایی خیلی ضعیفی مشاهده گردید.

محدوده D از مناطق بازدید شده که منطبق بر محدوده های کانی زایی شده شماره ۷ برای هر دو نوع کانی زایی مس پورفیری و طلاز اپی ترمال می باشد، در چند نقطه آثار کانی زایی مشاهده گردید. وجود آثار معدنکاری قدیمی و انجام کارهای اکتشافی از جمله حفر یک گمانه اکتشافی در چند سال اخیر در منطقه حاکی از صحت نتایج مدل سازی های انجام شده در این پایان نامه برای این منطقه می باشد. از دیگر نتایج به دست آمده، انطباق کامل محدوده های معرفی شده از جمله محدوده ۳ معرفی شده برای کانی زایی طلاز اپی ترمال و محدوده ۳ معرفی شده برای کانی زایی مس پورفیری با کارهای اکتشافی نیمه تفصیلی در منطقه است.

## ۲-۷- پیشنهادات

بر اساس نتایج پژوهش انجام شده در این پایان نامه، پیشنهادات زیر به طور خلاصه ارائه می گردد:

۱- مدل سازی توسط روش های متکی بر داده مانند روش وزن های نشانگر و رگرسیون لجستیکی در صورت تکمیل داده های معدنی و دیگر گزارش های اکتشافی در منطقه مورد مطالعه جهت مقایسه نتایج حاصله با نتایج به دست آمده از مدل سازی های انجام شده در این پایان نامه پیشنهاد می گردد.

۲- جهت به دست آوردن نتایج دقیق از روش های مدل سازی متکی بر داده، به اطلاعات صحیح و نسبتاً کامل اکتشافی از اندیس های معدنی موجود در منطقه نیاز است. لذا پیشنهاد می گردد که در این مدل سازی ها از داده های مشکوک جهت مدل سازی و تهیه نقشه های امید بخش معدنی استفاده نگردد. لازم به ذکر است که روش های مدل سازی متکی بر دانش نیز نیازمند داده های صحیح است ولی در صورت تکمیل نبودن داده های اکتشافی، معمولاً روش های

مدل‌سازی متکی بر دانش جواب صحیح تر و دقیق تری نسبت به روش‌های مدل‌سازی متکی

بر داده فراهم می‌نماید.

۳- پیشنهاد می‌شود بر روی محدوده‌های معرفی شده برای کانی‌زایی مس پورفیری و طلای

اپیترمال بخصوص نواحی شمالی نقشه زمین‌شناسی ...٪۱ اهر کارهای اکتشافی

مفصل تری صورت کیرد.

## فهرست منابع

### ۱) منابع فارسی

- ۱) اطلس راههای ایران، ۱۳۸۰، مؤسسه جغرافیایی و کارتوگرافی گیتا شناسی.
- ۲) جهانی، ع. و مسگری، س.، ۱۳۸۰، GIS به زبان ساده، انتشارات سازمان جغرافیایی نیروهای مسلح.
- ۳) حسنی پاک، ع. و شجاعت، ب.، ۱۳۷۹، مدل سازی کانسارهای فلزی- غیر فلزی و کاربرد اکتشافی آن، چاپ اول، انتشارات دانشگاه تهران.
- ۴) حسنی پاک، ع..، ۱۳۷۰، اصول اکتشافات ژئوشیمیایی، انتشارات دانشگاه تهران.
- ۵) قدیرزاده، حیدری، حاج نوروزی و خدابنده، ۱۳۷۹، طرح مطالعات اکتشافی طلای اپی ترمال و مس و مولیبدن پورفیری زون ارسباران (مرحله شناسایی)، سازمان زمین شناسی و اکتشافات معدنی کشور، تهران.
- ۶) قدیم زاده، ح..، زمین شناسی اقتصادی و اکتشاف طلا در محدوده اکتشافی صفائحه خانلو- نقدوز، سازمان زمین شناسی و اکتشافات معدنی کشور، پژوهشکده علوم زمین، تهران.
- ۷) کریمی، م..، ۱۳۸۱، کاربردهای مهندسی ژئوماتیک در اکتشاف معدن، سمینار کارشناسی ارشد، دانشگاه صنعتی خواجه نصیر الدین طوسی، تهران.
- ۸) مومن زاده، م..، ۱۳۶۴، ارزیابی ذخایر معدنی شناخته شده منطقه اهر بر اساس اطلاعات موجود، سازمان زمین شناسی و اکتشافات معدنی کشور، تهران.
- ۹) مهدوی، م.ع. و امینی فضل، ع..، ۱۳۶۷، نقشه زمین شناسی ...٪ اهر، سازمان زمین شناسی و اکتشافات معدنی کشور.

۱۰) مهندسین مشاور پیچاب کاوش، ۱۳۷۹-۸۰، گزارش تهیه نقشه متالوژنی استان آذربایجان شرقی، سازمان صنایع و معادن استان آذربایجان شرقی.

#### (b) منابع لاتین

- [11]. Bernhardsen, T., 1999, Geographic Information Systems An Introduction, 2<sup>nd</sup> Edition, John Wiley & Sons.
- [12]. Bonham-Carter, G.F., 1995, Geological applications of GIS mineral potential mapping, Cooperative Research Centre for Australian Mineral Exploration Technologies (CRCAMET), Department of Exploration Geophysics, Curtin University of Technology, Western Australia.
- [13]. Bonham-Carter, G.F., 1994, Geographic Information Systems for Geoscientists: Modelling with GIS, Pergamon.
- [14]. Carranza, E.J.M., 2002, Geologically – Constrained mineral potential mapping, International Institute for Aerospace Survey and Earth Sciences (ITC), Philippines.
- [15]. Derecole, C., Groves, D.I., and Knox-Robinson, C.M., 2000, Using fuzzy logic in a geographic information system environment to enhance conceptually based prospectivity analysis of Mississippi Valley- type mineralisation, Australian Journal of Earth Sciences, Vol. 47, pp 913-927.
- [16]. Eddy, B.G., Bonham-Carter, G.F., and Jefferson, C.W., 1994, Mineral resource assessment of the Parry Island, High Arctic, Canada: A GIS- based Fuzzy Logic Model, In Bonham-Carter, G. F. (Ed.), Geological applications of GIS mineral potential mapping, (CRCAMET), Department of Exploration Geophysics, Curtin University of Technology, Western Australia, pp 338-346.
- [17]. <http://ntserv.gis.nrcan.gc.ca/sdm/install.htm>, Arc- SDM and Data Xplore User Guide: spatial Data Modeller Extension for Arcview and Spatial Analyst.
- [18]. Mukhopadhyay, B., Hazra, N., Sengupta, S. R. and Das, S. K., 2003, Mineral potential map by a knowledge driven GIS modelling: An example from Singhbhum copper belt, Jharkhand, Geological Survey of India.

[19]. Zehtabian, G.R., Alavipanah, S.K., and Hamedpanah,R., 2001, Determination of an appropriate area for flood water spreading by remote sensed data and GIS in the Tagharood Catchement, International Conference, Korea.

[20]. Zimmerman, H. J., 1991, Fuzzy Set Theory and Its Application, 2<sup>nd</sup> Edition, Kluwer Academic Publisher, Dorderecht.



Shahrood University of Technology  
Faculty of Mining Engineering and Geophysics

**Combination of exploration data obtained from KhanKandi-Incheh area  
of East Azarbaijan Province using geographic information systems (GIS)  
for reconnaissance of mineral deposits in the area**

This thesis submitted in part fulfillment of the degree of  
Master of Engineering in Mining Exploration

**By:**

A. Mesgarivash

**Supervisors:**

Dr. A. Kamkar

**Consultant:**

M. Zarei Nejad